

## **გიორგი ნატროშვილი**

**სასოფლო-სამეურნეო კულტურების რწყვის ოპტიმალური  
რეჟიმის დადგენა რესურსმზოგი ტექნოლოგიებით**

**წარდგენილია დოქტორის აკადემიური ხარისხის  
მოსაპოვებლად**

**საქართველოს ტექნიკური უნივერსიტეტი**

**თბილისი, 0175, საქართველო  
თებერვალი, 2015 წელი**

**საავტორო უფლება © 2015, ნატროშვილი გიორგი**

**საქართველოს ტექნიკური უნივერსიტეტი  
სამშენებლო ფაკულტეტი**

ჩვენ, ქვემოთ ხელისმომწერნი, ვადასტურებთ, რომ გავეცანით გიორგი ნატროშვილის მიერ შესრულებულ სადისერტაციო ნაშრომს სახელწოდებით: „სასოფლო-სამეურნეო პულტურების რწყვის ოპტიმალური რეჟიმის დადგენა რესურსმზოგი ტექნოლოგიებით“ და ვაძლევთ რეკომენდაციას საქართველოს ტექნიკური უნივერსიტეტის სამშენებლო ფაკულტეტის სადისერტაციო საბჭოში დოქტორის აკადემიური ხარისხის მოსაპოვებლად მის განხილვას.

2015 წელი

---

ხელმძღვანელი: პროფესორი ირაკლი ყრუაშვილი

---

თანახელმძღვანელი: პროფესორი ირმა ინაშვილი

---

რეცენზენტი: ასოცირებული პროფესორი გოგა ჩახაია

---

რეცენზენტი: აკადემიური დოქტორი მადონა ლორია

## საქართველოს ტექნიკური უნივერსიტეტი

2015 წელი

**პეტიონი:** გიორგი ნატროშვილი

**დასახელება:** „სასოფლო-სამეურნეო კულტურების რწყვის ოპტიმალური რეჟიმის დადგენა რესურსმზოგი ტექნოლოგიებით“.

**ფარდობი:** სამშენებლო

**სარისხი:** დოქტორი

**სხდომა ჩატარდა:**

ინდივიდუალურ პირთა ან ინსტიტუტების მიერ ზემომოყვანილი დასახელების დისერტაციის გაცნობის მიზნით მოთხოვნის შემთხვევაში მისი არაკომერციული მიზნით კოპირებისა და გავრცელების უფლება მინიჭებული აქვს საქართველოს ტექნიკურ უნივერსიტეტს.

---

### ავტორის ხელმოწერა

ავტორი ინარჩუნებს დანარჩენ საგამომცემლო უფლებებს და როგორც მთლიანი ნაშრომის, ისევე მისი ცალკეული კომპონენტების გადაბეჭდვა ან სხვა რაიმე მეთოდით რეპროდუქცია დაუშვებელია ავტორის წერილობითი ნებართვის გარეშე.

ავტორი ირწმუნება, რომ ნაშრომში გამოყენებული საავტორო უფლებებით დაცული მასალებზე მიღებულია შესაბამისი ნებართვა (გარდა იმ მცირე ზომის ციტატებისა, რომლებიც საჭიროებენ მხოლოდ სპეციფიკურ მიმართებას ლიტერატურის ციტირებაში, როგორც ეს მიღებულია სამეცნიერო ნაშრომების შესრულებისას) და ყველა მათგანზე იღებს პასუხისმგებლობას.

## რეზიუმე

ნაშრომში წარმოდგენილი თეორიული და ექსპრიმენტული კვლევების შედეგების კრიტიკული ანალიზის საფუძველზე გამოტანილია დასკვნები:

- ნიადაგში ტენის მოძრაობის საანგარიშო სქემისა და თეორიული კვლევების საფუძველზე მიღებულია ნიადაგის აქტიური ფორიანობის ოპტიმალური მნიშვნელობების საანგარიშო დამოკიდებულება;
- განსაზღვრულია ნიადაგ-გრუნტებში ტენის გადაადგილების სიჩქარე მულტირებისა და ღია გრუნტის პირობებში;
- მიღებულია ფილტრაციის სიჩქარის წინააღმდეგობის კოეფიციენტის საანგარიშო დამოკიდებულება ფორიანობის გათვალისწინებით;
- განსაზღვრულია ფილტრაციის სხქარის საწყისი გრადიენტისა და სრული გრადიენტის ფორიანობასთან ფუნქციონალური კავშირი, რის საფუძველზეც შესაძლებელია ნიადაგის ტენიანობის რეგულირება სარწყავ მიწათმოქმედებაში და რწყვის ოპტიმალური რეჟიმების დაღენა;
- მიღებულია მორწყვის ნორმის საანგარიშო დამოკიდებულება ნიადაგ-გრუნტების ფიზიკო-მექანიკური მახასიათებლების გათვალისწინებით;
- წვეთური მორწყვის შემთხვევაში შედარებულია მულტირებული და არამულჩირებული ნიადაგებისთვის მიღებული რწყვის ნორმები;
- მიღებული კლიმატური და ნიადაგური მონაცმეთა ანალიზის საფუძველზე შემუშავებლია სასოფლო-სამეურნეო კულტურების რწყვის ოპტიმალური რეჟიმები ნიადაგ-გრუნტების ფილტრაციისა და ევაპოტორანსფირაციის გათვალისწინებით.

## **Abstract**

On the base of critical analysis of theoretical and experimental investigations presented in the work it's possible to draw the following conclusions:

- On the base of alarm scheme of moister movement in the soil and theoretical investigations it's received the reporting attitude of active porosity optimal value;
- The moister movement speed in mulch and open ground condition is determined;
- It's received the reporting attitude of filtration speed resistance coefficient on dependent porosity;
- Filtration speed start is determined to gradient and full gradient functional connections and on its base is possible to regulate the soil moisture in watering agriculture and resolve the optimal regimes of watering;
- It's received the reporting attitude of watering norm by foresee of physic-mechanic characters of soil;
- In case irrigation it's compared the watering norms for mulch and non mulch soils;
- On the base of climate and soil data is worked out the optimal regimes of agricultural crops watering on dependent the soil filtration and evapotranspiration.

## შინაარსი

	<b>შესავალი</b>	10
<b>თავი I.</b>	<b>რესურსდამზობი ტექნოლოგიების შესწავლის თანამედროვე მდგრადირება</b>	15
1.1.	მულტირების არსებული ტექნოლოგიების ანალიზი	15
1.2.	მულტირების დროს სასოფლო-სამეურნეო კულტურათა ზრდა-განვითარებაზე მოქმედ ფაქტორთა შეფასება	24
1.3.	მულტირების გავლენა ევაპოტრანსპირაციაზე და ნიადაგის წყლოვან თვისებებზე (ფილტრაციაზე)	32
<b>თავი II.</b>	<b>რესურსდამზობი ტექნოლოგიების გამოყენების დროს რაზების ოპტიმალური რეზიმის დაღმინის თეორიული ასპექტები</b>	41
2.1.	ნიადაგის წყალგამტარობისა და ფილტრაციის თავისებურებანი ნიადაგ-გრუნტებში	41
2.2.	მიღსადენთა სისტემებში წყლის მოძრაობის საკითხების თეორიული შესწავლა და მორწყვის ნორმის დადგენა	47
2.3.	ნიადაგ-გრუნტის ფოროვან სისიტემაში წყლის მოძრაობის სიჩქარის განსაზღვრა	55
2.4.	ნიადაგის ტენის რეგულირება სარწყავ მიწათმოქმედებაში	59
<b>თავი III</b>	<b>რესურსადამზობი ტექნოლოგიების რაზების რეზიმზე გაგლობის საგელე-ექსამინტული პლატა</b>	64
3.1.	საველე კვლევების ჩატარების მეთოდიკა	64
3.2.	საცდელი პოლიგონის ნიადაგების აგროქიმიური დახასიათება და სასოფლო-სამეურნეო კულტურების განოყიერების სისტემა წვეთური მორწყვის დროს	75
3.3.	საველე კვლევების შედეგები და ანალიზი  ზოგადი დასკვნები	84 94
	გამოყენებული ლიტერატურა	95

## ცხრილების ნუსხა

1. დიღმის საცდელი პოლიგონის მდელოს ყავისფერი  
ნიადაგის აგროქიმიური დახასიათება 75
2. საკვები ელემენტების შესათვისებელი ფორმების მარაგი  
დიღმის საცდელი პოლიგონის მდელოს ყავისფერ  
ნიადაგში 77
3. წვეთური კვების დროს საჭირო საკვები ელემენტების  
ნორმები და სასუქების ფიზიკური წონები მდელოს  
ყავისფერ ნიადაგზე პომიდორის – 80გ მოსავლის  
დაგეგმისას დიამოფოსკას შეტანისას 79
4. წვეთური კვების დროს საჭირო საკვები ელემენტების  
ნორმები და სასუქების ფიზიკური წონები მდელოს  
ყავისფერ ნიადაგზე პომიდორის – 80გ მოსავლის  
დაგეგმისას დიამოფოსკას შეტანისას 80
5. წვეთური კვების დროს საჭირო საკვები ელემენტების  
ნორმები და სასუქების ფიზიკური წონები მდელოს  
ყავისფერ ნიადაგზე პამიდორის – 80გ მოსავლის  
დაგეგმისას (მარტივ სასუქებზე გადაანგარიშებით) 81
6. წვეთური კვების დროს საჭირო საკვები ელემენტების  
ნორმები და სასუქების ფიზიკური წონები მდელოს  
ყავისფერ ნიადაგზე პომიდორის – 80გ მოსავლის  
დაგეგმისას ამფოსის შეტანისას 82
7. წვეთური კვების დროს საჭირო საკვები ელემენტების  
ნორმები და სასუქების ფიზიკური წონები მდელოს  
ყავისფერ ნიადაგზე პომიდორის – 80გ მოსავლის  
დაგეგმისას დიამოფოსის შეტანისას 83
8. ნაკელის და ძირითადი საკვები ელემენტების ნორმები  
პომიდორის კულტურისათვის დიღმის საცდელი  
პოლიგონის მდელოს ყავისფერი ნიადაგზე 80 გ პამიდორის  
მოსავლის დაგეგმისას 84
9. ევაპოტორანსპირაციის ცხრილი საგეგეტაციო პერიოდისთვის  
(პომიდორი) 88
10. ევაპოტორანსპირაციის ცხრილი საგეგეტაციო პერიოდისთვის  
(ნესვი) 89

## ნახაზების ნუსხა

- |     |  |    |
|-----|--|----|
| 1.  | ნახ. № 2.1.1. $m = n = f\left(\frac{r_0}{R}\right)$ დამოკიდებულების გრაფიკი  | 42 |
| 2.  | ნახ. № 2.2.1. მიღწევის შემთხვევის მოძრაობის საანგარიშო სქემა.  | 48 |
| 3.  | ნახ. № 2.2.2. $\frac{r_0}{R} = f(n_{\text{აქტ}})$ და $\frac{r_{\text{გ}}}{R} = f(n_{\text{აქტ}})$ დამოკიდებულების გრაფიკი. | 50 |
| 4.  | ნახ. № 2.2.3. $m = f\left(\frac{r_0}{R}\right)$ გრაფიკული დამოკიდებულება.  | 52 |
| 5.  | ნახ. 3.1.1. წვერი მორწყვის სისტემის სქემა.   | 66 |
| 6.  | ნახ. 3.1.2. წვერი მორწყვის სისტემის სქემა.   | 67 |
| 7.  | ნახ. 3.1.3. ექსპრიმენტული პოლიგონის ადგილმდებარეობის სქემა.  | 70 |
| 8.  | ნახ. 3.1.4. წვერი მორწყვის სისტემის განლაგება ექსპრიმენტულ პოლიგონზე   | 71 |
| 9.  | ნახ. № 3.3.1. $ETc = f(t)$ დამოკიდებულების გრაფიკები (პომიდორი).   | 88 |
| 10. | ნახ. № 3.3.2. $Kc = f(t)$ დამოკიდებულების გრაფიკები (პომიდორი).  | 89 |
| 11. | ნახ. № 3.3.3. $ETc = f(t)$ დამოკიდებულების გრაფიკები (ნებვი).  | 90 |
| 12. | ნახ. № 3.3.4. $Kc = f(t)$ დამოკიდებულების გრაფიკები (ნებვი).   | 90 |
| 13. | ნახ. № 3.3.5. $Kcb = f(t)$ დამოკიდებულების გრაფიკები (დიან ნიადაგისთვის, პომიდორი)   | 91 |

14. ნახ. № 3.3.6.  $Kcb = f(t)$  დამოკიდებულების გრაფიკები 91  
(ზულჩირებული ნიადაგისთვის, პომიდორი)
15. ნახ. № 3.3.7.  $Kcb = f(t)$  დამოკიდებულების გრაფიკები (დია 92  
ნიადაგისთვის, ნებვი)

## შესაბალი

**თემის აქტუალურობა.** უკანასკნელ წლებში მსოფლიოს წინაშე მკვეთრად ისახება წყლის დეფიციტის პრობლემა. დადგენილია, რომ დღეისათვის, წყლის უკმარისობას განიცდის დედამიწის მოსახლეობის დაახლოებით 1.5 მილიარდი, ხოლო 2050 წლისთვის მათი რაოდენობა სავარაუდოდ შეიძლება 3.5 მილიარდს მიაღწიოს.

დღეისათვის, მიუხედავად იმისა, რომ შეიძლება მთლიანად ქვეყანაში წყლის რესურსები საკმარისი იყოს, მსოფლიოში ამჟამად მაინც არ არსებობს სოფლის მეურნეობის პროდუქციის მწარმოებელი სახელმწიფო, რომელიც არ განიცდიდეს სიძნელეებს გარკვეული ტერიტორიების გაწყლოვანებაში. ისევე, როგორც მსოფლის მრავალ ქვეყანაში, საქათველოშიც განსაკუთრებით რთულია იმ რეგიონების წყალუზრუნველყოფა, რომლებიც ქვეყნის ნახევრად არიდულ ზონაშია განლაგებული, ვინაიდან აქ წყალმოთხოვნილება საკმაოდ დიდია, ხოლო მისი ხელმისაწვდომობა დაბალი.

წყალმოთხოვნილების მოცულობის მიხედვით, წყალთა მეურნეობის დარგებს შორის, სოფლის მეურნეობა ერთ-ერთი მსხვილი წყალმომხმარებელია, ვინაიდან არსებული წყლის რესურსების დაახლოებით 70% სარწყავ წყალზე მოდის. ექსპერტების მიერ დადგენილია, რომ სარწყავი წყლის სარჯის 10%-ით შემცირების შედეგად გაწეული ეკონომია დაზოგავს მეტ წყალს ვიდრე მოიხმარენ ყველა სხვა წყალმოხმარებლები ერთად.

როგორც მრავალი მეცნიერის კვლევა ადასტურებს, რწყვის ტექნოლოგიებს შორის, წყლის ეკონომიის თვალსაზრისით, ყველაზე უფრო საიმედოა წვეთური მორწყვა, ხოლო მასთან ერთად პოლიმერული მასალებით მულჩირების ტექნოლოგიის გამოყენება კიდევ უფრო ამაღლებს ეფექტურობას. აღნიშნული მეთოდების ერთობლივი გამოყენების შემთხვევაშიც კი, რწყვის რეჟიმის არასწორი შერჩევის დროს სარწყავი წყლის დანაკარგი დაახლოვებით 30%-ს შეადგენს.

რწყვის რეჟიმის პარამეტრების შერჩევის დროს დაშვებული ცდომილებები ძირითადად განპირობებულია ნიადაგის ტენის დინამიკის ამსახველ მოდელებში ნიადაგის ამა თუ იმ ფიზიკური ან მექანიკური

თვისებების, წყალ-ჰაეროვანი რეჟიმების მონაცემების, ევაპოტორანსპირაციის, აგროკლიმატური მონაცემების და სხვა ფაქტორების არაზუსტი მონაცემების გათვალისწინების ან/და ზოგიერთის სრლად უგულვებელყოფის გამო.

გამომდინარე აქედან, წყლის რესურსების ოპტიმალური მართვა სოფლის მეურნეობაში, რაც ძირითადად გულისხმობს რწყვის რეჟიმის ოპტიმალური პარამეტრების შერჩევას გეგმიური და სტაბილური მოსავლის მისაღებად გარემოს ეკოლოგიური წონასწორობის მაქსიმალური შენარჩუნებით, ისეთი რესურსდამზოგი და ეკოლოგიური თვალსაზრისით გამართლებული ტექნოლოგიების გამოყენებით, როგორებიცაა მულტირება პოლიეთილენის აფსკით და წვეთური მორწყვა, დღეისათვის ერთ-ერთ აქტუალურ პრობლემად რჩება.

**სამუშაოს მიზანი.** სადისერტაციო ნაშრომის მიზანია - პროგრამული მოსავლის მიღების მაქსიმალური საიმედოობის და ეკოლოგიური წონასწორობის მაქსიმალური შენარჩუნების გათვალისწინებით, რესურსდამზოგი ტექნოლოგიების გამოყენების პირობებში (მულტირება პოლიეთილენის აფსკით და წვეთური მორწყვა), შექმნილ იქნას რწყვის რეჟიმის ოპტიმალური მართვის ინტეგრირებული მოდელი, რომელიც ასახავს მელიორირებადი მიწების სრული გაჯერებისა და აერაციის ზონაში მიმდინარე ფიზიკურ, ბიოლოგიურ და მექანიკურ პროცესს. მიღებულ რეკომენდაციებზე დაყრდნობით შემუშავდეს ოპტიმალური რწყვის რეჟიმი ბუნებრივ-კლიმატური პირობების, ნიადაგის თვისებების და სასოფლო სამეურნეო კულტურების (პომიდორი და ნესვი) წყალმოთხოვნილების გათვალისწინებით.

**კვლევის ობიექტი და მეთოდები.** კვლევის ობიექტს წარმოადგენდა საქართველოს ნახვრად არიდულ რეგიონში განლაგებული სასოფლო-სამეურნეო სავარგულები. ექსპერიმენტული კვლევები ჩატარებულ იქნა დიღმის საცდელი პოლიგონის 0,06 ჰა ფართობზე.

დასახული მიზნის მისაღწევად გამოყენებულ იქნა პიდრავლიკაში, პოდროტექნიკურ მელიორაციაში, ნიადაგმცოდნეობაში და აგრონომიაში საყოველთაოდ აღიარებული სამეცნიერო-ტექნიკური მიღები და მეთოდები.

კერძოდ, როგორც რესურსდამზოგი ტექნოლოგია, გამოყენებულ იქნა შავი პოლიეთილენის აფსკით მულტირების მეთოდი წვეთურ მორწყვასთან ერთად რომელთა კომპლექსურად მოქმედების შემთხვევაში შესაძლებელია ნიადაგის ტენისა და ტემპერატურის რეჟიმების რეგულირება.

ნიადაგის ფიზიკური, მექანიკური, ქიმიური და წყლოვანი თვისებების განსაზღვრა განხორციელდა ნიმუშების აღებით, ექსპერიმენტების საფუძველზე, ნიადაგმცოდნეობაში აღიარებული მეთოდების გამოყენებით. კერძოდ, გამოყენებულ იქნა ისეთი ცნობილი მეთოდები, როგორიცაა: ნ. ა. კაჩინსკის, ი.ვ. ტიურინის, კაპენ-გილკოვიცის, ა. ვ. სოკოლოვის, კაპენის, კირსანოვის და სხვა.

ნიადაგის ტენიანობის გაზომვა ხორციელდებოდა სპეცილური სენსორებით, რომლებიც მუშაობს ელექტროგამტარობის გაზომვის პრინციპით და საშუალებას იძლევა აღნიშნული მახასიათებლების სიდიდეები გაზომილ იქნას ნიადაგის 1 მ-მდე სიღრმეში წინასწარ დადგენილი და ექსპერიმენტისთვის შერჩეული ოპტიმალური ბიჯით.

კლიმატური პირობების, კერძოდ ჰაერის ტემპერატურის და ტენიანობის, ქარის სიჩქარის და მიმართულების, ატმოსფერული წნევისა და ნალექების კონტროლი ხორციელდებოდა აგრარულ უნივერსიტეტში არსებული სტაციონალური მეტეოროლოგიური სადგურის მეშვეობით, რომელიც მზის ენერგიით იკვებება და აღნიშნული მონაცემების ცვალებადობის უწყვეტი ინფორმაციის მიღების საშუალებას იძლევა.

**ნაშრომის ძირითადი შედეგები და მეცნიერული სიახლე:**

- ნიადაგში ტენის მოძრაობის საანგარიშო სქემისა და თეორიული კვლევების საფუძველზე მიღებულია ნიადაგის აქტიური

ფორიანობის ოპტიმალური მნიშვნელობების საანგარიშო  
დამოკიდებულება;

- განსაზღვრულია ნიადაგ-გრუნტებში ტენის გადაადგილების სიჩქარე მულჩირებისა და ლია გრუნტის პირობებში;
- მიღებულია ფილტრაციის სიჩქარის წინააღმდეგობის კოეფიციენტის საანგარიშო დამოკიდებულება ფორიანობის გათვალისწინებით;
- განსაზღვრულია ფილტრაციის სიჩქარის საწყისი გრადიენტისა და სრული გრადიენტის ფორიანობასთან ფუნქციონალური კაგშირი, რის საფუძველზეც შესაძლებელია ნიადაგის ტენიანობის რეგულირება სარწყავ მიწათმოქმედებაში და რწყვის ოპტიმალური რეჟიმების დადგენა;
- მიღებულია მორწყვის ნორმის საანგარიშო დამოკიდებულება ნიადაგ-გრუნტების ფიზიკურ-მექანიკური მახასიათებლების გათვალისწინებით;
- წვეთური მორწყვის შემთხვევაში შედარებულია მულჩირებული და არამულჩირებული ნიადაგებისთვის მიღებული რწყვის ნორმები;
- მიღებული კლიმატურ და ნიადაგურ მონაცმეთა ანალიზის საფუძველზე შემუშავებლია სასოფლო-სამეურნეო კულტურების რწყვის ოპტიმალური რეჟიმები ნიადაგ-გრუნტების ფილტრაციისა და ევაპოტრანსფირაციის გათვალისწინებით.

**შედეგების გამოყენების სფერო.** შემუშავებული ოპტიმალური რწყვის რეჟიმის რეკომენდაციები ბუნებრივ-კლიმატური პირობების, ნიადაგის თვისებების და სხვადასხვა სასოფლო სამეურნეო კულტურების წყალმოთხოვნილების გათვალისწინებით მნიშვნელოვნად შეუწყობს ხელს საქართველოს აგროსექტორის განვითარებას და კერძოდ, სარწყავი მიწათმოქმედების გაუმჯობესებას.

ცალკეული კონკრეტული ამოცანების შედეგები დიდ დახმარებას გაუწევს პიდროტექნიკურ მელიორაციაში, პიდრაგლიკაში,

ნიადაგმცოდნეობაში, აგრონომიაში და სხვა მომიჯნავე დარგში მოღვაწე მუცნიერებს სამომავლო კვლევების განხორციელებაში.

**დისერტაციის მოცულობა და სტრუქტურა.**

სადისერტაციო ნაშრომი შედგება შესავლის, 3 თავისა და ძირითადი დასკვნებისაგან. იგი მოიცავს 100 ნაბეჭდ გვერდს, მათ შორის 15 ნახაზსს და 10 ცხრილს; გამოყენებულია 80 დასახელების ლიტერატურა.

## თავი I

### რესურსდამზობი ტექნოლოგიების შესაგლის თანამედროვე მდგრმარეობა

#### 1.1. მულტირების არსებული ტექნოლოგიების ანალიზი

საადრეო და უხვი მოსავლის მიღების მიზნით მულტი დაფარული სასოფლო-სამეურნეო საგარეულების ფართობი ყოველწელიურად იზრდება. მულტირება განსაკუთრებით მნიშვნელოვანია ისეთი სითბოს მოყვარული მცენარეთათვის, როგორებიცაა პომიდორი, წიწაკა, ბადრიჯანი, სიმინდი, ყურძენი, ბალჩეული კულტურები და სხვა.

მულტი შეიძლება გამოყენებულ იყოს ნებისმიერი მასალა – მოთიბული ბალახი, ქალალდი, კარტონი, თივა, ბზე, ტორფი, ნახერხი, ნაფოტები, კერამზიტი, პოლიეთილენის აფსკი, ტოლი, რუბეროიდი, შავი სარაი აგრილის ან ლუტრასილის ტიპის და ა.შ.

მოთიბული ბალახი – მულტის ერთაერთი საუკეთესო და ყველაზე ხშირად გამოყენებადი სახეა. მისი გამოყენების შედეგად ნიადაგში მატულობს აზოტის შემცველობა. მოთიბული ბალახი უნდა გაშრეს მზეზე ერთი ან ორი დღის განმავლობაში მისი მულტი გამოყენებამდე. თუ გამოყენებული იქნება ახლად მოთიბული ან ნედლი ბალახი, ის მალე დალპება და გახდება ლორწოვანი და სპეციალური სუნის მქონე.

სიდერატები – სასუქად მოყვენილი მცენარეების მწვანე მასა იშლება ნიადაგის ზედაპირზე. გამოიყენება სამყურა, მწვანე უყვავილო სარეველები, აგრეთვე ძალიან კარგ შედეგს იძლევა ჭინჭრის გამოყენებაც. სიდერატების გამოყენება შესაძლებელია ისევე, როგორც მოთიბული ბალახი. ნიადაგთან სწრაფად ინტეგრაციისთვის მისი გამოყენება ხდება ნედლ მდგომარეობაში, ოდნავ მიწაში ჩახვნით.

თივა – კარგი მულტია, მაგრამ იგი შეიძლება შეიცავდეს სარეველების თესლს. ამიტომ კარგია მის ქვეშ ქადალდის მულტის გაფენა, რადგან ის ხელს უშლის სარეველების აღმოცენებას და ზრდა-განვითარებას.

*ჩალა* – მისი გამოყენება კარგია ბადის მარტყვის მოყვანის შემთხვევაში.

*ნაძვის* და *ფიჭვის* წიწვები – აგრეთვე კარგი მულჩაა ბადის მარტყვისა და სხვა ბოსტნეულთათვის, მაგრამ სასურველია დამატებით შეტანილ იქნას კირი ან ნაცარი.

*ტორფი* – ბრტყინვალე მულჩაა, კარგად იცავს ნიადაგს მზის სხივებისაგან, ხელს უწყობს ტენიანობის შენარჩუნებას. მსუბუქი მექანიკური შედგენილობის ნიადაგებზეც კი, ხელს უწყობს მის დასტრუქტურებას და პუმუსის შენარჩუნებას. ტორფს იყენებენ გამაფხვიერებლად: მძიმე მექანიკური შედგენილობის ნიადაგების ათვისების დროს იგი აუმჯობესებს მის სტრუქტურას. მაგრამ თვითონ ტორფი არ არის სასუქი და მისი გამოყენება სასუქების ნაცვლად არ შეიძლება, ვინაიდან იგი ძალიან ნელა იხსნება და მისი ნიადაგთან ინტეგრება შესაბამისად ნელა მიმდინარეობს, ამასთან იგი მჟავეა.

*ნახერხი* – შესანიშნავი მულჩაა, მაგრამ გამოყენების წინ იგი უნდა დაკომპონეტირდეს, წინააღმდეგ შემთხვევაში იგი გამოფიტავს ნიადაგის საკვებ ნიათიერებებს და აუცილებელი გახდება აზოტოვანი სასუქებისა და კირის დამატებითი დოზის შეტანა. ამიტომ, ნახერხს წინასწარ აკომპონეტირებენ.

*ნაფოტი, ან ქერქი* და *ა.შ.* – ხშირად გამოიყენება როგორც დეკორატიული საფარი. ასეთი მულჩა კრგია მჟავე ნიადაგების მოყვარულ მცენარეთათვის. სხვა მცენარეთათვის სასურველია დამატებით შეტანილ იქნას კირი ან ნაცარი.

*შავი პოლიეთილენის* აფსკი, *რუბეროიდი*, *ტოლი* და *ა.შ.* – არ აუმჯობესებებნ ნიადაგს და არ შეაქვთ საკვები ნივთიერებები, სამაგიეროდ ისინი ხელს უშლიან სარეველების ზრდა-განვითარებას და ინარჩუნებენ ნიადაგის ტენიანობას. წვიმა ამ მასალაში ვერ აღწევს, ამიტომ გათვალისწინებული უნდა იქნას თუ როგორ მომარაგდება მცენარე საჭირო წყლით ან აუცილებელი წვეთური მორტყვის გათვალისწინება, რომელიც აფსკის ქვეშ უნდა იქნას განლაგებული. გაზაფხულზე შავი აფსკი თბება და ათბობს ნიადაგს. შავი აფსკი შესაძლებელია ძალიან გაცხელდეს მზის ზეგავლენის შედეგად და ნიადაგაში ტემპერატურა ძალიან აამაღლოს. ამიტომ თივის ან

მოთიბული ბალახის ფენის გაფენა აფსკის ზედაპირზე ხელს უშლის შავი აფსკის გადახურებას. არ შეიძლება გამჭვირვალე აფსკების გამოყენება, რაგდგან მათ ქვეშ ნიადაგი ძალიან ჩქარა ხურდება.

გრილის ან ლუმინისტიკის ტიპის შავი საფარი მასალა – აგრეთვე არ აუმჯობესებს ნიადაგს და არ შეაქვს საკვები ნივთიერებები, მაგრამ ის ძალიან კარგად გამოიყენება მულტირების დროს. ეს მასალა ატარებს წვიმას, მაგრამ იგი ჩრდილავს ნიადაგს და ინარჩუნებს მის ტენიანობას. ნიადაგია მის ქვეშ «სუნთქავს». მასალა მზით არ თბება ძლიერ და არ ახურებს ნიადაგს. მის ქვეშ არ იზრდებიან სარეველები. ასეთი მასალა შესაძლებელია დარჩეს მცენარეების ქვეშ (კენკროვანების და კურკოვანების ჩათვლით) მთელი სავაგეტაციო პერიოდის განმავლობაში.

კერამზიტი ან აქაფებული თიხა – ბრწყინვალე ნეიტრალური მასალაა, რომლის გამოყენებაც შესაძლებელია არა მხოლოდ ნიადაგის ზედაპირზე, არამედ შესაძლებელია მისი ჩაბარვა მძიმე მექანიკური შედგენილობის ნიადაგში მის შესამსუბუქებლად და წყალურნვადობის გაზრდისთვის. ხშირად გამოიყენება დეკორატიული დანიშნულებით, მაგრამ კარგად იცავს ნიადაგს გადახურებისაგან და ინახავს ნიადაგის ტენიანობას.

ზემოთ ჩამოთვლილი ორგანული მულტიდან ყველაზე გავრცელებულია მცენარეული ნარჩენები. ხოლო, ყველაზე საუკეთესო ორგანულ მულტიად უნდა კომპოსტი ჩაითვალოს, მაგრამ მისი გამოყენება არ შეიძლება ყველა კულტურისთვის [1, 2, 3, 4, 5].

მულტირების დროს ხდება ორგანული ნარჩენების დაშლა ნიადაგის ზედაპირზე და მისი მოქმედება შეიძლება შევადაროთ ნიადაგის ზედაპირზე კომპოსტის შეტანას. აქედან გამომდინარე, მულტის შეტანა უნდა ხდებოდეს ხშირად და თხელ ფენად, ხოლო განახლება კი რეგულარულადაა საჭირო, ვინაიდან სქელი ფენის ქვეშ შეიძლება წარმოიშვას ანაერობული პირობები, რაც თავის მხრივ ლპობის პროცესის განვითარების საწინდარია. ლპობის პროდუქტები უარყოფითად მოქმედებს მცენარეთა ფესვთა სისტემაზე და ნიადაგის მრავალ მიკროორგანიზმზე. ამიტომ, მულტის შრეს არ უნდა ჰქონდეს მპალის სუნი.

პოვარდის მიხედვით, ორგანული მულტიტ ნიადაგის მულტირების დროს გათვალისწინებული უნდა იქნას 6 ძირითადი კანონი:

1. მულტის შეტანის წინ აუცილებელია ნიადაგის აოშვა;
2. მულტი შეტანის წინ უნდა დაქუცმაცდეს;
3. მწვანე მაღალტენიანი მასალის შეტანა შესაძლებელია მხოლოდ თხელი ფენის სახით, ამიტომ მას ხშირი განახლება ესაჭიროება;
4. მშრალი მულტი, მაგალითად თივა, შეიძლება უფრო სქელი ფენით იქნას შეტანილი (2-10 სმ), მაგრამ შეტანისთანავე უნდა დაინამოს;
5. მულტირების დროს ყურადღება უნდა მიექცეს იმ გარემოებას, რომ აღმონაცენი ან ჩითილები არ იყოს დაფარული მულტით;
6. მულტი არ უნდა შეიცავდეს სარეველების თესლს და განსაკუთრებით მწერებს ან მათ ჰუპრს.

როგორც მრავალმა კვლევამ დაადასტურა ამ თვალსაზრისით ყველაზე უსაფრთხოს პოლიეთილენის აფსკით მულტირება წარმოადგენს, რომელმაც პრაქტიკაში ყველაზე ფართო გამოყენება ჰპოვა [6, 7, 8, 9, 10].

პოლიეთილენის აფსკი იმ პოლიმერულ მასალებს მიეკუთვნება, რომელიც მაღალმოლეგულური ნაერთებისაგან შედგება.

მულტირების აფსკის დასამზადებლად ფართოდ გამოიყენება პოლიეთილენი ვ.დ. აფსკს ღებულობენ დაპრესის და ექსტრუზიის შედეგად. მიღებული პოლიეთილენი ფართოდ გამოიყენება სოფლის მეურნეობაში.

აფსკური ვინიპლასტი მიიღება სუსპენზიური და ემულსიური პოლივინიქლორიდისგან. ვალცირების შედეგად წარმოიქმნება 0,5-1,0 მმ სისქის და 600-800 მ სიგანის მქონე ვინიპლასტის აფსკები.

აფსკური პლასტიკატი მიიღება პლასტიფიცირებული პოლივინიქლორიდის ვალცირების და ექსტრუზიის შედეგად. გამჭვირვალე პლასტიკის მისაღებად ერთმანეთში ურევენ პოლივინიქლორიდის 100, დიოკტილფტალატის 24, დიბუტილფტალატის 24 და 2 ნაწილს კალციუმის სტეარატს.

პოლივინილფტორიდული აფსკი გამჭვირვალეა ულტრაიისფერი გამოსხივებისთვის და ხასიათდება სხივის გარდატების მაღალი კოეფიციენტით (1,45). ასეთი აფსკები ინარჩუნებენ მდგრადობას რამდენიმე წლის მანძილზე, ამასთან ახასიათებთ მედეგობა სხვადასხვა ქიმიური პრეპარატების მიმართ (მჟავები, ტუტები და ა.შ).

პოლივინილიდენფტორიდის აფსკები  $150^{\circ}\text{C}$ -მდეა თერმომედეგი და სოფლის მეურნეობის გარდა ფართოდ გამოიყენება ქიმიურ, საკეტ, ელექტრო წარმოებაში, მედიცინასა და ა.შ.

აფსკურ საფარებად, აგრეთვე ფართოდ გამოიყენება ეთილენიდან მიღებული მასალები, მაგალითად პოლივინილკარბოზოლი. იგი გამოირჩევა მაღალი ქიმიური მედეგობით და კარგი დიელექტრო თვისებებით. მისი სიმკვრივე  $1200 \text{ კგ/მ}^3$ -ია, თერმომედეგობა –  $150^{\circ}\text{C}$ -მდეა, ხოლო დაშლის ტემპერატურა  $300^{\circ}\text{C}$ -ს აღემატება. მაღალი ტემპერატურის მიმართ მედეგობით და ელექტროიზოლაციური თვისებებით იგი პოლისტიროლსაც კი სჯობნის.

ორატომიანი ფენოლების პოლიეთერების და დიკარბონატული მჟავების გამოყენების დროს მიიღება პოლიარილატური აფსკები კიდევ უფრო მაღალი თბომედეგობით ( $200^{\circ}\text{C}$ -ზევით). ისინი ინარჩუნებენ თავის მექანიკურ თვისებებს დიდი ხნით გახურების შემდეგაც ( $600-1000$  სთ  $150-1000^{\circ}\text{C}$ -ის დროს).

პოლიარილატების დიელექტრული თვისებები არ იცვლება ტემპერატურის დიდ ინტერვალში. ამის გარდა ისინი დიდი ხნის მანძილზე მედეგნი არიან მინერალური და ორგანული მჟავების (გოგირდმჟავას გარდა), ტუტების გამხსნელების მიმართ. ისინი აგრეთვე გამოირჩევიან მაღალი ცეცხლმედეგობით.

უკანასკნელ პერიოდში წარმოებაში დიდი გავრცელება პპოვა პოლიმიდურ პოლიეთილენის აფსკებმა, რომლებიც ინარჩუნებენ თავის ფიზიკო-ქიმიურ თვისებებს ტემპერატურის დიდ ინტერვალში. მათი ზოგიერთი სახეობა  $500^{\circ}\text{C}$ -მდეა მედეგი.

დღეისთვის ევროპაში ფართო გავრცელება პპოვა ПМ მარკის აფსკებმა, ხოლო აშშ-ში გავრცელებულია კაპიტონ- H მარკის აფსკები. აღნიშნული აფსკები თითქმის არ იცვლიან თავის თვისებებს 10 წლის

მანძილზე. იგი არ იწვება, აქვს კარგი დიელექტრული თვისებები, ინარჩუნებს პლასტიკურობას.

პოლიმერული აფსკების უმთავრეს თვისებას წარმოადგენს მისი სპექტრული გამჭვირვალება, რომელზეც დამოკიდებულია ნიადაგზედა ჰაერის მიკროკლიმატი და ნიადაგის თბური რეჟიმი. სპექტრული გამჭვირვალების მიხედვით განასხვავებენ აფსკის შემდეგ ტიპებს: გამჭვირვალე, ნახევრად გამჭვირვალე (დაბურული), გაუმჭვირვალე (შავი) და შუქის და სითბოს ამრეკლი.

გამჭვირვალე აფსკი ხასიათდება მზის ენერგიის სხივური სპექტრის დიდი გამტარობით, რაც მის უმთავრეს თვისებას წარმოადგენს. ექსპლოატაციის პროცესში მისი გამჭვირვალობა თანდათან კლებულობს. ასეთი აფსკის მულჩად გამოყენების ვადა მხოლოდ ერთი წელია. გამჭვირვალე აფსკს იყენებენ მულჩად იმ შემთხვევაში, როდესაც საჭიროა გაზაფხულის პერიოდში ნიადაგის ტემპერატურის გაზრდა საადრეო სასოფლო-სამეურნეო კულტურების მისაღებად.

გამჭვირვალე პოლიეთილენის აფსკი, მისი გამოყენების პირობების და ხერხების მიხედვით არეგულირებს ნიადაგის თბურ რეჟიმს სითბოს აკუმულაციის ხარჯზე დღის პერიოდში. ტენის წვეთების კონდენსატი, რომელიც აფსკის ზედაპირზე წარმოიქმნება, ნიადაგის და ჰაერის ტემპარატურას შორის სხვაობის გამო, ხელს უწყობს დღის პერიოდში აკუმულირებული ტემპერატურის შენარჩუნებას ნიადაგში.

კვლევებმა გამჭვირვალე და შავ პოლიეთილენის აფსკებზე (სიგანე 1,2–1,4 მ და სისქე 0,06–0,08 მმ) უჩვენა, რომ გამჭვირვალე პოლიეთილენის აფსკი მოსავლიანობის ხარისხის და რაოდენობის ასამაღლებლად უფრო ეფექტურია იმ შემთხვევაში, თუ გადაჭრილი იქნება სარეველებთან ბრძოლის პროცესში.

ჩატარებული ექსპერიმენტების შედეგად მიღებულია, რომ 120-150 სმ სიგანის და 0,05-0,1 მმ სისქის გამჭვირვალე პოლიეთილენის აფსკი ქმნის ხელსაყრელ პირობებს მცენარეთა ზრდა-განვითარებისათვის: ზრდის ნიადაგის ტემპერატურას 10 სმ სიღრმეზე 3,2 გრადუსით, და ნიადაგისპირა ჰაერის – 3,7 გრადუსით, აუმჯობესებს ნიადაგის ტენიანობის რეჟიმს და აფერხებს ნიადაგის ქერქის წარმოქმნას.

ნიადაგის ზედაპირიდან აფსკი ამცირებს ტენის აორთქლებას მშრალ ამინდში და ამცირებს გადატენიანებას უხვი წვიმების დროს.

გამჭვირვალე პოლიეთილენის აფსკით მულტირების დროს ნიადაგი უკეთესად თბება პირველი ოთხი-ექვსი კვირის მანძილზე, სანამ იგი სუსტად იჩრდილება მცენარეთა ვეგეტატიური მასით. ხელსაყრელი მიკროკლიმატი, რომელსაც ქმნის აფსკი, ამაღლებს თესლების აღმოცენებლობას, ამცირებს მას ხუთი-შვიდი დღით და ხელს უწყობს მათ სწრაფ ზრდა-განვითარებას. ნაყოფის მომწიფება ხდება 5-13 დღით ადრე.

ზოგიერთი მკვლევარის მონაცემების მიხედვით გამჭვირვალე აფსკი ზრდის საფარის ქვეშ ტემპერატურას, მხოლოდ დღის საათებში, ხოლო დამის საათებში ამცირებს. აქედან გამომდინარე იზრდება მცენარეთა დაზიანების რისკი დამის სიცივით. მულტირება აგრეთვე ცვლის მცენარეთა სხვა სასიცოცხლო პირობებს. ეს ცვლილებები ზოგადად დადებითად მოქმედებს ზოგიერთი ბალჩეული კულტურებისთვის.

ნიადაგის მულტირება გამჭვირვალე ფოტოდამრღვევი პოლიეთილენის აფსკით ფართოდ გამოიყენება სხადასხვა ბოსტნეული კულტურების მოსაყვანად იაპონიაში, აშშ-ში, ინგლისში, მექსიკაში, პოლონეთში, ბულგარეთში და ა.შ.

ფოტოდამრღვევი აფსკები ПЭ-108-70 და ПЭ-108-71 გამოსადეგია მხოლოდ მცირე დროით ბოსტნეულის, კენკროვანის და კარტოფილის მულტირებისთვის.

დიდ პრაქტიკულ ინტერესს იმსახურებს მულტაფსკი, რომელსაც გააჩნია სარეველებთან ბრძოლის უნარი და იცავს ნიადაგს გადახურებისაგან. ასეთი აფსკი მზადდება პოლიეთილენის მარკისგან 108-70 მწვანე 411 და 108-70 მწვანე 401. მწვანე მულტაფსკის გამოყენების ვადაა 2-3 თვე, რის შემდეგაც იგი იშლება.

ნახევრად გამჭვირვალე (დაბურული) აფსკი გამჭვირვალობის მიხედვით შეალებულ მდგომარეობას იკავებს გამჭვირვალესა და შავს შორის. მისი მულტად გამოყენება შესაძლებელია ორი წლის მანძილზე, რადგან მის შემადგენლობაში შემავალი ჭვარტლი სტაბილიზატორის როლს ასრულებს და მატებს მდგრადობას.

ნახევრად გამჭვირვალე აფსკი ამცირებს ნიადაგის გათბობას მათი გამჭვირვალობის მიხედვით.

ნიადაგის მულტირება დაბურული პოლიეთილენის აფსკით (30 % გამჭვირვალება, 0,05 – 0,07 მმ სისქე) მნიშვნელოვან გავლენას ახდენს მიკროკლიმატზე მცირებაბარიტიან საფარებში, 3,5 კგ/მ<sup>2</sup>-ით და 1,1 კგ/მ<sup>2</sup>-ით გაზარდა კიტრის და პომიდორის მოსავლიანობა.

ამერიკული წარმოების აფსკები აწონასწორებენ ტემპერატურის დღედამური რყევების ამპლიტუდას დღიური გადახურების შემცირების და დამის გაცივების შეფერხებით. ასეთი აფსკები აუმჯობესებენ ნათესის სინათლის პირობებს.

შავი აფსკის დამზადების დროსაც პოლიეთილენის მასას უმატებენ ჭვარტლს (3%). ასეთ აფსკს ახასიათებს კარგი ელასტიკურობა, მაგრამ იგი არ ატარებს სინათლის სხივებს. ამ თვისების გამო შავი აფსკი მკვეთრად ამცირებს ან სრულად გამორიცხავს აღმოცენებული მცენარეების ფოტოსინთეზს. ამიტომ, მულტირება შავი აფსკით აგრეთვე შეიძლება გამოყენებული იყოს როგორც სარეველებთან ბრძოლის ერთერთი ეფექტური საშუალება. ცხელი კლიმატის პირობებში შავი პოლიეთილენის აფსკი იცავს ნიადაგს გადახურებისგან.

შავი პოლიეთილენის აფსკი შთანთქავს სხივებს და ცხელი კლიმატის პირობებში 58 გრადუსამდე თბება. მაგრამ ნიადაგი, ასეთი მულტის ქვეშ მზიან დღეებშიც კი გაცილებით ნაკლებად თბება ვიდრე გამჭვირვალე აფსკის გამოყენების დროს. ნიადაგის ზედა შრის (0–5 სმ) ტემპერატურა შესაძლებელია 1–1,5 გრადუსით ნაკლები იყოს, ვიდრე არამულტირებული ნიადაგის შრე.

შავი აფსკის ქვეშ ნიადაგის ტენიანობა ყოველთვის უფრო მეტია, ვიდრე გამჭვირვალე და ნახევრად გამჭვირვალე აფსკების ქვეშ, ვინაიდან ასეთი მულტაფსკის ქვეშ ნიადაგი ნაკლებად თბება. მზის სხივები დღის პერიოდში აცხელებს შავ აფსკს, მაგრამ აფსკსა და ნიადაგს შორის არსებული ჰაერის შრე ხელს უშლის ნიადაგის გათბობას. ამასთან, მულტაფსკი ამცირებს ნიადაგიდან ტენის აორთქლებას დია გრუნტობან შედარებით, სადაც აორთქლებაზე გახარჯული სითბო შესაბამისად მეტია. დია გრუნტის ტემპერატურა ტენიანი ნიადაგის დროს, გაცილებით ნაკლებია, ვიდრე მულტის ქვეშ.

ასეთი პირობები იქმნება ადრე გაზაფხულზე და წვიმის შემდეგ. მულჩაფსკი ამ პერიოდში მნიშვნელოვნად აუმჯობესებს ნიადაგის ტემპერატურულ რეჟიმს.

აღსანიშნავია, რომ შავი აფსკი მთლიანად აფერხებს სარეველების განვითარებას, რომლებიც იღუპებიან მის ქვეშ სინათლის უკმარისობის და დღისით გახურებულ აფსკთან შეხების გამო. სარეველებთან ბრძოლაში იგი ჰერბიციდებსაც სჯობნის, რადგანაც არ გამოირჩევა ამომრჩევლობით სხვადასხვა სახის მცენარეების მიმართ და არ აბინძურებს გარემოს, რაც ეკოლოგიურად სუფთა სასოფლო-სამურნეო პროდუქციის მიღების საწინდარია.

სარეველების საწინააღმდეგოდ შემუშავებულია ПЭ-157 მარკის შავი აფსკი, რომელიც 0,04 მმ სისქის პირობებშიც კი ანადგურებს ყველა სახის ერთწლოვან თუ მრავალწლოვან სარეველებს. ამ ტიპის აფსკი გამოცდილია მარწყვის, კენკროვანების და ხილის პლანტაციებში.

ჩატარებული მრავალწლიანი კვლევების შედეგად დადგენილია, რომ ლოკალური მორწყვის და შავი პოლიეთილენის აფსკით მულჩირების დროს პომიდორის მოსავალი 19-20 %-ით მატულობს და იწვევს ნაყოფის ადრეულ მომწიფებას და აუმჯობესებს მის ხარისხს.

ფლორიდის შტატში (აშშ) მულჩირებას პომიდორისთვის იყენებენ დაახლოებით 6 ათას ჰა-ზე. ამისათვის, ჩვეულებრივ, იყენებენ 1,25-1,5 მმ სისქის და 1,6 მ სიგანის შავ პოლიეთილენის აფსკს. სასუქების შეტანის შემდეგ აფსკს აფენენ მანქანის საშუალებით. შემდეგ დამრგელი აგრეგატის მეშვეობით ერთი გავლით აწარმოებენ აფსკის პერფორაციას და ჩითილების დარგვას (ან გენპლაზმის თესვას).

რიგ ქვეყნებში ნიადაგის მულჩირების დროს მორწყვას აწარმოებენ ლოკალურად. ამ შემთხვევაში მიღებს მულჩაფსკის ქვეშ ათავსებენ. პოლონეთში ჩატარებული ცდებით მულჩაფსკის გამოყენების დროს კიტრის და პომიდორის მოსავლიანობა შესაბამისად 30-50 და 20-50%-ით გაიზარდა, ვიდრე ლია ნიადაგში. მულჩირებისთვის გამოყენებული იქნა შავი და რუხი 0,03-0,06 მმ-ის მქონე პოლიეთილენის აფსკი. აღსანიშნავია, რომ თხელი აფსკი ბევრად ეკონომიურია.

შავი აფსკები, უმთავრესად, გამოიყენება მრავალწლოვანი კენკროვანი კულტურებისათვის, თუმცა იგი გამართლებულია საადრეო ბაღზეული და ბოსტნეული კულტურების მოსაყვანადაც.

მულჩირება პოლიეთილენის აფსკით ხორციელდება ხელით ან სპეციალური აფსკის დამგები მანქანით. შესაძლებელია ნიადაგის ზედაპირის სრული ან სხვადასხვა სიგანის ზოლებით დაფარვა. აფსკის ნაპირების ფიქსირება სხვადასხვა მეთოდებითაა შესაძლებელი, ძირითადად კი ნიადაგის მიყრით (6–8 სმ). აფსკის პერფორაცია ხდება მის გაფენამდე ან გაფენის შემდეგ, იმის მიხედვით, თუ რა კულტურისათვის გამოიყენება მულჩი.

გამომდინარე ზემოთაღნიშნულიდან, ამა თუ იმ აგროტექნიკური ღონისძიების და კერძოდ, მულჩის ტიპის შერჩევისას, აუცილებელ წინაპირობას წარმოადგენს სასოფლო-სამეურნეო კულტურათა ზრდა-განვითარებაზე მოქმედ ფაქტორთა შეფასება.

## 12. მულჩირების დროს სასოფლო-სამეურნეო კულტურათა ზრდა-განვითარებაზე მოქმედ ფაქტორთა შეფასება

მცენარეთა ზრდა-განვითარებასა და სასოფლო-სამეურნეო კულტურების მაღალი მოსავლის მიღებაზე დიდ გავლენას ახდენს ნიადაგის მიკროკლიმატი. მიკროკლიმატის ქვეშ იგულისხმება ის ძირითადი მეტეოროლოგიური მახასიათებლები, რომლებიც აკუმულირებულია ჰაერის ნიადაგზედა შრეში და ნიადაგის ფესვთა შრეში.

სოფლის მეურნეობაში ისეთი ჰიდრომელიორაციული ღონისძიებების გატარება როგორიცაა დაშრობა, მორწყვა, დრენაჟის მოწყობა და ა.შ. მცენარეთათვის სასურველი მიკროკლიმატის შექმნის საშუალებას იძლევა. პოლიეთილენის აფსკით ნიადაგის მულჩირება შეიძლება განვიხილოთ როგორც ნიადაგის ჰიდროთერმული მელიორაციის ხერხი რომელიც ზეგავლენას ახდენს ნიადაგზედა ჰაერის მიკროკლიმატზე. უპირველეს ყოვლისა ეს გამოიხატება ჰაერის ტენიანობის და ტამპერატურის ცვლილებით.

მულტირების შედეგად ნიადაგზედა ჰაერის ტემპერატურა ნაკლებად იცვლება ვიდრე ნიადაგის ტემპერატურა. გამჭვირვალე აფსკით მულტირების შემთხვევაში მზიან დღეს ნიადაგი ახდენს სითბოს მეტ აკუმულირებას ვიდრე შავი მულტის ქვეშ, მაგრამ დამით მის ქვეშ სითბოს დაკარგვა მეტია.

ცდებით დადგენილია, რომ ნიადაგის ზედაპირიდან 50 სმ-ზე ჰაერის ტემპერატურა დღის განმავლობაში მულტირებულ ნაკვეთებში 1-3°C-ით მეტია არამულტირებულთან შედარებით (განსაკუთრებით შავი მულტის გამოყენების დროს). დამის საათებში ნიადაგზედა ჰაერის ტემპერატურა ორივე შემთხვევაში ერთნაირია, მაგრამ განთიადისას, უღრუბლო ამინდის შემთხვევაში მულტირება (დია ნიადაგთან შედარებით) ამცირებს ნიადაგზედა ჰაერის ტემპერატურას 0,5-1,5°C-ით, რაც არ ფიქსირდება ღრუბლიან დღეს. ნიადაგიდან 20 სმ სიმაღლეზე მულტირება შავი და გამჭვირვალე აფსკებით ჰაერის ტემპერატურას საღამოს და დილით ზრდის 0,5-1,5°C-ით და 1-2°C-ით დღისით. დამით კი ტემპერატურათა სხვაობა მულტირებულ და არამულტირებულ ნიადაგებს შორის დაფიქსირებული არ არის.

ნიადაგზედა ჰაერის ტემპერატურა დამოკიდებულია ჰაერის საერთო ტენიანობაზე 2 მ სიმაღლეზე, ნიადაგის ტენიანობაზე, აორთქლებაზე და მცენარეთა ტრანსპირაციაზე. მულტირებულ ნიადაგზე ნიადაგის ტენის აორთქლება მცირდება და ნიადაგზედა ჰაერი ნალკლებად მდიდრდება ტენით ნიადაგიდან აორთქლების ხარჯზე, თუმცა მისი შემცველობა ნიადაგში მულტის ქვეშ მაღალია. მშრალ მზიან ამინდში მულტირებულ ნიადაგზე ჰაერის ტენიანობა ნაკლებია ვიდრე ნიადაგზე მულტის გარეშე.

აღსანიშნავია, რომ მულტირების მეთოდი შეიძლება განვიხილოთ როგორც ნიადგის თბური მელიორაციის ერთეული მეთოდი, რომელიც საშუალებას იძლევა ვარეგულიროთ ნიადაგის ფესვთა სისტემის ტემპერატურა.

ნიადაგის თერმული მახასიათებლები განსხვავებული არიან სხვადასხვა ტიპის ნიადაგებისათვის და აგრეთვე იცვლებიან მოცემული ტიპის ნიადაგისათვის ტემპერატურის, ფორიანობის, სიმკვრივისა და სინოტივის მიხედვით. თითოეული ტიპის ნიადაგს ახასიათებს

სხვადასხვა ფორიანობა, ტიპიური დისპერსიულობა, და სპეციფიკური მექანიკური შედგენილობა, რაც თავის მხრივ განაპირობებს თერმულ მახასიათებლებს.

ნიადაგის თერმულ მახასიათებლებს ეკუთვნის:

1. ნიადაგის სითბოგამტარობის კოეფიციენტი, რომელიც იზომება კალ/სმ. წმ. გრად-ობით;
2. ნიადაგის ტემპერატურაგამტარობის კოეფიციენტი  $K$ , რომელიც იზომება  $\text{სმ}^2/\text{წმ-ობით}$ ;
3. ნიადაგის მოცულობითი სითბოტევადობა, რომელიც წარმოადგენს გუთრი სითბოტევადობის ნამრავლს სიმკვრივეზე  $C = c\rho$  და იზომება კალ/სმ<sup>3</sup>-ობით;
4. ნიადაგის სითბოშემთვისებლობის კოეფიციენტი  $b = \sqrt{\lambda c\rho}$ , რომელიც იზომება კალ/სმ<sup>2</sup>წმ<sup>-1/2</sup>-ებზი.

ამ ოთხ ფიზიკურ სიდიდეს შორის არსებობს შემდეგი სახის მათემატიკური დამოკიდებულება:

$$b = \sqrt{\lambda c}; \quad K = \frac{\lambda}{c}; \quad b = \frac{\lambda}{\sqrt{K}}.$$

როგორც ცნობილია, ნიადაგის ზედაპირი მზის სხივურ ენერგიას არა მარტო დებულობს, არამედ ნაწილს არეკლავს ან გამოსხივებს. ამიტომ ნიადაგის ტემპერატურა დამოკიდებულია არა მარტო მის მიერ მიღებულ მზის რადიაციის რაოდენობაზე, არამედ გამოსხივებული და არეკლილი რადიაციის რაოდენობაზეც, ანუ რადიაციის ბალანსზე. რადიაციის ბალანსის განტოლებას შემდეგი სახე აქვს:

$$R = Q - S - V,$$

სადაც:  $R$  არის რადიაციის ბალანსი;  
 $Q$  – მზის რადიაციის ჯამი;  
 $S$  – არეკლილი რადიაცია;  
 $V$  – დედამიწის ეფექტური გამოსხივება (განსხვავდება საკუთრივ დედამიწის გამოსხივებასა და ატმოსფეროს შემცველ გამოსხივებას შორის).

რადიაციის დადებითი ბალანსი იწვევს ნიადაგის და ატმოსფეროს გათბობას, უარყოფითი კი გაცივებას.

რადიაციული ბალანსის გათვალისწინებით ა. ფ. ჩუდნოვის მიერ შემოთავაზებული იქნა თბური ბალანსის დამოკიდებულება, რომელსაც შემდეგი სახე აქვს:

$$R + T_B + T_T + T_n = 0,$$

სადაც:	$R$	არის რადიაციის ბალანსი;
	$T_B$	— სითბოს ტურბოლენტური ნაკადი (ნიადაგის ზედაპირსა და ჰაერს შორის სითბოს განაწილების მექანიზმი);
	$T_T$	— ტენის ტრანსპირაციაზე და მის ფიზიკურ აორთქლებაზე გახარჯული სითბო;
	$T_n$	— სითბოს გადასვლა ნიადაგის ერთი ფენიდან მეორეში.

თბური ბალანსის ანალიზი გვიჩვენებს, რომ პოლიეთოლენის აფსკით მულჩირების შედეგად აორთქლებაზე სითბოს დახარჯვა ორჯერ, ჰაერში ტურბოლენტური თბოგადაცემა 17%-ით მცირდება, ხოლო ნიადაგში სითბოს ნაკადი 25%-ით იზრდება. ეს განსაკუთრებულად მნიშვნელოვანია გაზაფხულზე, როდესაც აუცილებელია ნიადაგში შევინარჩუნოთ სითბო და ტენი.

მულჩირების ზეგავლენის შესწავლას ნიადაგის თერმულ და წყლოვან რეჟიმებზე მრავალი მეცნიერის კვლევა მიეძღვნა, რომელთა შორის აღსანიშნავია: ა. ბ. იოვე, ი. ო. მუსსო, ნ. ა. ნეკრასოვი და ნ. ა. რეინი, ვ. ზ. ცელიკი, მ. პ. პეტროვი, ნ. მ. კოზულინი, მ. ი. გუშინი და ი. ნ. ბოიკო, ვ. გ. გავრიში, ს. ს. ილინი, გ. დ. დემოვიხი, ვ. ი. ედელშტეინი და ს. ვ. კრილოვი, ნ. ნ. ბანასევიჩი, ნ. ი. მაკარევსკი, პ. ფ. დობრიაკოვი, გ. ბ. ნადარაია, მ. ა. გოგოლიშვილი, ბეივერი, შოუ, კინგი, კოლი და სიუელი, სტებენსონი და შუსტერი, გრინხემი, შმიდტი, ფლინტი, ვ. ს. მეზენცევი, ი. ვ. ნოვიკოვა, ი. გ. ყრუაშვილი, ე. კუხალაშვილი, თ. ოდილავაძე, მ. ლორია და სხვ.

ნიადაგის თბურ რეჟიმზე ზეგავლენა შესაძლებელია მულტირების აფსკის შესაბამისი შერჩევით მისი გამჭვირვალობის, ბუნებრივ-კლიმატური პირობების და მოსაყვანი სასოფლო-სამეურნეო კულტურების მოთხოვნების გათვალისწინებით.

მრავალი კვლევებით დადგენილია, რომ ნიადაგის ტემპერატურის უდიდესი ცვლილება ხდება გამჭვირვალე პოლიეთილენის აფსკით მულტირების შემთხვევაში. ლია გრუნტის შმთხვევაში ნიადგი მულტის ქვეშ საგრძნობლად მეტად თბება ვიდრე მულტის გარეშე. ამ შემთხვევაში სითბოს მიწოდება 40-46%-ით მეტია. ასეთი მულტის ქვეშ უკვე მეორე დღეს ნიადაგის ტემპერატურა იზრდება 50 სმ სიღრმეზე.

განსაკუთრებული სხვაობა მულტირებულ და არამულტირებულ ნიადაგების ზედაპირზე შეიმჩნევა დღის საათებში. დღის საათებში 20 სმ სიღრმეში მულტის ქვეშ ტემპერატურა თითქმის ორჯერ ადემატებოდა ტემპერატურას ლია ნიადაგთან შედარებით. 50 სმ სიღრმეშიც კი მულტირებული ნიადაგის ტემპერატურა 1,5-2°C-ით ადემატებოდა.

ნახვრეტების ფართობის ზრდასთან ერთად მულტის გავლენა ტემპერატურაზე კლებულობს.

თბური ბალანსის ანალიზი გვიჩვენებს, რომ პოლიეთილენის აფსკით მულტირების შედეგად აორთქლებაზე სითბოს დახარჯვა ორჯერ, ჰაერში ტურბულენტური თბოგადაცემა 17%-ით მცირდება, ხოლო ნიადაგში სითბოს ნაკადი 25%-ით იზრდება. ეს განსაკუთრებულად მნიშვნელოვანია გაზაფხულზე, როდესაც აუცილებელია ნიადაგში შევინარჩუნოთ სითბო და ტენი [11, 12, 13, 14, 15, 16, 17, 18].

ვეგეტაციის პერიოდში მცენარეები ნიადაგიდან მოიხმარენ წყლის დიდ რაოდენობას. წყლის უკმარისობა, როგორც მისი სიჭარბე უარყოფითად მოქმედებს მცენარის ზრდაზე და მოსავლის რაოდენობაზე. ტენის უკმარისობის დროს მცენარის წვრილი ფესვების სიცოცხლისუნარიანობა კლებულობს, ისინი ვერ იწოვენ წყალს და მცენარე იწყებს ჭკნობას. ზედმეტი ტენი კი ხელს უშლის ნორმალური ბიოლოგიური პროცესების განვითარებას ნიადაგში და უანგბადის მიწოდებას ფესვებისთვის.

ა. ა. ოოდე მცენარის მიმართებაში ნიადაგის ტენს ყოფს ხუთ კატეგორიად:

1. აბსოლუტურად აუთვისებელი ტენი (ე.წ. ნიადაგის მკვდარი მარაგი), რომელიც დაახლოებით ეთანადება მყარად შეკავშირებული წყლის მაქსიმალურ შემადგენლობას.
2. საკმაოდ ძნელად მისაწვდომი ტენი. ეს არის ფხვიერად შეკავშირებული წყლის ნაწილი მკვდარი მარაგიდან ჭკნობის სინოტივემდე, რომლის დროსაც მცენარე განიცდის ტენის მძაფრ დეფიციტს.
3. პირობითად ძნელად მისაწვდომი ტენი. ეს სიდიდე იმყოფება ჭკნობის სინოტივესა და კაპილარული გაწყვეტის სინოტივეს შორის. ეს ტენის ის კატეგორიაა, რომლის დროსაც ჩამოკიდებული ტენი, აორთქლების პროცესში კარგავს გადაადგილების თვისებას ასაორთქლებელი ზედაპირისაკენ.
4. საშუალოდ მისაწვდომი ტენი ხასიათდება გადაადგილებით და მოთავსებულია კაპილარული გაწყვეტის სინოტივესადა მინდვრის (უმცირესი) წყალტევადობას შორის. უმცირესი წყალტევადობა არის აბსოლუტური წყალტევადობა. მინდვრის წყალტევადობა თიხნარი ნიადაგებისათვის საშუალოდ ტოლია 170-190 მმ, ქვიშნარებისთვის 160-180 მმ და ქვიშისათვის 80-120 მმ პროდუქტიული ტენისა ნიადაგის 1მ-იან ფენაში.
5. ადვილად მისაწვდომი ტენი მდებარეობს უმცირეს წყალტევადობასა და სრულ წყალტევადობას შორის. ეს უკანასკნელი წარმოადგენს ტენის იმ მაქსიმალურ სიდიდეს, რომელიც შეუძლია დაიკავოს ნიადაგმა მისი ფორების სრული შევსებისას. ტენის ეს დონე ხასიათდება გადაადგილების მაქსიმალური შესაძლებლობით, მაგრამ ამ დროს შეზღუდულია ნიადაგში ჟანგბადის გადაადგილება.

ნიადაგის მულჩირება პოლიეთილენის აფსკით ერთეული საშუალებაა რომელიც ხელს უწყობს სასურველი წყლის რეჟიმის ჩამოყალიბებას. ვინაიდან პოლიეთილენის აფსკი წყალგაუმტარია, იგი აფერხებს აორთქლების პროცესს.

რაც უფრო ნაკლები მანძილია მულტის ზოლებს შორის და მეტია მცენარეთათვის ნახვების ფართი, მით ნაკლებია აორთქლება და მატულობს წყლის მარაგი ნიადაგში.

აფსკით მულტირებას, როგორც წყლის რეჟიმის გამაუმჯობესებელ საშუალებას დიდი მნიშვნელობა აქვს გვალვიან რეგიონებში [19, 20, 21, 22, 23].

თუ მულტირების წინ ნიადაგი კარგად არ იყო მოსწორებული, მაშინ რეპომენდებულია მულტის ცენტრში მთელ სიგრძეზე 2-3 მ დაშორებით გაკეთდეს 0,5 სმ დიამეტრის ნახვები, რათა არ მოხდეს წყლის დაგროვება.

გამჭვირვალე მულტის ქვეშ ნიადაგი უფრო სწრაფად შრება ვიდრე შავი აფსკის ქვეშ.

ცდებით დადგენილია, რომ მულტის ქვეშ ნიადგის ტენიანობა 50 სმ სირდმეზეც კი 2-5%-ით მეტი, ვიდრე ნიადაგისა მულტის გარეშე [24, 25, 26, 27, 28, 29].

ნიადაგის მექანიკურ დამუშავებას, ნიადვრულ წვიმებს და სხვა გარე ფაქტორებს მივყავართ ფესვთა სისტემის შემჭიდროვებასთან, რაც იწვევს მცენარის ზრდის შეფერხებას და მოსავლის შემცირებას. ამიტომ ნიადაგის ნაყოფიერების შესანრჩუნებლად მნიშვნელოვანია იმ ღონისძიებების ჩატარება, რომლებიც დაიცავენ ნიადაგს მისი სტრუქტურის დაშლისა და შემჭიდროვებისგან. ერთერთ ასეთ ღონისძიებას წარმოადგენს ნიადაგის მულტირება პოლიეთოლენის აფსკით.

მულტირების გავლენას ნიადაგის ფიზიკურ და ქიმიურ თვისებებზე იკვლევდნენ მ. გ. ვარძელაშვილი, ტ. ა. აკულოვა, ვ. ვ. იოსავა, ბ. გ. კარნაუხოვი, ნ. ვ. ახვლედიანი, ნ. კ. კლუევი, ე. ი. შილოვა, ლ. ი. კაცი, ვ. ვ. იაკოვლევი, ბოლერი და სტეფენსონი, ოლბრეხტი, მაგრუდერი, ვან დორენი და შტაუფერი.

კვლევების შედეგების ანალიზის საფუძველზე მივიღეთ, რომ დარგვიდან მოსავლის აღებამდე ნიადგის სიმკვრივე 0-20 სმ სიღრმეზე არ იცვლება იმ დროს, როდესაც ფართობზე მულტის გარეშე ნიადაგის მოცულობითი წონა 0,05-0,08 გრ/სმ<sup>2</sup>-ით იზრდება [30, 31, 32, 33, 34, 35, 36].

უმთავრეს ფაქტორს, რომელიც განაპირობებს ბიოლოგიური პროცესების მსვლელობას, წარმოადგენს ტემპერატურის რეჟიმი. ცნობილია, რომ მრავალი ნიადაგის მიკროორგანიზმისთვის ოპტიმალური ნიადაგის ტემპერატურას წარმოადგენს  $20-30^{\circ}$ . გაზაფხულზე ნიადაგის ტემპერატურა მიკროორგანიზმებისათვის ოპტიმალურზე ნაკლებია, რაც აფერხებს მათ სიცოცხლისუნარიანობას. ბიოლოგიური პროცესების ინტენსივობაზე კი დიდად არის დამოკიდებული მცენარის უზრუნველყოფა საკვები ნივთიერებებით, კერძოდ აზოტით.

ადრეულ გაზაფხულზე მნიშვნელოვანია ნიადაგში ნიტრიფიკაციის პროცესის დაჩქარება, რასთანაც დაკავშირებულია მცენარის აზოტით კვების გაუმჯობესება. მულჩირებულ ნიადაგში ინტენსიურად მიმდინარე ბიოლოგიური პროცესები აჩქარებენ ორგანული ნივთიერებების მინერალიზაციას, რის შედეგადაც ნიადაგში მატულობს საკვები ნიბთიერებების რაოდენობა [37, 38, 39, 40, 41].

გამომდინარე ზემოთაღნიშნულიდან, მულჩირების დადებითი მხარეები შეიძლება შემდეგ პუნქტებად ჩამოვაყალიბოთ:

1. ორგანული მულჩა წარმოადგენს ნიადაგის მიკროორგანიზმების საკვებს და აძლიერებს მათ აქტივობას;
2. მულჩა იწვევს მოძრავი საკვები ელემენტების განავითარებას, ხოლო გარკვეული პირობების დროს კი ნახშირორჟანგის გამომუშავებას;
3. განაპირობებს ნიადაგის ხელსაყრელი კოშტოვანი სტრუქტურის ჩამოყალიბებას;
4. იცავს ნიადაგს გადაშრობისგან, ინარჩუნებს მის ტენიანობას;
5. არეგულირებს ნიადაგის ტემპერატურას;
6. აფერხებს სარეველების განვითარებას;
7. ხელს უშლის ეროზიული პროცესების განვითარებას და საკვები ელემენტების გამორეცხვას;
8. ხელს უწყობს ბუნებრივი დამცავი ნივთიერებების წარმოქმნას, რომლებსაც მცენარეები ითვისებენ.

### 1.3. მულტირების გავლენა ევაპოტორანსპირაციაზე და ნიადაგის წყლოვან თვისებებზე (ფილტრაციაზე)

ტენიანობის უკმარისობა, ხშირად წარმოადგენს სასოფლო-სამეურნეო კულტურების პროდუქტების შემცირების ძირითად ფაქტორს. არიდულ და ნახევრად არიდულ რეგიონებში მაღალი მოსავლის მიღება შესაძლებელია მხოლოდ რაციონალური გასარწყავების პირობებში, რომელიც უზრუნველყოფს გეგმიური მოსავლის მიღებას და გარემოს ეკოლოგიური წონასწორობის შენარჩუნებას.

მორწყვის რაციონალური რეჟიმის ფორმირება შეუძლებელია სასოფლო-სამეურნეო კულტურების მორწყვის ვადების განსაზღვრის გარეშე. მორწყვის ვადების განსაზღვრის არსებული მეთოდებიდან ყველაზე ზუსტია ნიადაგის ტენიანობის კონტოლი თერმოსტატულ-წონითი მეთოდი. ამასთან, ეს მეთოდი წარმოადგენს ყველაზე შრომატევადს, ხოლო შედეგების მიღება ხდება დაგვიანებით, რასაც მივყავართ არადროულ მორწყვამდე განსხვავებული ნორმებით.

უკანასკნელ პერიოდში ფართო გავრცელება ჰპოვა სარწყავი ნორმის საანგარიშო მეთოდებში, რომელთა თეორიულ საფუძველს წარმოადგენს ის, რომ მცენარეთა ოპტიმალური წყალუზრუნველყოფის დროს მყარდება მჭიდრო ურთიერთკავშირი აორთქლებასა და ატმოსფეროს ენერგეტიკულ რესურსებს შორის, რომლის შეფასებაც ხდება ისეთი კომპლექსური მახასიათებლის მეშვეობით, როგორიცაა აორთქლებადობა ანუ პოტენციური ევაპოტორანსპირაცია. ხოლო ჯამური წყალმოხმარება ანუ ევაპოტორანსპირაცია არის წყლის ის მოცულობა, რომელიც იხარჯება მცენარეთა ტრანსპირაციაზე და ნიადაგიდან აორთქლებაზე [42].

როგორც ცნობილია, ჯამური წყალმოხმარებისა (ევაპოტორანსპირაცია) და ჯამური აორთქლების სხვაობას წყალმოხმარების დეფიციტი წარმოადგენს

$$\Delta E = ET_0 - ET,$$

სადაც:  $ET_0$  არის ევაპოტორანსპირაცია ან სასოფლო-სამეურენო

კულტურის წყალმოხმარება საანგარიშო  
პერიოდში (მმ);

*ET* – ჯამური აორთქლება ბუნებრივი გატენიანების  
პირობებში (მმ).

ამ განტოლებაში *ET<sub>o</sub>*-ის მიხედვით ხდება კულტურის წყალმოთხოვნილების განსაზღვრა მაღალი მოსავლის მისაღებად, ხოლო ჯამური წყალმოხმარების უფრო ზუსტი მონაცემების მიღება ხდება საველე კვლევების საფუძველზე. ასეთი კვლევები წარმოებს სხვადასხვა სასოფლო-სამეურნეო კულტურებზე

ბოლო 50 წლის მანძილზე მთელს მსოფლიოში, მეცნიერთა მიერ შემუშავებულია *ET<sub>o</sub>* გაანგარიშების უამრავი მეთოდი სხვადასხვა კლიმატური მონაცემის მიხედვით. ამ მეთოდებს, ხშირად ადგილობრივი ხასიათი აქვთ და მათი გამოყენება სხვადასხვა რეგიონებში შეუძლებელია. ამა თუ იმ მეთოდის გამოცდა სხვა პირობებში საკმაოდ შრომატევადი პროცესია, ხოლო *ET<sub>o</sub>*-ის განსაზღვრა უნდა მოხდეს სწრაფად. ამ პრობლემის გადასაწყვეტად FAO-ს მიერ შემუშავებლი იქნა *ET<sub>o</sub>*-ს განსაზღვრის შემდეგი მეთოდები [43]:

1. რადიაციული;
2. პენმანის მეთოდი;
3. მეთოდი ამაორთქლებლით;
4. პენმანის დაზუსტებული მეთოდი.

სხვადასხვა კლიმატურ პირობებში ამა თუ იმ მეთოდის შედეგების შეფასაბა განხორციელდა ირიგაციისა და წყალმოხმარების კომიტეტის (აშშ) მიერ. პარალელურად კვლევები ტარდებოდა ევროკავშირის კვლევითი ინსტიტუტების მიერ. ამ კვლევების შედეგებზე დაყრდნობით FAO-ს მიერ რეკომენდებული იქნა პენმან-მონტეინის მეთოდი, როგორც ევაპოტრანსპირაციის განსასაზღვრის ერთადერთი სტანდარტული ხერხი.

1948 წელს პენმანმა ენერგეტიკული ბალანსის თეორია გააქრთიანა მასის გადატანის მეთოდთან და მიიღო ლია წყლის ზედაპირიდან აორთქლების საანგარიშო განტოლება სტანდარტული კლიმატური

პირობებისთვის: მზის განათება, ტემპერატურა, ტენიანობა და ქარის სიჩქარე. ეს ე.წ. კომბინაციური მეთოდი განვრცობილი იქნა სხვადასხვა მკვლევარის მიერ და მორგებულ იქნა დათესილ ფართობებისთვის წინაღობის ფაქტორების გათვალისწინებით.

პერმან-მონტეინის საანგარიშო დამოკიდებულებას შემდეგი სახე აქვს:

$$ETo = \frac{0.408 \cdot A \cdot (Rn - G) + \gamma \cdot \frac{900}{T + 273} \cdot u_2 \cdot (e_s - e_a)}{A + \gamma \cdot (1 + 0.34 \cdot u_2)},$$

სადაც:	$ETo$	არის	ნორმატიული ევაპოტრანსპირაცია (მმ.დღე $^{-1}$ );
	$Rn$	—	კულტურის ზედაპირზე რადიაცია ნეტო ( $MJm^{-2}$ დღე $^{-1}$ );
	$G$	—	ნიადაგის თბური ნაკადის სიმკვრივე ( $MJm^{-2}$ დღე $^{-1}$ );
	$T$	—	საშუალო დღიური ტემპერატურა 2 მ სიმაღლეზე ( $^{\circ}C$ );
	$u_2$	—	ქარის სიჩქარე 2 მ სიმაღლეზე ( $ms^{-1}$ );
	$A$	—	გაჯერებული ორთქლის წნევის მრედის ქანობი ( $kPa \ ^{\circ}C^{-1}$ );
	$\gamma$	—	ფსიჭომეტრიული მუდმივა ( $kPa \ ^{\circ}C^{-1}$ );
	$e_a$	—	ორთქლის ფაქტიური წნევა ( $kPa$ );
	$e_s$	—	გაჯერებული ორთქლის წნევა ( $kPa$ );
	$e_s - e_a$		გაჯერებული ორთქლის წნევის დეფიციტი ( $kPa$ ).

აღნიშნულ მეთოდთან ერთად, სარწყავ მიწათმოქმედებაში, უდიდესი გამოყენება პპოვა ევაპოტრანსპირაციის გამოთვლის ბიოკლიმატურმა მეთოდმა ჯამური აორთქლების ბიოლოგიური კოეფიციენტების გათვალისწინებით (ა. მ. ალაპატიევი). ამ მეთოდს საფუძვლად უდევს კავშირი წყალმოხმარებას, პაერის ტენიანობის დეფიციტსა და მოსარწყავი კულტურის ბიოლოგიურ თავისუბერებებს შორის. ეს კავშირი გამოისახება დამოკიდებულებით:

$$ET_0 = K_d \cdot \sum d; \quad ET_0 = K_t \cdot \sum t; \quad ET_0 = K_E \cdot E_m,$$

სადაც:	$K_d$	$K_t$	არის გულტურის წყალმოხმარების ბიოლოგიური (ბიოკლიმატური) კოეფიციენტი, დამოკიდებულია ვეგეტიაციის პერიოდზე.
	$K_E$		
	$\Sigma d$	–	პაერის ტენიანობის საშუალო დღედამური დეფიციტის ჯამი (მმ);
	$\Sigma t$	–	პაერის საშუალო დღერამური ტემპერატურის ჯამი განსახილველ პერიოდში ( $^{\circ}\text{C}$ );
	$E_m$	–	მაქსიმალურად შესაძლებელი აორთქლება (მმ).

ამ მეთოდის სიზუსტე დამოკიდებულია წყალმოხმარების ბიოკლიმატური კოეფიციენტების რაოდენობრივ მნიშვნელობაზე, რომლის დაზუსტება მიზანშეწონილია მრავალწლიანი სავალე კვლევების საფუძველზე სხვადასხვა სასოფლო-სამეურნეო კულტურებისთვის.

ბიოლოგიური (ბიოკლიმატური) კოეფიციენტი ასახავს მოსარწყავი კულტურის წყალმოხმარების თავისებურებებს და მისი გამოთვლა ხდება ჯამური აორთქლებისა (ვეგეტაციის გარკვეულ მონაკვეთში) და მეტეოროლოგიური მონაცემების საფუძველზე. ს. მ. ალაპატიევის მიხედვით, ბიოკლიმატური კოეფიციენტის გამოსათვლელად აღებულია აორთქლება, რომელიც იანგარიშება პაერის ტენიანობის დეფიციტის მიხედვით:

$$K = \frac{E_3}{\sum d}.$$

ა.რ. ქონსტანტინოვის მეთოდის მიხედვით მეტეოროლოგიურ მახასიათებლად მიღებულია პაერის ტემპერატურა და აბსოლუტური ტენიანობა [44]:

$$K = \frac{E_3}{E_0}.$$

დ. ბ. ციპრისის მიხედვით – პაერის ტემპერატურა:

$$K = \frac{E_g}{(t + 22.5^{\circ}C)},$$

სადაც:	$E_g$	არის ფაქტიური ჯამური აორთქლება დეკადაში (მმ);
	$E_0$	— აორთქლება დეკადაში. განისაზღვრება ჰაერის ტემპერატურისა და აბსოლუტური ტენიანობის მიხედვით (მმ);
	$\Sigma d$	ჰაერის საშუალო დღედამური ტენიანობის დეფიციტის ჯამი დეკადაში (კა);
	$t$	ჰაერის საშუალო დღედამური ტემპერატურა დეკადაში ( $^{\circ}\text{C}$ ).

წყალმოხმარების დეფიციტის საანგარიშო დამოკიდებულების მეორე ნაწილი, ანუ  $ET$ , ახასიათებს ბუნებრივი გატენიანების დონეს. ბუნებრივი გატენიანება წარმოადგენს, საანგარიშო პერიოდის დასაწყისში და ბოლოში არსებული ატმოსფერული ნალექებისა და ნიადაგის ტენის მარაგის ჯამის სხვაობას. რიგ შემთხვევაში, შესაძლებელია დამატებითი პატარი ტენით, გრუნტის წყლების მეშვეობით, თუ იგი მაღალ დონეზეა განლაგებული. ამ შემთხვევაში, ჯამური აორთლება ბუნებრივი გატენიანების პირობებში, ნებისმიერ საანგარიშო პერიოდში შეადგენს:

$$ET = P + (W_1 - W_2) + V_{\text{გრ}} + V_{\text{ჯამ}},$$

სადაც:	$P$	არის ეფექტური ატმოსფერული ნალექები (მმ);
	$W_1$ და	ნიადაგის აქტიური ფენის ტენიანობა
	$W_2$	საანგარიშო პერიოდის დასაწყისსა და ბოლოში (მმ);
	$V_{\text{გრ}}$	მცენარეების მიერ გამოყენებული გრუნტის წყლების რაოდენობა (მმ);
	$V_{\text{ჯამ}}$	ზედაპირისა და ნიადაგქვეშა ჩამონადენის ჯამი (მმ).

ბუნებრივ გატენიანებაში მონაწილე კომპონენტებს შორის ატმოსფერული ნალექები წარმოადგენს ყველაზე ადვილად შესასწავლ

მაჩვენებლს და მონაცემების აღება შესაძლებელია პიდრომეტეო სადგურების მეშვეობით. ნიადაგის წყლის მარაგის განსაზღვრაც, აგრეთვე, შესაძლებელია აგრომეტეოროლოგიური სადურების მეშვეობით.

ნიადაგის ტენის მარაგის განსაზღვრის ექსპერიმენტალური მეთოდები იმდენად რთულ და შრომატევად პროცესს წარმოადგენს, რომ მრავალი მკვლევარი უპირატესობას საანგარიშო მეთოდებს ანიჭებს. ბუნებრივი გატენიანების პირობებში, ჯამური აორთქლების მახასაითებლების განსასაზღვრავად მიზანშეწონილია კ. ს. მეზენცევის პიდროლოგო-კლიმატური გაანგარიშებისა მეთოდის გამოყენება, რომლის მიხედვითაც, ჯამური აორთქლება იანგარიშება:

$$ET = E_m \cdot \left[ 1 + ((P + W_1 - W_2)/E_m)^{-n} \right]^{1/n},$$

სადაც,  $n$  პარამეტრიც განისაზღვრება ფაქტიური აორთქლებისა (ოპტიმალური ტენუზრუნველყოფის პირობებში) და მაქსიმალურად შესაძლებელი აორთქლების ფარდობით.

მაქსიმალურად შესაძლებელი აორთქლება, ყოველი წლის საანგარიშო ინტერვალებისთვის, გამოითვლება რადიაციული ბალანსის შეფარდებით ორთქლწარმომქმნელ ხვედრით სითბოსთან:

$$E_m = B / L,$$

სადაც	$L$	არის თრთქლწარმომქმნელი ხვედრითი სითბო, 0.539 კკალ/სმ <sup>2</sup> ;
	$B$	— რადიაციული ბალანსი, კკალ/სმ <sup>2</sup> .

რადიაციული ბალანსის მონაცემების აღება ხორციელდება აქტინომეტრიულ სადგურებზე. ამიტომ, თბური ბალანსის ელემენტების არასაკმარისი მონაცემების გამო, საჭიროა გახდა რადიაციული ბალანსით გამოწვეული მაქსიმალური აორთქლების საანგარიშო ემპირიული დამოკიდებულების გამოყვანა მეტეოროლოგიურ ფაქტორებზე კავშირში.

ამისათვის დადგინდა კვშირი რადიაციულ ბალანსსა და საშუალო დღედამურ ტემპერატურას შორის:

აპრილი-ივნისი  $B = 0.0093 \cdot \sum t + 3.46$ ;

ივლისი-სექტემბერი  $B = 0.0132 \cdot \sum t + 1.38$ .

გამომდინარე აქედან, წყლის ბალანსის განტოლების მონაცემების მიხედვით, წყალმოხმარების ბიოკლიმატური კოეფიციენტების მეშვეობით ხორციელდება დეკადური ან ყოველთვიური წყალმოხმარების დეფიციტის განსაზღვრა. თუ არ ხდება მცენარის მიერ გრუნტის წყლების გამოყენება, მაშინ წყალმოხმარების დეფიციტის გაანგარიშება შემდეგი დამოკიდებულებებით ხორციელდება:

$$\Delta E = k_d \cdot \sum d - E_m \cdot \left[ 1 + ((P + W_1 - W_2) / E_m)^{-n} \right]^{-1/n};$$

$$\Delta E = k_d \cdot \sum t - E_m \cdot \left[ 1 + ((P + W_1 - W_2) / E_m)^{-n} \right]^{-1/n};$$

$$\Delta E = E_m \left( K_E - \left[ 1 + ((P + W_1 - W_2) / E_m)^{-n} \right]^{-1/n} \right).$$

წყალმოხმარების დეფიციტის განსაზღვრა წარმოებს დეკადების ან თვეების მიხედვით დაკვირვებების საფუძველზე. განსაზღვრული წაყლმოხმარების დეფიციტი ჯამდება სასოფლო-სამეურნეო კულტურების სავაგეტაციო პერიოდების მიხედვით. მონაცემთა სტატისტიკური დამუშავების შედეგად ვლინდება წყალმოხმარების დეფიციტის 5%-იანი, 25, 50, 75 და 95%-იანი უზრუნველყოფა. ამასთან 5%-იანი წყალმოხმარების დეფიციტის უზრუნველყოფა შეესაბამება ძალიან მშრალ პერიოდს, 25 – საშუალოდ მშრალ, 50 – საშუალოს, 75 – საშუალოდ ტენიანს და 95 – ტენიანს.

მულტირების გავლენა ევაპოტრანსპირაციზე ზედმიწევნით იქნა შესწავლითი ორ წარმატებულ პროექტში Glen/Bonheim და Glen/Swartland ეკოტოპებში (Botha, Anderson, Van Staden, Van Rensburg, Beukes, & Hensley, 2001; Van Rensburg *et al.*, 2002). მიღებულმა შედეგებმა აჩვენა, რომ სხვა ფაქტორებს შორის (I) მულტირების ტიპი თავის მხრივ იგივენაირად ახდენს ზეგავლენას აორთქლების კოეფიციენტზე და (II) პროცენტულად მიწის ეს საფარველი არის ზედაპირის

მნიშვნელოვანი მახასიათებელი, რომელიც აკონტროლებს ნიადაგის ზედაპირიდან წყლის აორთქლებას (Es) [45].

ევაპოტორანსპირაციის კლასიკურმა შესწავლებმა ნათლად აჩვენა, რომ აორთქლება, რომელიც დამოკიდებულია ტენიანობაზე, ტემპერატურასა და ქარის სიჩქარეზე, მნიშვნელოვანი, ანგარიშგასაწევი ფაქტორებია. სამხრეთ აფრიკაში ჩატარებულმა კვლევებმა აჩვენა, რომ შრობის ციკლის ხანგრძლივობა ასევე მნიშვნელოვანი ფაქტორია მულჩირების უნარიანობის განსაზღვრისას აორთქლების შესამცირებლად. ჰოფფმანმა (1997) დაასკვნა, რომ მულჩირება კარგავს წყლის კონსერვაციის უპირატესობას, როცა ნახევრად გვალვიან გარემოში, შრობის ციკლი მიწის დაუმუშავებელ პერიოდში 15-20 დღეს აჭარბებს. Berry & Mallett (1988) აღმოაჩინეს, რომ სიმინდის ნარჩენები, რომელიც ზედაპირის 70%-ზე მეტს ფარავენ, მნიშვნელოვნად ამცირებენ აორთქლებას ქვე-ნოტიო პირობებში და შრობის პერიოდს ამცირებენ 14 დღეზე ქვემოთ.

ნახევრად გვალვიან ფაზაში, ძირითადად დომინირებს აორთქლების ორი პროცესი. ეს ნიშნავს, რომ Es ფართოდ კონტროლდება ნიადაგის მატრიქსის პიდრავლიკური მახასიათებლის მიერ (Hillel, 1972). Hoffman (1997) აცხადებს, რომ საერთო აორთქლება იზრდება თიხისა და შლამის შემცველობის გაზრდით. მეორეს მხრივ, Stroosnijder & Kone –ს (1982) მიერ შემოთავაზებული და Stroosnijder (2003) მიერ დამოწმებული მარტივი მოდელი გვიჩვენებს, რომ ნიადაგის პიდრავლიკური თვისებები სხვა ფაქტორებთან შედარებით არ არის მთვარი მნიშვნელობის, როგორიცაა პირენციური ევაპოტორანსპირაცია, ფოთლის ფართობის ინდექსი და შრობის ციკლის ხანგრძლივობა. მათ გამოიყენეს კონსტანტა, რომელმაც ბრწყინვალედ იმუშავა ნიადაგის ფართო სპექტრზე, რომელიც მარტივ მოდელში კლასიფიცირებული იყო ქვიშიდან თიხნარში, რათა წინასწარ განსაზღვრულიყო საერთო აორთქლება.

Tanner & Sinclair (1983) და Chapman, Hammer & Meinke (1993) –ის მიერ შემოთავაზებული პროცედურებით მიღებული იქნა En გამოთვლა. ტრანსპირაციის ეფექტურობის კოეფიციენტი სიმინდსა და მზესუმზირაზე აღებული იქნა  $9.5\text{ g}^{-2}\text{ m}^{-1}$  და  $4.5\text{ g}^{-2}\text{ m}^{-1}$  შესაბამისად.

ქ-სიდიდის გამოყენება იძლევა ორ (ET) მარტივ და ეფექტურ გზას, რათა ევაპოტრანსპირაცია დაიყოს თავისი ორი კონკონენტით - Es და Ev. ევაპოტრანსპირაცია შეფასდა ნიადაგში წყლის ბალანსის გათანაბრებით გამომშრალი ნიადაგის მოსავლიანობისთვის, გრუნტის წყლის მოძრაობის გარეშე.

## თავი II

### რესურსდამზობი ტექნოლოგიების ბაზობრივი დოკუმენტის რეზისურტის მატიგალური რეზისურტის დაღგენის თეორიული ასპექტები

#### 3.1. ნიადაგის წყალგამტარობისა და ფილტრაციის თავისებურებანი ნიადაგ-გრუნტებში

სასოფლო-სამეურნეო კულტურის წყალმოთხოვნილების ოპტიმალური პროდუქტიული წყლით უზრუნველყოფა და სავეგეტაციო პერიოდში წყლის აუცილებელი ნორმით დაკმაყოფილება უამრავ ურთიერთმართვად ფაქტორთან არის დაკავშირებული და ნიადაგ-გრუნტებში წყლის მიგრაციისა და გადაადგილების თავისებურებათა გათვალისწინებას საჭიროებს.

ფილტრაციაზე დანაკარგების კანონზომიერების შესწავლის საკითხებმა, მიუხედავად პრაქტიკისათვის მიღებული შედეგებისა, ვერ მიიღო დასრულებული სახე და მოვლენის არსზე ნიადაგ-გრუნტების სტრუქტურულ-ფუნქციონალური პიდროვიზიკის მახასიათებლების კომპლექსის გავლენის კანონზომიერების შესწავლას საჭიროებს [46].

ზემოთ აღნიშნულიდან გამომდინარე, შემოთავაზებულია მოდელი, რომლის საფუძველზე ნიადაგ-გრუნტის რეალური მოდელი წარმოდგენილია იდეალურით, რომლის ყველა ფორმი ერთმანეთის პარალელურ ცილინდრულ მილსადენთა სისტემას შეიცავს. ასეთი მილოვანი სისტემით შედგენილი ნიადაგის ცალკეული მილისათვის ნაკადის დინების საშუალო სიჩქარის საანგარიშოდ მიღებულია საანგარიშო დამოკიდებულება [47]:

$$V = \frac{\gamma i R^2}{2\mu} \left(1 - \frac{r_0}{R}\right)^2 \left(\frac{2}{3} + \frac{1}{3} \frac{r_0}{R}\right), \quad (2.1.1)$$

სადაც:  $V$  არის იდეალურ ნიადაგ-გრუნტებში წყლის ფილტრაციის სიჩქარეა ( $\text{მ}/\text{წ}$ );

$\frac{\gamma i R^2}{2\mu}$	-	ფოროვან მილში წყლის მოძრაობის საშუალო სიჩქარე ( $\theta/\sqrt{\theta}$ );
$R$	-	ფოროვანი მილსადენის რადიუსია ( $\theta$ );
$x$	-	ფოროვან მილსადენში ძვრის საწყისი წინადობის ექვივალენტური რადიუსია ( $\theta$ ).

შემოთავაზებული მოდელის შესაბამისად, ფილტრაციის მიმართულებით  $\Omega$  ცოცხალი კვეთის ფართობისა და  $x$  მილსადენის შემთხვევაში, ცალკეული მილის  $\omega$  ცოცხალი კვეთის ფართობი იქნება:

$$\omega_x = \frac{\Omega}{x}. \quad (2.1.2.)$$

შესაბამისად, ცალკეული მილსადენის წყლის ხარჯი გვლობა:

$$Q_{\text{დამო}} = \frac{\gamma i R^2}{2\mu} m \frac{\Omega}{x}. \quad (2.1.3.)$$

წარმოდგენილ (2.1.3.) დამოკიდებულებაში  $m = f\left(\frac{r_0}{R}\right)$ , და მისი

განსაზღვრა ძალზე რთულია და სპეციალურ კვლევებს საჭიროებს.

$$\text{რადგან } U = \frac{\gamma i R^2}{2\mu} \quad \text{წარმოადგენს } \text{წყლის } \text{მოძრაობის } \text{საშუალო } \text{სიჩქარეს } \text{ფოროვან } \text{მილსადენში, } \text{მისი } \text{ცოცხალი } \text{კვეთის } \text{ფართობი } \text{და } \text{შეიძლება } \text{განისაზღვროს } \text{დამოკიდებულებით:}$$

$$\omega_x = m \frac{\Omega}{x}. \quad (2.1.4.)$$

(2.1.4.) დამოკიდებულების მიხედვით  $\frac{\omega_x}{\omega}$ , წარმოადგენს გრუნტის  $n$

ფორიანობას და შესაბამისად:

$$n = m = \left(1 - \frac{r_0}{R}\right)^2 \left(\frac{2}{3} + \frac{1}{3} \frac{r_0}{R}\right). \quad (2.1.5.)$$

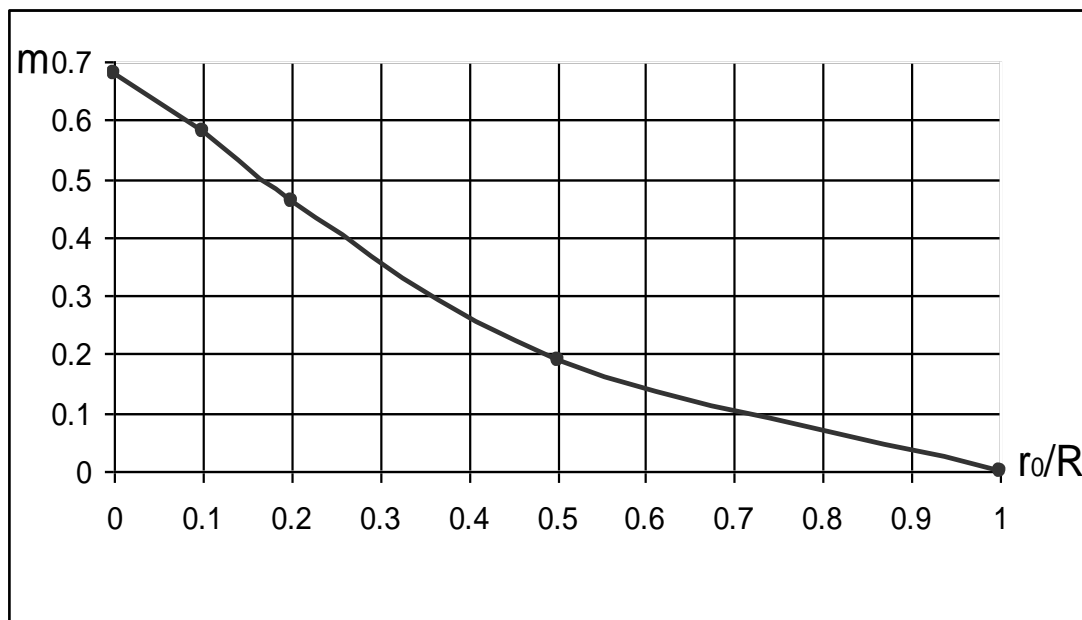
თუ (2.1.5)-ს გავითვალისწინებთ (2.1.1)-ში, მაშინ ფოროვანი მილის საშუალო სიჩქარე გვლობა იქნება:

$$V = mU. \quad (2.1.6.)$$

ე.ი. ფილტრაციის საშუალო სიჩქარე ცალკეულ ფორმვან მიღწი წყლის მოძრაობის საშუალო სიჩქარისა და ნიადაგ-გრუნტის ფორიანობის კოეფიციენტის ნამრავლის ტოლია.

(2.1.5.) საანგარიშო დამოკიდებულებიდან  $m$ -ის განსაზღვრა ძალზე რთულია და სპეციალურ კვლევებს საჭიროებს. აქედან გამომდინარე, შემოთავაზებულია გრაფიკული დამოკიდებულება  $m = f\left(\frac{r_0}{R}\right)$ , ნახ. №2.1.1.

მიღებული (2.1.6.) საანგარიშო დამოკიდებულება ამჟარებს კავშირს ფიქტიურ და იდეალურ ნიადაგ-გრუნტში წყლის  $V$  ფიქტიურ სიჩქარესა და ფორმვან მიღწი  $U$  საშუალო სიჩქარეს შორის.



ნახ. № 2.1.1.  $m = n = f\left(\frac{r_0}{R}\right)$  დამოკიდებულების გრაფიკი

თუ მხედველობაში მივიღებთ, რომ ენერგიის დანაკარგი ფორმვან მიღწი  $h_{\text{დან-ის}}$  ტოლია, მაშინ შეიძლება დავწეროთ:

$$h_{\text{დან}} = \lambda \frac{\ell}{4R} \frac{U^2}{2g}, \quad (2.1.7.)$$

სადაც:  $\lambda$  არის ჰიდრავლიკური წინაღობის კოეფიციენტი;

$g$  – სიმძიმის ძალის აჩქარება ( $\text{მ}/\text{წ}^2$ );

$\ell$  ფორმვანი მიღის სიგრძე ( $\text{მ}$ ).

(2.1.7.) საანგარიშო დამოკიდებულებიდან პიდრავლიკური ქანობი  $I$  რეინოლდსის  $Re$  რიცხვისა და სიბლანტის  $\nu$  კინემატიკური კოეფიციენტის  $\lambda$  გათვალისწინებით შეიძლება განისაზღვროს დამოკიდებულებით:

$$I = \frac{\lambda}{8} \frac{Re^2 \nu^2}{R^3 g}. \quad (2.1.8.)$$

(2.1.8.) დამოკიდებულების გარდაქმნისა და უგანზომილებო კომპლექსის  $\Pi$ -თი აღნიშვნის საფუძველზე, რომელიც ფილტრაციაში ფილტრაციის რიცხვით არის ცნობილი, მივიღებთ:

$$\Pi = \frac{g R^3 I}{\nu^2}, \quad (2.1.9.)$$

$$\Pi = \frac{\lambda}{8} Re_R^2. \quad (2.1.10.)$$

შესაბამისად, ჩატარებული გარდაქმნების საფუძველზე პიდრავლიკური  $\lambda$  მინალობის კოეფიციენტი  $\lambda$  რეინოლდსის რიცხვთან კავშირში მიიღებს სახეს:

$$\lambda = \frac{8\Pi}{Re_R^2}. \quad (2.1.11.)$$

თუ შემოვიდებთ აღნიშვნას  $A = \lambda Re_R^{2-n}$ , მაშინ:

$$\lambda = \frac{A}{Re_R^{2-n}}. \quad (2.1.12.)$$

(2.1.12.) დამოკიდებულების გატოლებით (2.1.11)- თან მივიღებთ:

$$\Pi = \frac{A}{8} Re_R^n. \quad (2.1.13.)$$

Π-ს მნიშვნელობის გათვალისწინებით (2.1.13)-ზი, მივიღებთ:

$$\frac{g R^3 I}{\nu^2} = \frac{A}{8} \left( \frac{UR}{\nu} \right)^n. \quad (2.1.14.)$$

(2.1.14.) დამოკიდებულებიდან შეიძლება განისაზღვროს ფორმან მილში წყლის მოძრაობის საშუალო სიჩქარე:

$$U = \left( \frac{8gI}{A} \right)^{\frac{1}{n}} \frac{R^{\frac{3-n}{n}}}{\nu^{\frac{2-n}{n}}} \quad (2.1.15.)$$

ლამინარული ფილტრაციის შემთხვევაში ფილტრაციის სიჩქარე, როცა  $n=1$ , არის:

$$U = \frac{8gI}{A} \frac{R^2}{\nu}. \quad (2.1.16.)$$

$$\text{თუ } \text{მხდველობაში } \text{მივიღებთ, } \text{რომ } \nu = \frac{\mu}{\rho}, \quad \gamma = \rho g, \quad (2.1.16.)$$

საანგარიშო დამოკიდებულება მიიღებს სახეს:

$$U = \frac{8\gamma R^2}{\mu} \frac{I}{A}. \quad (2.1.17.)$$

$$(2.1.17.) \text{ დამოკიდებულებაში } \text{თუ } \text{შემოვიდებთ } \text{აღნიშვნას } K' = \frac{8R^2}{A}: \quad$$

$$U = \frac{\gamma K'}{\mu} I. \quad (2.1.18.)$$

(2.1.18.) დამოკიდებულების გათვალისწინებით (2.1.16.)-ში, გვექნება:

$$V = \frac{n\gamma K'I}{\mu}. \quad (2.1.19.)$$

(2.1.19.) საანგარიშო დამოკიდებულება წარმოადგენს წყლის ფილტრაციის საანგარიშო დამოკიდებულებას იდეალურ ნიადაგ-გრუნტებში. წყლის ფილტრაციის შესწავლისას მაღალდისპერსიულ გრუნტებში (თიხა, ტორფი) დადგენილ იქნა, რომ ფილტრაცია იწყება მას შემდეგ, როდესაც დაწნევის გრადიენტი გადააჭარბებს გარკვეულ სიდიდეს, ე.ი., კრიტიკული დაწნევის მნიშვნელობის შესაბამისი წერტილის შესატყვის გრადიენტს. პირობითად ეს გრადიენტი შესაძლებელია მიჩნეულ იქნას საწყის გრადიენტად [48]. ფუნქციონალური კაგშირის ზოგადი ხასიათი ფილტრაციის სიჩქარესა და გრადიენტს შორის სხვადასხვა ნიადაგ-გრუნტისათვის შეიძლება ჩაწერილ იქნას დამოკიდებულებით:

$$V_{\text{ფლ}} = KI \left( 1 - \frac{I_0}{I} \right), \quad (2.1.20.)$$

სადაც:  $K$  არის ფილტრაციის კოეფიციენტია;

$I$  – სრული გრადიენტია;

$I_0$  – საწყისი გრადიენტი.

(2.1.20.) დამოკიდებულების შეფარდებით (2.1.19.)-თან, როცა  
ფილტრაციის კოეფიციენტი  $K_1 = n \frac{\gamma K'}{\mu}$  ტოლია, რეალური

გრუნტისათვის ფილტრაციის სიჩქარის საანგარიშო დამოკიდებულებას ექნება სახე:

$$V_{\text{რეალ}} = K_1 K' I \left( 1 - \frac{I_0}{I} \right). \quad (2.1.21)$$

თუ შემოვიდებთ აღნიშვნას:

$$K_0 = n K' \left( 1 - \frac{I_0}{I} \right) \text{ და } K = \gamma \frac{K_0}{\mu},$$

მაშინ მივიღებთ:

$$V_{\text{რეალ}} = K I. \quad (2.1.22)$$

$$(2.1.21)-ე დამოკიდებულებაში K_0 = n \left( 1 - \frac{I_0}{I} \right) K' \quad \text{წარმოადგენს}$$

წყალგამტარობის კოეფიციენტს და აქვს ფართობის განზომილება, ხოლო  $K$  რეალური გრუნტის ფილტრაციის კოეფიციენტს წარმოადგენს. კვადრატული ტურბულენტური ფილტრაციის შემთხვევაში, როცა  $n=2$ , გვექნება:

$$U = \sqrt{\frac{8gR}{A}} \sqrt{I}. \quad (2.1.23)$$

ზოგიერთი გარდაქმნისა და გამარტივების საფუძველზე ფილტრაციის სიჩქარე რეალური გრუნტისათვის შეიძლება გამოვსახოთ შემდეგნაირად

$$V = m \sqrt{\frac{8gR}{A}} \sqrt{1 - \frac{I_0}{I}} \sqrt{I}. \quad (2.1.24)$$

თუ შემოვიდებთ აღნიშვნას  $B = \left( 1 - \frac{I_0}{I} \right) \sqrt{\frac{8gR}{A}}$ , მივიღებთ:

$$V = B m \sqrt{I}, \quad (2.1.25)$$

სადაც:  $B$  არის ემპირიული კოეფიციენტი;  
 $m$  – ფორიანობის კოეფიციენტი.

შემოთავაზებული მოდელის საფუძველზე რეალური გრუნტისათვის მიღებულია ფილტრაციის სიჩქარის, ფილტრაციის კოეფიციენტის, წყალგამტარობისა და ფორიანობის საანგარიშო დამოკიდებულებები.

განხილული ამოცანები წარმოადგენს წყლის მოძრაობის კერძო შემთხვევას ფოროვან გარემოში და მას, გარდა წყლის რესურსების მართვის ოპტიმიზაციისა, განსაკუთრებული როლი ენიჭება როგორც სხვადასხვა საინჟინრო საკითხების გადაწყვეტის, ისე ირიგაციაში მორწყვის ნორმის, სარწყავი ნორმისა და სხვა მახასიათებლების დადგენის დროს.

## 22. მილსადენთა სისტემებში წყლის მოძრაობის საკითხების თეორიული შესწავლა და მორწყვის ნორმის დადგენა

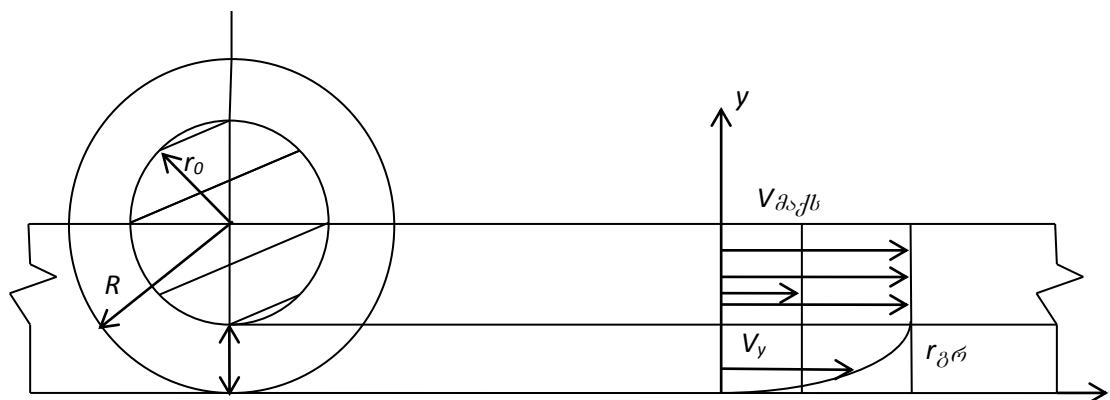
ნიადაგ-გრუნტი, რომელიც სხვადასხვა რიგის მიკრო და მაკრო ზომის ნაწილაკებით არის წარმოდგენილი თანამედროვე შეხედულებით დისპერსიულ-პიდრავლიკურ ფოროვან სისტემას წარმოადგენს და იგი მარცვლოვან ფოროვან სისტემას განეკუთვნება. მის მყარ ნაწილაკებს შორის წყლის განსხვავებული კატეგორიების მოხვედრა და ფორმირება სხვადასხვა გზით ხდება. ვინაიდან, ნიადაგის ფორები მიკროკაპილარული ზომებით არის წარმოდგენილი, მის ტანში მიგრირებული წყალი სხვადასხვა თვისებებს იძენს და ამის გამო მისი შეფასება საერთო ფორიანობის მიხედვითაა შესაძლებელი.

წყალგამტარი ფორების ფორმის, ხელის ზედაპირისა და სხვა მაჩვენებლების შეფასების სირთულე გარკვეულ გავლენას ახდენს ნიადაგ-გრუნტის ფილტრაციული მახასიათებლების დადგენაზე. მიუხედავად იმისა, რომ საერთოდ ფორიანობა არ შეიძლება იყოს ნიადაგ-გრუნტში მიმდინარე მაკრო პროცესების განმსაზღვრელი პოსტულატი, ფილტრაციის ხარისხობრივი მხარის შეფასებისას ყურადღება ფორების ზომას, ფორმას, ურთიერთკავშირს, დანაწევრების ხასიათს, ჩაკეტილობას და სხვა მახასიათებლებს უნდა დაეთმოს. გამომდინარე აქედან, ნიადაგ-გრუნტის მრავალმხრივი კვლევების საფუძველზე შემოტანილი იქნა ფორიანობის შეფასების

დიფერენცირებული, კაპილარული და სხვა სახის ცნებები. რაც შეეხება ფორიანობას, იგი ნიადაგ-გრუნტის ტანზი წყლის ამა თუ იმ კატეგორიის ფორმირების განმსაზღვრელია [49, 50, 51, 52, 53, 54].

ნიადაგ-გრუნტის ტანზი წყლის მოძრაობის განმსაზღვრელი ამ თუ იმ ჰიდროდინამიკური პარამეტრის დადგენისა და ჰიდრავლიკური კვლევების მიზნით შემოთავაზებულია მოდელი, რომლის საფუძველზეც შესაძლებელი იქნება წყლის ფილტრაციის არსებულ ანომალიებთან დაკავშირებული საკითხების შესწავლა.

როგორც ცნობილია, ნიადაგ-გრუნტის ფორიანობა მიღსადენთა სისტემით არის წარმოდგენილი. მიღსადენთა სისტემის ცალკეული მიღის შიდა პერიმეტრზე სხვადასხვა ბუნების ენერგეტიკული ვალების მეშვეობით ადგილი აქვს თავისუფალისაგან განსხვავებული თვისებების მქონე ადსორბციული ბმული წყლის აფსკების ფორმირებას [55].



ნახ. № 2.2.1. მიღსადენში წყლის მოძრაობის  
საანგარიშო სქემა.

აფსკის კონსტრაქცია მიღსადენის შიდა ზედაპირზე მას ანიჭებს კვაზი მყარი სხეულის თვისებებს, რომლის მოძრაობაში მოყვანა შესაბამისი საგრადიენტო  $r_{\partial\sigma}$  შრის არსებობას საჭიროებს. გამომდინარე აქედან, წყლის მოძრაობა შეიძლება წარმოდგენილი იყოს რიგი თავისებურებებით და შესაბამისად, მიღსადენის განივი ცოცხალი კვეთი დაიყოს ორ ზონად. ასეთ შემთხვევაში წყლის მოძრაობის

ანალოგად შესაძლებელია გამოყენებული იყოს კვაზი-მყარი სხეულის მოძრაობა – შვედოვანი განზოგადებული მოდელის სახით.

თუ მხედველობაში მივიღებთ, რომ  $r_0$  არის  $R$  რადიუსიანი მიღსადენის ბმული წყლით შევსების განივი კვეთის რადიუსი, ბმული წყლის თვისებებიდან გამომდინარე, როცა  $r_0=R$  წყლის მოძრაობას მიღსადენში ადგილი არ აქვს და იგი მყარად არის მიმაგრებული მიღსადენის პერიმეტრზე. მიღსადენში წყლის ასეთი განივი კვეთით არსებობა შეიძლება ჩაითვალოს პასიურ სიცარიელედ, რომელიც ფილტრაციის პროცესში არ მონაწილეობს, ხოლო როდესაც  $r_0=0$ , მაშინ ნაკადის კვეთში მთლიანი საგრადიუნტო შრით მოძრაობას ექნება ადგილი. ე. ი. მიღსადენის ცოცხალი კვეთი შეიძლება წარმოდგენილი იყოს ორი ზონით: აქტიური სიცოცხლის ზონა, რომელშიც ნაკადის საგრადიუნტო შრის გაფრცელებას აქვს ადგილი და მეორე ზონა (ნაკადის გული), რომელზედაც ხდება საგრადიუნტო შრის მიერთება.

გამომდინარე აქედან, აქტიური სიბრტყითი ფორმანობა შეიძლება წარმოდგენილი იყოს ფომულით:

$$n_{\text{აქტ}} = \frac{\pi R^2 - \pi(R - r_{\text{აქტ}})^2}{\pi R^2} = 2\left(\frac{r_{\text{აქტ}}}{R}\right) - \left(\frac{r_{\text{აქტ}}}{R}\right)^2. \quad (2.2.1.)$$

პირველი განტოლების  $\left(\frac{r_{\text{აქტ}}}{R}\right)$  ფარდობის მიმართ ამოხსნის შედეგად გვექნება:

$$\left(\frac{r_{\text{აქტ}}}{R}\right) = 1 - \sqrt{1 - n_{\text{აქტ}}}. \quad (2.2.2.)$$

(2.2.2.) ფორმულის ანალიზი გვიჩვენებს: როცა  $n_{\text{აქტ}} = 0, r_{\text{აქტ}}/R = 0$  ხოლო, როცა  $n_{\text{აქტ}} = 1, r_{\text{აქტ}}/R = 1$ , საანგარიშო სქემის მიხედვით,  $r_{\text{აქტ}} = R - r_0$  და შესაბამისად, (3.2.2.) დამოკიდებულებას ექნება სახე:

$$\left(\frac{r_0}{R}\right) = \sqrt{1 - n_{\text{აქტ}}}. \quad (2.2.3.)$$

ზოგადად, როცა მიღსადენის შიდა კვეთი აქტიურ და პასიურ სიცარიელეთა ჯამით არის წარმოდგენილი, მაშინ მიღსადენის სრული სიცარიელის,  $n$ -ის საანგარიშოდ გვექნება:

$$n = n_{\text{gas}} + n_{\text{dust}} \quad (2.2.4.)$$

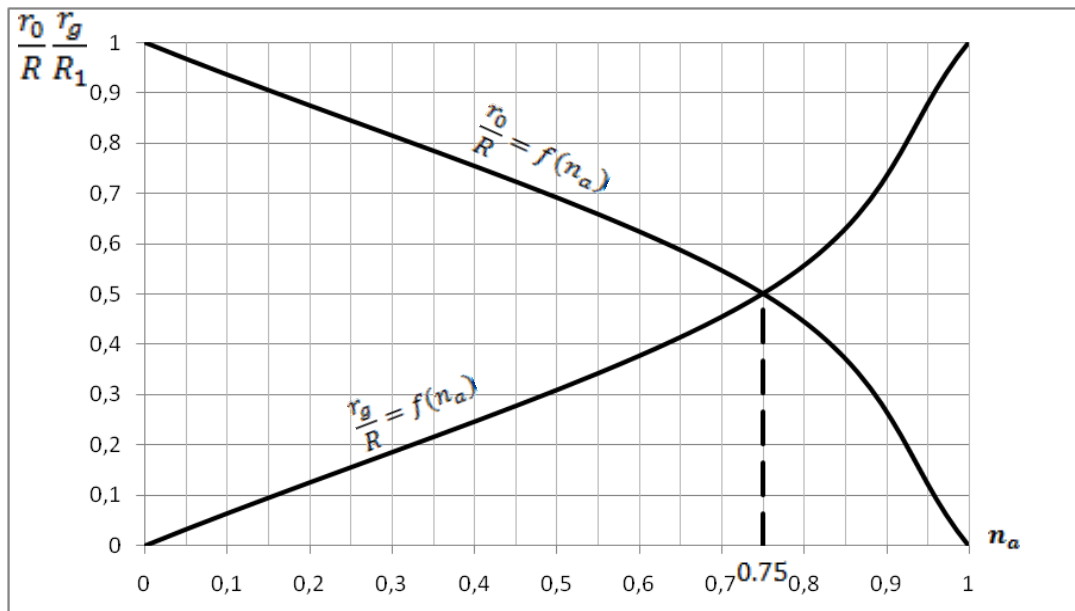
(2.2.4.)-ის გათვალისწინებით (2.2.2.)-ში მივიღებთ

$$\left(\frac{r_{\text{gas}}}{R}\right) = \sqrt{1 - \frac{n_{\text{gas}}}{R}}. \quad (2.2.5.)$$

რადგან პასიური სიცარიელის ფართობი  $\pi r_0^2$ -ის ტოლია, სრული სიცარიელის ფართობი  $\pi R^2$ , მაშინ პასიური ფორიანობის სიდიდე იქნება  $n_{\text{gas}} = \left(\frac{r_0}{R}\right)^2$ . შესაბამისად, (2.2.5.) დამოკიდებულება მიიღებს სახეს:

$$\left(\frac{r_{\text{gas}}}{R}\right) = 1 - \sqrt{1 - n + \left(\frac{r_0}{R}\right)^2}. \quad (2.2.6.)$$

მილსადენის განივი პერიოს სიცარიელის ის ნაწილი, სადაც წყლის შეუფერხებელ მოძრაობას აქვს ადგილი, შეიძლება ჩაითვალოს აქტიურ ფორიანობად. აქტიური ფორანობის თპტიმალური მნიშვნელობის დადგენა შეიძლება განხორციელდეს როგორც გრაფიკული მეთოდით, ისე (2.2.2.) და (2.2.3.) განტოლებების გატოლების საფუძველზე.



ნახ. № 2.2.2.  $\frac{r_0}{R} = f(n_{\text{dust}})$  და  $\frac{r_{\text{gas}}}{R} = f(n_{\text{dust}})$   
დამოკიდებულების გრაფიკი.

გრაფიკული მეთოდის გამოყენების შემთხვევაში გაგებთ  $\frac{r_0}{R} = f(n_{\text{ძვ}}) \text{ და } \frac{r_{\text{გვ}}}{R} = f(n_{\text{გვ}})$  დამოკიდებულების გრაფიკებს (ნახ. № 2.2.2.).

თუ აქტიური ფორიანობის მნიშვნელობას  $n_{\text{ძვ}} = 0.75$  შევიტანო მე(2.2.3) დამოკიდებულებაში მივიღებთ, რომ  $\frac{r_0}{R} = 0.5$ , ანუ, პასიური სიცარიელის რადიუსის ფარდობა სრული სიცარიელის რადიუსთან 0.5-ის ტოლია.

როცა ნაკადის საფილტრაციო მოედნის ფართობი  $X$  მილოვანი სისტემით არის წარმოდგენილი, მისი სიდიდე შეიძლება განისაზღვროს ფორმულით:

$$\omega = X\omega_{\partial\Omega}. \quad (2.2.7.)$$

(2.2.7.) დამოკიდებულების მიხედვით ცალკეული მილის ცოცხალი კვეთის ფართობია:

$$\omega_{\partial\Omega} = \frac{\omega}{X}. \quad (2.2.8.)$$

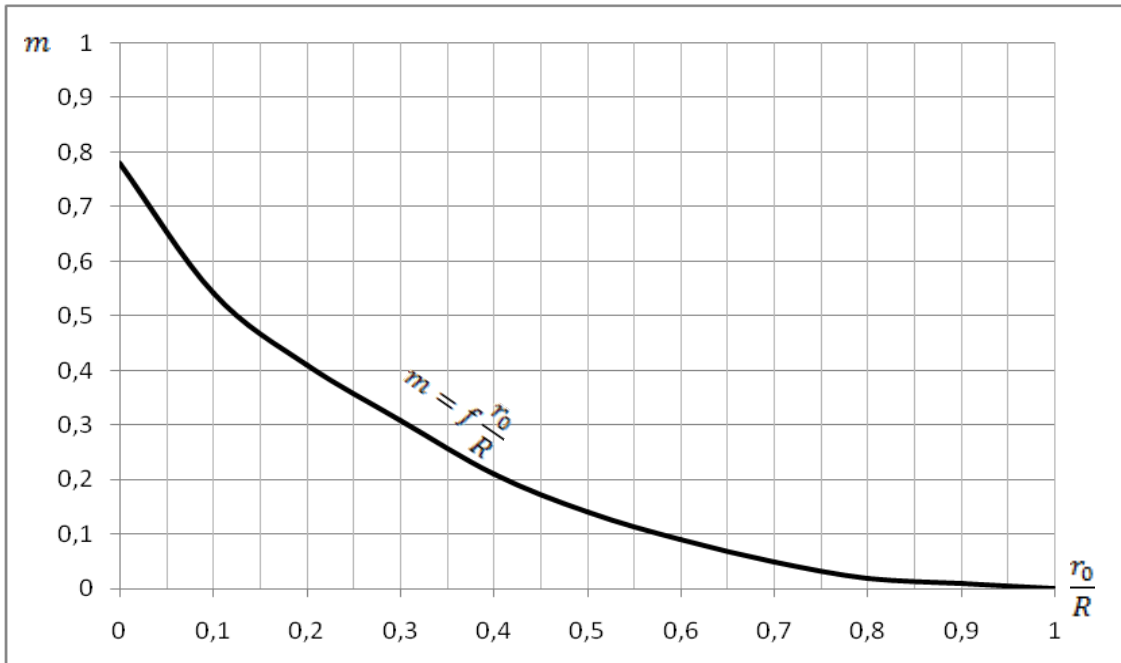
საშუალო სიჩქარის მიხედვით, ნაკადის ხარჯი ცალკეული მილისათვის შეიძლება გაანგარიშებული იყოს ფორმულით:

$$Q_{\partial\Omega} = \frac{\gamma i R^2}{2\mu} \left(1 - \frac{r_0}{R}\right)^2 \left(\frac{2}{3} - \frac{1}{3} \frac{r_0}{R}\right) \frac{\omega}{X}. \quad (2.2.9.)$$

თუ შემოვიდებთ აღნიშვნას  $m = \left(1 - \frac{r_0}{R}\right)^2 \left(\frac{2}{3} - \frac{1}{3} \frac{r_0}{R}\right)$ , ცალკეული მილსადენისთვის წყლის საანგარიშო ხარჯი იქნება:

$$Q_{\partial\Omega} = \frac{\gamma i R^2 \omega}{2\mu X} m. \quad (2.2.10.)$$

საანგარიშო დამოკიდებულებაში (2.2.10.)  $m$ -ის განსაზღვრის მიზნით ვაგებთ გრაფიკულ დამოკიდებულებას  $m = f\left(\frac{r_0}{R}\right)$  (ნახ. № 2.2.3).



ნახ № 2.2.3.  $m = f\left(\frac{r_0}{R}\right)$  გრაფიკული დამოკიდებულება.

დამოკიდებულებაში (2.2.10.), რადგან  $\frac{\gamma i R^2}{2\mu}$  მიღები წყლის მოძრაობის

საშუალო სიჩქარეს წარმოადგენს:

$$\frac{Q_{\partial\Omega}}{V_{\partial\Omega}} = \frac{\omega}{X} m. \quad (2.2.11.)$$

$$\text{გ. ი. } \omega_{\partial\Omega} X = \omega m.$$

რადგან, ვ ფართობი წყლის გასატარებელი მოედნის ფართობია:

$$\omega_{\partial\Omega} X = m \frac{Q}{V_{b\omega\theta}}. \quad (2.2.12.)$$

დამოკიდებულებაში (2.2.12.) წყლის ხარჯის სიდიდე ფილტრაციის ხარჯის ტოლია და შესაბამისად:

$$\omega_{\partial\Omega} X = m \frac{\omega V_g}{V_{b\omega\theta}}. \quad (2.2.13.)$$

რადგან  $\omega_{\text{ძლ}} X / \omega$  წარმოადგენს გასატარებელი წყლის ფართობის ფორიანობას (2.2.13.) დამოკიდებულებით, შეიძლება განისაზღვროს ნაკადის ფილტრაციის სიჩქარე:

$$V_{\mathcal{B}} = \frac{n}{m}; \quad V_{\omega\vartheta} = \frac{n}{m} \frac{Q_{\mathcal{B}}}{\omega}. \quad (2.2.14.)$$

როგორც ზემოთ იყო აღნიშნული, როცა აქტიური ფორიანობა  $n=0.75$  და  $3/4$ -ის ტოლია, მაშინ პასიური ფორიანობა  $n_{\text{ას}}=1-3/4=1/4$  ე.ი. მიღებული შედეგების საფუძველზე შეგვიძლია დავადგინოთ  $m$ -ის მნიშვნელობა:  $m = \frac{5}{24}$ .

$m$ -ის მნიშვნელობას თუ შევიტანო (2.2.14.) დამოკიდებულებაში, გვექნება:

$$V_{\mathcal{B}} = \frac{24}{5} n \frac{Q_{\mathcal{B}}}{\omega}. \quad (2.2.15.)$$

(2.2.15.) დამოკიდებულების მიხედვით ფილტრაციის ხარჯები იქნება:

$$Q_{\mathcal{B}} = \frac{5}{24} \frac{\omega}{n} V_{\mathcal{B}}. \quad (2.2.16.)$$

არასწორხაზოვანი ფილტრაციის შემთხვევაში:

$$Q_{\mathcal{B}} = V_{\mathcal{B}} \left(1 - \frac{I_0}{I}\right) \omega. \quad (2.2.17.)$$

თუ (2.2.17.)-ს გავუტოლებო (2.2.16.)-ს, გვექნება:

$$\frac{I_0}{I} = 1 - \frac{5}{24n}. \quad (2.2.18.)$$

სარწყავ  $t$  პერიოდში, წყლის საჭირო ხარჯი შეიძლება განსაზღვრულ იყოს ფორმულით:

$$Q = \frac{\alpha \omega m}{t}. \quad (2.2.19.)$$

(2.2.19.) დამოკიდებულების მიხედვით განისაზღვრება:

$$\begin{aligned} m &= \frac{Qt}{\alpha \omega} = \frac{V_{\mathcal{B}} \left(1 - \frac{I_0}{I}\right) \omega t}{\alpha \omega} = V_{\mathcal{B}} \left(1 - \frac{I_0}{I}\right) \frac{t}{\alpha} = \\ &= KI \left(1 - \frac{I_0}{I}\right) \frac{t}{\alpha} = KI \frac{5}{24n} \frac{t}{\alpha} = \frac{5}{24} \frac{KI}{n} \frac{t}{\alpha}, \end{aligned} \quad (2.2.20.)$$

სადაც:  $K$  არის ფილტრაციის კოეფიციენტი;

$n$	–	ფორიანობა;
$I$	–	დაწევის გრადიენტი;
$t$	–	მორწყვის ხანგრძლივობა;
$\alpha$	–	კულტურის მიერ დაკავებული ფართობი.

მორწყვის ნორმა ნიადაგის გარკვეულ  $A$  წყალტევადობიდან, მაქსიმალური ( $\beta_{max}$ ), მინიმალური ( $\beta_0$ ) ტენტევადობასთან და მცენარის განვითარების აქტიურ  $H$  ფენის სიღრმესთან კავშირში გამოისახება ფორმულით:

$$m = AH(\beta_{max} - \beta_0). \quad (2.2.21.)$$

ზემოთ აღნიშნულიდან გამომდინარე, შეიძლება განისაზღვროს აქტიური ფენის სიღრმე:

$$H = \frac{5}{24} \frac{KI}{n} \frac{t}{\alpha A(\beta_{max} - \beta_0)}. \quad (2.2.22.)$$

შემოთავაზებული მოდელის საფუძველზე დადგენილია აქტიური და პასიური ფორიანობის ცვლილების დიაპაზონები და ოპტიმალური მნიშვნელობები, რომელთა გათვალისწინებით წყლის ფილტრაციის პროცესში გამოყვანილია ფილტრაციის სიჩქარის, საწყისი გრადიენტისა და მორწყვის ნორმის საანგარიშო დამოკიდებულებები.

როგორც (2.2.22.) დამოკიდებულებიდან ჩანს, აქტიური ფენის სიდიდე ამ შრის ფილტრაციის კოიფიციენტის, მოქმედი გრუნტის, ფორიანობის, წყალტევადობის, მორწყვის ხანგრძლივობის, ნიადაგის მაქსიმალური წყალტევადობისა და მცენარის მიერ დაკავებული ფართობის ფუნქციას წარმოადგენს.

## 2.3. ნიადაგ-გრუნტის ფორმოვან სისიტემაში წყლის მოძრაობის სიჩქარის განსაზღვრა

თიხიან ნიადაგ-გრუნტის ფორებში, ისე როგორც სხვა დანარჩენ ფორმოვან კაპილარულ სისტემებში წყლის მოძრაობის განმაპირობებელ ფაქტორს მოქმედი ძალების ინტენსივობა, ფორმოვანი სივრცის აქსონომეტრია და წყლის რეოლოგიური მახასიათებლები წარმოადგენს. მოქმედი ძალების ინტენსივობით ხდება ფილტრაციული პარამეტრის ფორმირება და ნიადაგ-გრუნტის ნაწილაკების ხვედრით ზედაპირზე ბმული წყლის აფსკების წარმოქმნა [56]. თავისთავად არსებითი და უაღრესად მნიშვნელოვანია ოუ რა მნიშვნელობა ენიჭება ფორების დიამეტრზე გარშემორტყმულ წყლის აფსკის სისქეს, მცენარის მიერ გამოყენებული პროდუქტიული წყლის მოცულობას, საირიგაციო სისტემის ხარჯების, მორწყვის ნორმისა და სარწყავი ნორმის განსაზღვრაში. ნიადაგ-გრუნტის ფორმოვანი სისტემის ცალკეულ მილში წყლის საანგარიშო დამოკიდებულებას აქვს სახე [57]:

$$V = \frac{\partial}{\mu} n * \frac{8R^2}{A} \left( 1 - \frac{\mathfrak{I}_0}{\mathfrak{I}} \right), \quad (2.3.1)$$

სადაც:	$\partial$	არის წყლის მოცულობითი წონა ( $\text{კგ}/\text{მ}^3$ );
$\mu$	—	სიბლანტის დინამიური კოეფიციენტი $\left( \frac{\text{kg / sec}}{\text{m}^2} \right)$ ;
$n *$	—	ნიადაგ-გრუნტის ფორიანობა;
$R$	—	ფორმოვანი სისტემის მიღსადენის რადიუსი ( $\text{მ}$ );
$\mathfrak{I}$	—	სიჩქარის სრული გრადიენტი;
$\mathfrak{I}_0$	—	საწყისი ძვრის წინააღმდეგობის შესაბამისი სიჩქარის გრადიენტი;
$A$	—	კოეფიციენტია და იგი პიდრავლიკურ წინააღმდეგობის და რეინოლდცის რიცხვის ფუნქციას წარმოადგენს $A = \lambda \operatorname{Re} r^{2n}$ .

ზემოთ მოყვანილ (2.3.1) საანგარიშო დამოკიდებულებაში თუ შემოვიდებთ აღნიშვნას  $K_0 = 8R_2 \frac{n^x}{A} (1 - \frac{\mathfrak{I}_0}{\mathfrak{I}})$ , რომელსაც ფართობის განზომილება აქვს. თავისი შინაარსით იგი მიღსადენის განივი კვეთის ფართობის იმ ნაწილს წარმოადგენს, სადაც წყლის თავისუფალ დინებას აქვს ადგილი და იგი ფილტრაციის თეორიაში წყალდვრადობის კოეფიციენტის სახელწოდებით არის ცნობილი მიღსადენის წრიული კვეთის შემთხვევაში შეიძლება დავწეროთ:

$$\omega_0 = K_0 = 8R^2 \frac{\eta^*}{A} \left( 1 - \frac{\mathfrak{I}_0}{\mathfrak{I}} \right). \quad (2.3.2)$$

პ.ო.

$$\pi = 8 \frac{\eta^*}{A} \left( 1 - \frac{\mathfrak{I}_0}{\mathfrak{I}} \right). \quad (2.3.3)$$

ფილტრაციასა და ნიადაგ-გრუნტში წყლის გაჟონვის პროცესის შეფასებაში საწყისს გრადიენტს განსაკუთრებული მნიშვნელობა ენიჭება იმ თვალსაზრისით როგორია ფიზიკური რაობით იგი და ძირითადად რომელ პარამეტრთან გააჩნია მას შედარებით მჭიდრო კორელიაციური კავშირი.

ზემოთ აღნიშნულიდან გამომდინარე, (2.3.3.) დამოკიდებულების გარდაქმნებითა და გამარტივებით მივიღებთ:

$$\frac{\mathfrak{I}_0}{\mathfrak{I}} = 1 - \frac{0,392\lambda \operatorname{Re} r^{2-n}}{n^*}. \quad (2.3.4)$$

(2.3.4.) საანგარიშო დამოკიდებულებაში, როცა  $n=1$  და შესაბამისად ჰიდრავლიკური წინააღმდეგობის კოეფიციენტების მნიშვნელობა იცვლება საზღვრები  $\lambda = (0,011 \div 0,019) \approx 0,015$ -ს მივიღებთ:

$$\frac{\mathfrak{I}_0}{\mathfrak{I}} = 1 - \frac{0,0099 \operatorname{Re} r}{n^*}. \quad (2.3.5)$$

როცა  $n=2$  -ს, გვექნება:

$$\frac{\mathfrak{I}_0}{\mathfrak{I}} = 1 - \frac{0,059}{n^*}. \quad (2.3.6)$$

ხშირად, სარწყავი ფართობიდან მცენარეზე მისაწოდებელი პროდუქტიული წყალი საჭიროებს ფორმვანი სისტემის მიღსადენთა იმ რადიუსის ცოდნას, რომლის შედეგად ხდება წყლის ისეთნაირად მოდიფიცირება, რომლის დროს იგი კვაზი-მყარ სხეულის თვისებებს უახლოვდება [58, 59, 60]. ასეთ პირობებში სითხე აგლენს სრულ ანომალიას ფიზიკური კონსტანტების მიმართ. ფორმვანი სისტემის მიღსადენთა წყალგამტარიანობიდან გამომდინარე შეგვიძლია დაგწეროთ:

$$r_0 = R \left( 1 - \sqrt{\frac{2,55(1 - \mathfrak{J}_0 / \mathfrak{J})}{\lambda R}} \right). \quad (2.3.7)$$

$$\text{როცა } n=1 \quad r = R \left[ 1 - 0,04 \left( 1 - \frac{\mathfrak{J}_0}{\mathfrak{J}} \right) \right]. \quad (2.3.8)$$

$$\text{როცა } n=2 \quad r = R \left[ 1 - \sqrt{\frac{2,55}{\lambda} \left( 1 - \frac{\mathfrak{J}_0}{\mathfrak{J}} \right)} \right]. \quad (2.3.9)$$

პირველ საანგარიშო დამოკიდებულებაში ფილტრაციის კოეფიციენტსა და წყალეონგილობის კოეფიციენტს შორის კავშირს აქვს სახე:

$$K = K_0 \frac{\partial}{\mu}. \quad (2.3.10)$$

(2.3.10) დამოკიდებულებიდან შეიძლება განსაზღვრული იქნას მიღსადენის რადიუსი ფილტრაციის კოეფიციენტთან კავშირში:

$$\text{როცა } n=1 \quad R = \sqrt{8 \frac{\mu}{\partial} \frac{K}{(1 - \mathfrak{J}_0 / \mathfrak{J}) n^*}}. \quad (2.3.11)$$

$$\text{როცა } n=2 \quad R = \sqrt{\lambda \frac{\mu}{K} \frac{K}{8(1 - \mathfrak{J}_0 / \mathfrak{J}) n^*}}. \quad (2.3.12)$$

აგრეთვე მიღსადენის რადიუსი შეიძლება განსაზღვრული იქნას წყალეონგადობის კოეფიციენტთან კავშირში.

$$\text{როცა } n=1 \quad R = \sqrt{\frac{8K_0}{(1-\mathfrak{J}_0/\mathfrak{J})n^*}}. \quad (2.3.13)$$

$$\text{როცა } n=2 \quad R = \sqrt{\lambda \frac{K_0}{(1-\mathfrak{J}_0/\mathfrak{J})n^*}}. \quad (2.3.14)$$

მიღებული მიღსადენების რადიუსის საანგარიშო  
დამოკიდებულების მიხედვით საწყისი ძვრის წინააღმდეგობის  
შესაბამისი ექვივალენტური რადიუსი შეიძლება განსაზღვრული იქნას  
შემდეგი დამოკიდებულებებით.

როცა ცნობილია ფილტრაციის პოეფიციენტი:

$$\text{როცა } n=1 \quad r_0 = \sqrt{\frac{\mu}{\partial} \frac{K}{(1-\mathfrak{J}_0/\mathfrak{J})n^*} \left[ 1 - 0,004 \left( 1 - \frac{\mathfrak{J}_0}{\mathfrak{J}} \right) \right]}. \quad (2.3.15)$$

$$\text{როცა } n=2 \quad r_0 = \sqrt{\lambda \frac{\mu}{\partial} \frac{K}{(1-\mathfrak{J}_0/\mathfrak{J})n^*} \left[ 1 - \sqrt{\frac{2,55}{\lambda} \left( 1 - \frac{\mathfrak{J}_0}{\mathfrak{J}} \right)} \right]}. \quad (2.3.16)$$

წყალეონგადობის პოეფიციენტთან კავშირში:

$$\text{როცა } n=1 \quad r_0 = \sqrt{\frac{8K_0}{(1-\mathfrak{J}_0/\mathfrak{J})n^*} \left[ 1 - 0,04 \left( 1 - \frac{\mathfrak{J}_0}{\mathfrak{J}} \right) \right]}. \quad (2.3.17)$$

$$\text{როცა } n=2 \quad r_0 = \sqrt{\lambda \frac{K_0}{(1-\mathfrak{J}_0/\mathfrak{J})n^*} \left[ 1 - \sqrt{\frac{2,55}{\lambda} \left( 1 - \frac{\mathfrak{J}_0}{\mathfrak{J}} \right)} \right]}. \quad (2.3.18)$$

მიღსადენში წყლის მოძრაობის საშუალო სიჩქარის დამოკიდებულებას  
აქვს სახე:

$$V = \frac{\partial \mathfrak{J} R^2}{8\mu} = \frac{K \mathfrak{J}}{(1-\mathfrak{J}_0/\mathfrak{J})n^*}. \quad (2.3.19)$$

რადგან მიღსადენში წყლის თანაბარი მოძრაობის სიჩქარე  
 $V = C\sqrt{R\mathfrak{I}}$  (2.3.16.) დამოკიდებულება როცა  $n=1$  მიიღებს სახეს:

$$C^* = \sqrt[4]{\frac{\partial}{8\mu n^*} \left( \frac{K}{1 - \frac{\mathfrak{I}_0}{\mathfrak{I}}} \right)^3 \mathfrak{I}^0} . \quad (2.3.20)$$

ხოლო როცა  $n=2$

$$C = \frac{C^* \lambda \sqrt{\lambda}}{8} . \quad (2.3.21)$$

(2.3.20) და (2.3.21) საანგარიშო დამოკიდებულებით შეიძლება განსაზღვრული იქნას სიჩქარის კოეფიციენტის სიდიდე.

როგორც მიღებული დამოკიდებულებების ანალიზი გვიჩვენებს, სიჩქარის კოეფიციენტი პირდაპირპოპორციულ დამოკიდებულებაშია წყლის მოცულობითი წონის, ფილტრაციის კოეფიციენტის, საწყისი და სრული გრადიენტის სიდიდესთან, ხოლო ფორიანობისა და სიბლანტის დინამიკური კოეფიციენტის გაზრდით იგი მცირდება.

## 2.4. ნიადაგის ტენის რეგულირება სარწყავ მიწათმოქმედებაში

ნიადაგის აქტიურ ფენაში წყლის მოძრაობასთან დაკავშირებით ფილტრაციულ კაპილარული ანომალიების წარმოშობა ხშირად ნიადაგის პიდროვიზიკური თვისებების ცვალებადობის მიზეზი ხდება და პიდროვკოლოგის ერთ-ერთ ძირითად ამოცანას წარმოადგენს.

ზემოთ აღნიშნულიდან გამომდინარე, ზედაპირული მოვლენების გათვალისწინება პროცესის არსში შესაძლებლობას მოგვცემს ნიადაგის აქტიურ ფენაში ტენიანობის დინამიკის შესწავლასთან ერთად მოხდეს მიკრობიოფიზიკური პროცესების პროგნოზირება. ეს საკითხი კიდევ უფრო დიდ ინტერესს იწვევს მრავალკომპონენტიან ფორმან-კაპილარულ თიხა-გრუნტებში, რომლებიც განასაკუთრებული პიდროვიზიკური პროცესებით და ანომალიების ფართო სპექტრით არის წარმოდგენილი. აქედან გამომდინარე, პიდროვეოლოგიური საანგარიშო პარამეტრების, კურძოდ, ნიადაგ-გრუნტების ფორებში წყლის მიგრაცია,

მოძრაობის კანონზომიერება და ტენის რეგულირება მოითხოვს როგორც მთელი რიგი პიდროვიზიკური თვისებების ცვალებადობის კანონზომიერების ცოდნას, ასევე რეოლოგიური ინდექსის განსაზღვრას.

როგორც არსებული პვლევები ადასტურებს, თიხა ნიადაგ-გრუნტებში ფილტრაციული პროცესის კანონზომიერება ვერ თავსდება ნიუტონისებური სითხეებისათვის დამახასიათებელი კანონის ჩარჩოებში და თავისთავად მოვლენის ფიზიკური სურათის ასახვისათვის უფრო ზოგადი მოდელების გამოყენების, კერძოდ ფილტრაციის სიჩქარესა და პიდრავლიკურ ქანობს შორის დარსის ხაზოვანი კანონისაგან განსხვავებული მოდელის გამოყენების აუცილებლობაზე მიუთითებს [61, 62, 63].

უნდა აღინიშნოს, რომ დღემდე არსებული ყველა ფილტრაციული სარჯის საანგარიშო დამოკიდებულება, კერძოდ არხებში, კაშხლებიდან, ზღუდარებიდან, პიდროტექნიკურ ნაგებობების ფუძეებიდან უპირატესად ფილტრაციის ხაზოვან კანონს ემყარება. არსებული წარმოდგენებით ანომალიური ფილტრაცია ემყარება პოსტულატს, რომლის მიხედვით სითხეს თავისუფალ მოცულობაში გააჩნია წინააღმდეგობა ძვრის დეფორმაციის მიმართ საწყისი გრადიენტის სახით.

ნაკადის მოძრაობის მიმართულების მართობ სიბრთყეში მხები ძაბვების განაწილების ხაზოვანი კანონიდან, *r* რადიუსიანი “თხევადი მორის” გვერდით ზედაპირზე მოქმედი წინადობის (ხახუნის) ძალის და ტიხარებზე მოქმედი წნევის ძალების წონასწორობის პირობიდან გამომდინარე საწყისი ძვრის წინააღმდეგობის ძაბვა შეიძლება განისაზღვროს  $\Delta O A_1 B_1$  და  $\Delta O A B$ -ს სამკუთხედების მსგავსობის საფუძველზე [64]:

$$\tau_0 = \gamma i r. \quad (2.4.1)$$

კაპილარში სითხის მოძრაობასთან ხარისხობრივი მოდელის გამოყენებით, გვექნება:

$$\tau = \tau_0 + K \left( \frac{du}{dy} \right)^n. \quad (2.4.2)$$

მხები ძაბვის ვერტიკალზე განაწილების შესაბამისად, შეგვიძლია დაგწეროთ:

$$\gamma(R - y - r) = K \left( \frac{du}{dy} \right)^n. \quad (2.4.3)$$

(2.4.3) განტოლების ინტეგრებით კაპილარში სიჩქარის გერტიკალზე განაწილებას ექნება შემდეგი სახე:

$$V_y = \left( \frac{\gamma i}{K} \right)^{\frac{1}{n}} \frac{n}{n+2} \left[ (R - r)^{\frac{n+1}{n}} - (R - r - y)^{\frac{n+1}{n}} \right]. \quad (2.4.4)$$

როცა  $y = R - r$ , სიჩქარის მაქსიმალური მნიშვნელობა იქნება:

$$V_{max} = \left( \frac{\gamma i}{K} \right)^{\frac{1}{n}} (R - r)^{\frac{n+1}{n}}. \quad (2.4.5)$$

ადგილობრივი სიჩქარის მაქსიმალურთან ფარდობა იქნება:

$$\frac{V_y}{V_{max}} = 1 - \left( 1 - \frac{y}{R - r} \right)^{\frac{n+1}{n}}. \quad (2.4.6)$$

საშუალო სიჩქარე კაპილარულ მიღმი უწყვეტობის პირობიდან განისაზღვრება და შემდეგი სახე აქვს:

$$V_{avg} = \frac{n}{n+1} \left( \frac{\gamma i}{K} \right)^{\frac{1}{n}} (R - r)^{\frac{n+1}{n}} \left( 1 - \frac{n}{2n+1} \frac{R - r}{R} \right), \quad (2.4.7)$$

სადაც:

- n*** – არის მოძრაობის ინდექსის მაჩვენებელი;
- γ*** – წყლის მოცულობითი წონა;
- K*** – კონსისტენციის კოეფიციენტი;
- R*** – კაპილარის მილის რადიუსი;
- r*** – სველი “მორის” რადიუსი.

(2.4.7) დამოკიდებულება შინაარსობრივ განსხვავებულია ყველა სხვა ანალოგიური და კერძოდ თიხის სუსპენზიებისთვის მიღებული დამოკიდებულებებისაგან [65]. როგორც (2.4.7) დამოკიდებულების ანალიზი გვიჩვენებს, აქ ერთ-ერთ სირთულეს მოძრაობის ინდექსის მაჩვენებლის განსაზღვრის საკითხი წარმოადგენს, და იგი სპეციალური კვლევების ჩატარებას საჭიროებს.

საკითხის გადაწყვეტის მიზნით, სიჩქარის ეპიურიდან გამომდინარე დაშვების საფუძველზე საგრადიენტო მრეში თუ განაწილებას აღვწერთ პარაბოლის განტოლებით, გვექნება:

$$Y = \alpha V_y^2 \quad (2.4.8)$$

სიჩქარის ეპიურის ფართობი შემდეგ სახეს მიიღებს:

$$S = V_{max} \left( 1 - \frac{R - r}{3R} \right). \quad (2.4.9)$$

(2.4.9) და (2.4.7) დამოკიდებულებების გატოლებით მოძრაობის ინდექსის მაჩვენებელი, როცა სიჩქარის ვერტიკალზე განაწილების პარაბოლას სახე აქვს  $n = 1$ . ე.ი. როცა  $n$ -ის მნიშვნელობა უტოლდება 1-ს, ხდება არანიუტონური სითხის მოძრაობის შეედოვ-ბინგამის ბლანტ-პლასტიკურ მოდელში გარდასახვა.  $n$ -ის მნიშვნელობის გათვალისწინებით საშუალო და მაქსიმალური სიჩქარეების ფორმულებში ფარდობა  $V_{avg}/V_{max}$  ტოლი იქნება:

$$\frac{V_{avg}}{V_{max}} = 1 - 0.33 \frac{R - r}{R}. \quad (2.4.10)$$

სიჩქარის ხარისხობრივი ფუნქციის საანგარიშო მოდელში, თუ გავითვალისწინებთ  $n$ -ის მნიშვნელობას, შესაბამისად საშუალო და მაქსიმალური სიჩქარეთა მნიშვნელობები ტოლი იქნება:

$$V_{avg} = \frac{1}{2} \frac{\gamma i}{\mu} R^2 \left( 1 - \frac{r}{R} \right)^2 \left( 1 - \frac{1}{3} \frac{R - r}{R} \right). \quad (2.4.11)$$

$$V_{max} = \frac{1}{2} \frac{\gamma i}{\mu} (R - r)^2 \left( 1 - \frac{r}{R} \right)^2. \quad (2.4.12)$$

ცილინდრული ნიმუშის დერძის ორთოგონალურ სიბრტყეში განლაგებული  $x$  რაოდენობის წყალგამტარი მილების შემთხვევაში მთლიანი ხარჯი იქნება:

$$Q = V_{avg} \pi (R - r)^2 x. \quad (2.4.13)$$

თუ მე-(79) განტოლებას შევიტანო მე-(81)-ში, მივიღებთ:

$$Q = \frac{\pi \gamma i}{2\mu} R^2 \left( 1 - \frac{r}{R} \right)^2 \left( 1 - \frac{1}{3} \frac{R - r}{R} \right). \quad (2.4.14)$$

როცა კაპილარულ მილში სიჩქარე ფილტრაციული სიჩქარის ტოლია ე.ი.:

$$V_F = \frac{\gamma i R^2}{2\mu} = KI. \quad (2.4.15)$$

**x** მიღსადენის შემთხვევაში:

$$Q = V_F \pi R^2 x \left(1 - \frac{r}{R}\right)^4 \left[1 - \frac{1}{3} \frac{R-r}{R}\right]. \quad (2.4.16)$$

თუ გავითვალისწინებთ, რომ წარმოდგენილი იდეალური მოდელის გამოყენებით ფილტრაციის სიჩქარეს სახე აქვს:

$$V_F = K(I - I_0), \quad (2.4.17)$$

მაშინ ხარჯი ტოლი იქნება:

$$Q = K(I - I_0)\omega. \quad (2.4.18)$$

როცა წყლის სიჩქარე ფილტრაციის სიჩქარის ტოლია ფილტრაციის კოეფიციენტის საანგარიშო დამოკიდებულება მიიღებს სახეს:

$$K = \frac{\gamma R^2}{2\mu} \left(1 - \frac{r}{R}\right)^4 \left(1 - \frac{1}{3} \frac{R-r}{R}\right). \quad (2.4.19)$$

როცა  $r = 0$ , მე-87) საანგარიშო დამოკიდებულებას ექნება სახე:

$$K = 0.08 \frac{\rho gr^2}{\mu}. \quad (2.4.20)$$

როცა  $r = R$ , მაშინ  $K = 0$ .

რადგან **x**-ს მიღსადენისთვის ხარჯს აქვს სახე:

$$Q = V_F \pi R^2 x \left(1 - \frac{r}{R}\right) \left(1 - \frac{1}{3} \frac{R-r}{R}\right). \quad (2.4.21)$$

სთუ (2.4.18) დამოკიდებულებას გავუტოლებთ (2.4.21)-ს ფარდობა საწყის გრადიენტსა და სიჩქარის გრადიენტს შორის ტოლი იქნება:

$$\frac{I_0}{I} = 1 - n \left(1 - \frac{r}{R}\right)^2 \left(1 - \frac{1}{3} \frac{R-r}{R}\right). \quad (2.4.22)$$

მიღებული (2.4.22) საანგარიშო დამოკიდებულებიდან ნათლად ჩანს, რომ საწყისი გრადიენტის ფარდობა სრულ გრადიენტთან ფორიანობის ფუნქციას წარმოადგენს და მისი გაზრდით ფარდობა მცირდება.

### თავი III

## რესურსადამზობი ტექნოლოგიების რწყვის რეზისუ ბაზების საგელე-ექსპრიმენტული პლატა

### 3.1. საგელე კვლევების ჩატარების მეთოდიკა

მცენარის ზრდა განვითარების პროცესში უამრავი შიდა და გარე ფაქტორთა შორის წყალს როგორც ერთ-ერთ აუცილებელ კომპონენტს პრიორიტეტული მნიშვნელობა გააჩნია. აქედან გამომდინარე, რწყვის რეჟიმის ოპტიმალური პარამეტრების შერჩევას წყლის დეფიციტის პირობებში განსაკუთრებული მნიშვნელობა ენიჭება [66, 67, 68, 69, 70, 71].

სადისერტაციო ნაშრომის მიზნებიდან გამომდინარე კვლევის ობიექტს წარმოადგენდა საქართველოს ნახვრად არიდულ რეგიონში განლაგებული სასოფლო-სამეურნეო სავარგულები.

საცდელ ნაკვეთზე გავრცელებულია მდელოს ყავისფერი ნიადაგი, რომელიც ხასიათდება მძიმე თიხნარი მექანიკური შემადგენლობით და ფიზიკური თიხის მაღალი შემცველობით (70% მეტი) [72].

ჰაერის საშუალო მრავალწლიური ტემპერატურა პოლიგონის ტერიტორიაზე 11<sup>0</sup> აღემატება. საგეგეტაციო პერიოდის ხანგრძლივობა 210 დღეს, აქტიურ ტემპერატურათა ჯამი 3000<sup>0</sup>C-ს, რაც ბოსტნეული კულტურების სითბოთი უზრუნველყოფაზე მიგვითოთებს [73].

დიდი მის საცდელი მეურნეობის ტერიტორიაზე მოსული ატმოსფერული ნალექების რაოდენობა მცირეა და 505 მმ-ს შეადგენს, დაგენიანების კოეფიციენტი ივლისი-აგვისტოს თვეებში 0,29 და 0,19 შეადგენს, რაც იმის მაჩვენებელია, რომ ზაფხულში ადგილი აქვს ძლიერ გვალვას და ბოსტნეული კულტურების მოსავლის მაღიმიტებელ ძირითად ფაქტორს მორწყვა წარმოადგენს.

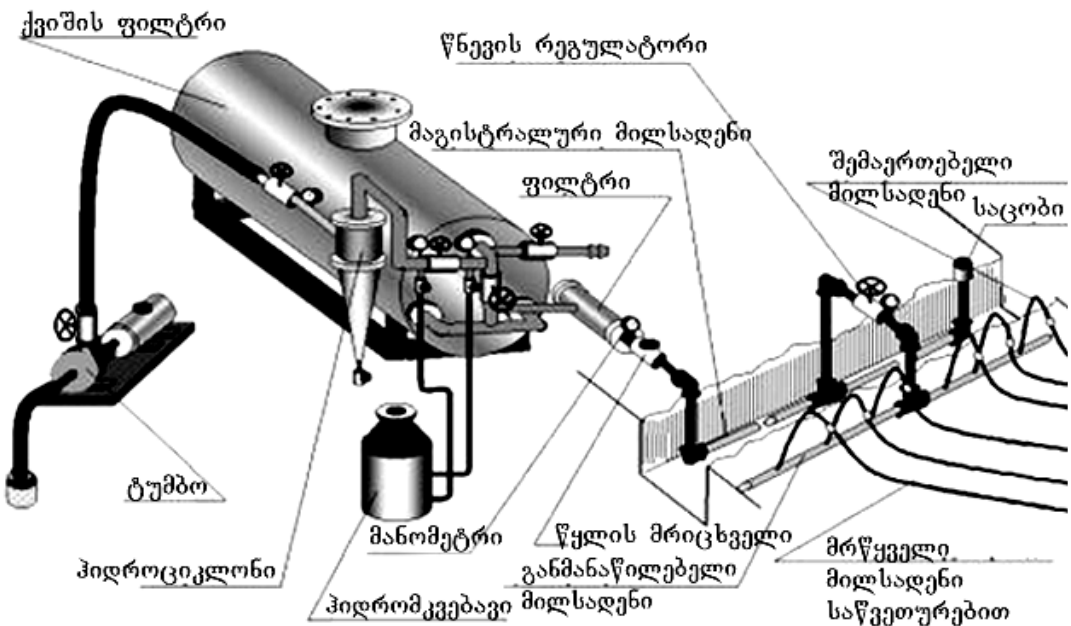
ვინაიდან, წვეთური მორწყვა რწყვის ერთ-ერთი პროგრესული ხერხია მშრალ კლიმატურ ზონაში ბადების, ვენახების, ბოსტნეულისა

და ფართო რიგთაშორისი მინდვრის კულტურების მოსარწყავად, ამიტომ, როგორც რესურსდამზოგი ტექნოლოგია, ჩვენს მიერ გამოყენებულ იქნა შავი პოლიეთილენის აფსკით მულჩირების მეთოდი წვეთურ მორწყვასთან ერთად რომელთა კომპლექსურად მოქმედების შემთხვევაში შესაძლებელია ნიადაგის წყლის და ტემპერატურის რეჟიმების საიმედო რეგულირება [74].

ზოგადად, წვეთურ სარწყავ სისტემაში, სარწყავ მიღსადენებს შორის მანძილი დამოკიდებულია მცენარეთა რიგებს შორის მანძილზე. ხოლო მიღსადენების რიგებში 40-50 მ-დან 200 მეტრამდე შეიძლება მერყეობდეს. სარწყავი მიღსადენების დიამეტრი 6-20 მმ-ს შეადგენს, ხოლო მწვეთების განლაგების სიხშირე ნიადაგის სახეზეა დამოკიდებული მაგალითად თიხნარებში იგი 2,0 – 2,5 მ-ს შეადგენს, ხოლო ქვიშნარებში 1,2-1,5 მ-ს მწვეთარის ხარჯის ცვლილების დიაპაზონით 0,9–7,6 /ს-თ საზღვრებშია მოთავსებული. ასეთი ხერხით რწყვა სავაგეტაციო პერიოდში განუწყვეტლივ მიმდინარეობს, ხოლო სისტემის პროფილაქტიკისათვის შესვენებები შეიძლება განხორციელდეს 100-200 საათი მუშაობის გასვლის შემდეგ.

ქვიშნარ ნიადაგებში უფრო ეფექტურია რწყვის წარმოება ყოველდღიურად ან დღეგამოშვებით, ხოლო თიხა ნიადაგებში – კვირაში ორჯერ. უმეტეს შემთხვევაში მიზანშეწონილია ყოველდღიურად ერთხელ მორწყვა. განუწყვეტელი რწყვის აუცილებლობა იშვიათია-მხოლოდ გამომშრალი ნიადაგის გასატენიანებლად ზღვრულ ტენტევადობამდე. წყლის მიწოდება მცენარეზე ზუსტად უნდა ეთანაბრებოდეს მის მიერ ყოველდღიურ წყალმოორგნილებას [75, 76].

რწყვის ნორმა და ხანგრძლივობა, ჩვეულებრივ, განისაზღვრება წინა დღის ან წინა ხუთდღიურის (კვირის) აორთქლების მიხედვით. მისაწოდებელი წყლის რაოდენობა შეადგენს ევაპოტრანსპირაციის (შესაძლებელი მაქსიმალური ჯამური აორთქლების) 60-70%-ს, ვინაიდან ნიადაგიდან აორთქლება თითქმის გამორიცხულია და წყალი ძირითადად ტრანსპირაციაზე იხარჯება.



ნახ. 3.1.1. წვეთური მორწყვის სისტემის სქემა.

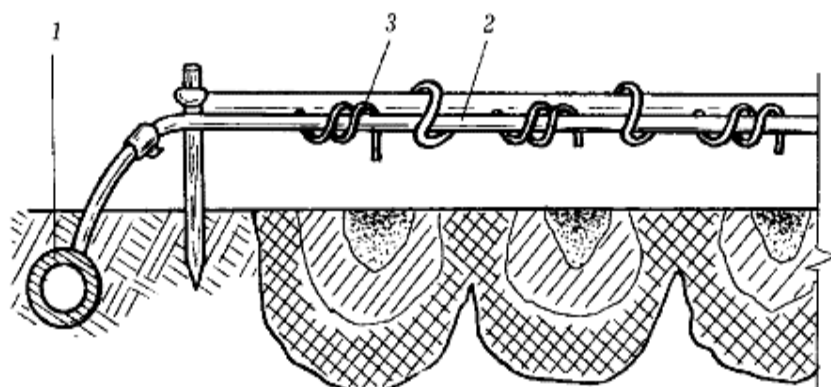
წვეთური მორწყვის სისტემა ზოგადად შედგება შემდეგი ძირითადი ელემენტებისაგან (ნახ. 3.1.1.): წყალმიმღები და დაწწევის შემქმნელი კვანძები, ფილტრი, მართვის პულტი, მაგისტრალური განმანაწილებელი და სარწყავი მილსადენები, მწვეთარები, რწყვის მოთხოვნილების გადამწოდი, სამართავი არმატურა, მართვის პულტსა და სამართავ არმატურას შორის კავშირის არხები.

სისტემაში წყლის მიწოდება და საჭირო დაწწევის შექმნისათვის უფრო ხშირად გამოიყენება მცირე სიმძლავრის ცენტრიდან ული ტუმბოები. საჭირო დაწწევის შემთხვევაში იცვლება 7-28 მ-ის ფარგლენში. სისტემა კარგად მუშაობს დაბალი დაწწევის პირობებში. ამ შემთხვევაში შეიძლება გამოყენება უფრო იაფი მიღებისა და დიდ დიამეტრიანი მწვეთარების, რომლებიც ნაკლებად ნაგვიანდება, მაგრამ, მეორე მხრივ, დაბალი დაწწევის დროს მისმა მცირეოდენმა ცვლილებამ შეიძლება გამოიწვიოს მწვეთარას ხარჯის მკვეთრი ცვლილება და აქედან გამოდინარე, რწყვს ტექნიკის ელემენტების შეუსაბამობა.

წვეთური რწყვის ტექნიკის ელემენტებს მიეკუთვნება: გატენიანების კერა, გატენიანებული ლაქა მიწის ზედაპირზე, გატენიანების კონტური, მწვეთარას ხარჯი, გატენიანების კერაში

წყლის მიწოდების წერტილების განლაგების სქემა და რაოდენობა, მწვეთარების მიერ სარწყავი წყლის განაწილების სითანაბრე, მწვეთარების განლაგება სარწყავ ფართობზე, გატენიანების ფართობი და სხვ.

გატენიანების კერა განისაზღვრება გატენიანებული ლაქის სიდიდით მიწის ზედაპირზე და გატენიანების კონტურის სიღრმით. გატენიანების კერის ფორმა და ზომები დამოკიდებულია ნიადაგის პიდროვიზიკურ თვისებებზე, რწყვის წინა ტენიანობაზე, მიწოდებული წყლის ხარჯზე, რწყვის ხანგრძლივობაზე, აორთქლების ინტენსივობაზე, წყლის მიწოდების წერტილების განლაგებაზე გატენიანების კერაში. გატენიანების დამახასიათებელი კონტურები ნაჩვენებია ნახაზზე 3.1.2.



ნიადაგის გატენიანების პირობითი ნიშნები



სუსტი



საშუალო



უდიდესი

ნახაზი 3.1.2. წვეთური მორწყვის სისტემის სქემა.

1. განმანაწილებელი მილსადენი;
2. სარწყავი მილსადენი;
3. საწვეთურები

წვეთური მორწყვის დადებით მხარეს წარმოადგენს:

- წყლით მცენარის განუწყვეტელი მომარაგების შესაძლებლობა მოთხოვნილერბის შესაბამისად, მნიშვნელოვანი გადახრების გარეშე, რაც უზრუნველყოფს მცენარის ზრდა-

განვითარებისათვის საუკეთესო წყლოვან, საჭარო, კვებით და მიკრობიოლოგიური რეჟიმების შექმნას და მოსავლიანობის გადიდებას (20-60%-ით);

- სარწყავი წყლის მნიშვნელოვანი ეკონომია - საშუალოდ 50 % და წვიმებასთან შედარებით და 2-3-ჯერ ზედაპირულ მორწყვასთან შედარებით, დახარჯული წყლის ერთეულზე მეტად მაღალი მოსავლის მიღების შესაძლებლობა;
- ნიადაგის ლოკალური გატენიანება მხოლოდ ფესვთა სისტემის გავრცელების ზონაში, რაც ადგილებს მშრალად დარჩენილი მწერივთაშორისების მექანიზებულ დამუშავებას და ამასთან ერთად ზღუდაგს სარეველა მცენარეების გავრცელებას;
- არაა აუცილებელი ფართობის ზედაპირის მოშანდაკება და შესაძლებელია ციცაბო ფერდობების მორწყვა ისე, რომ ეროვნის საშიშროება არ იქმნება;
- რწყვის სრული ავტომატიზაციის შესაძლებლობა;
- მორწყვასთან ერთად სასუქებისა და პესტიციდების ლოკალურად შეტანა ნიადგში (ფერტიგაცია) მცირე დოზებით, საჭირო ვადებში, განაპირობებს მათი კარგად შეთვისებას და ეკონომიას;
- ადგილია მოწყობილობის ექსპლუატაცია და რემონტი;
- არაა აუცილებელი დრენაჟი;
- არა აქვს ადგილი მცენარის მექანიკურ დაზიანებას.

წვეთური მორწყვის გამოყენება პირველ რიგში რეკომენდირებულია შემდეგ პირობებში:

- რთულ რელიეფიან რაიონებში (მთიან, მთისწინა);
- ძლიერგამტარ ნიადაგებში (მსუბუქი მექანიკური შედგენილობის, ქვიანი და ა.შ.);
- არიდულ და ნახევრად არიდულ ზონებში;
- წყლის მწვავე დეფიციტიან რაიონებში;
- მაღალშემოსავლიანი კულტურებისთვის - ხეხილის, ვენახის, კენკროვნების, ციტრუსების და ა.შ. ძირითადად მრავალწლიანი ნარგავებისათვის;

- მელიორაციის ხელსაყრელ მიწებზე, როდესაც დამლაშებას არა აქვს ადგილი და სარწყავი წყალი არაა მნიშვნელოვნად მინერალიზებული.

ჩვენს მიერ საველე კვევების ჩასატარებლად შერჩეული იქნა დიღმის ექსპერიმენტული პოლიგონი, რომელიც 0,06 ჰა ფართობზე იყო განლაგებული.

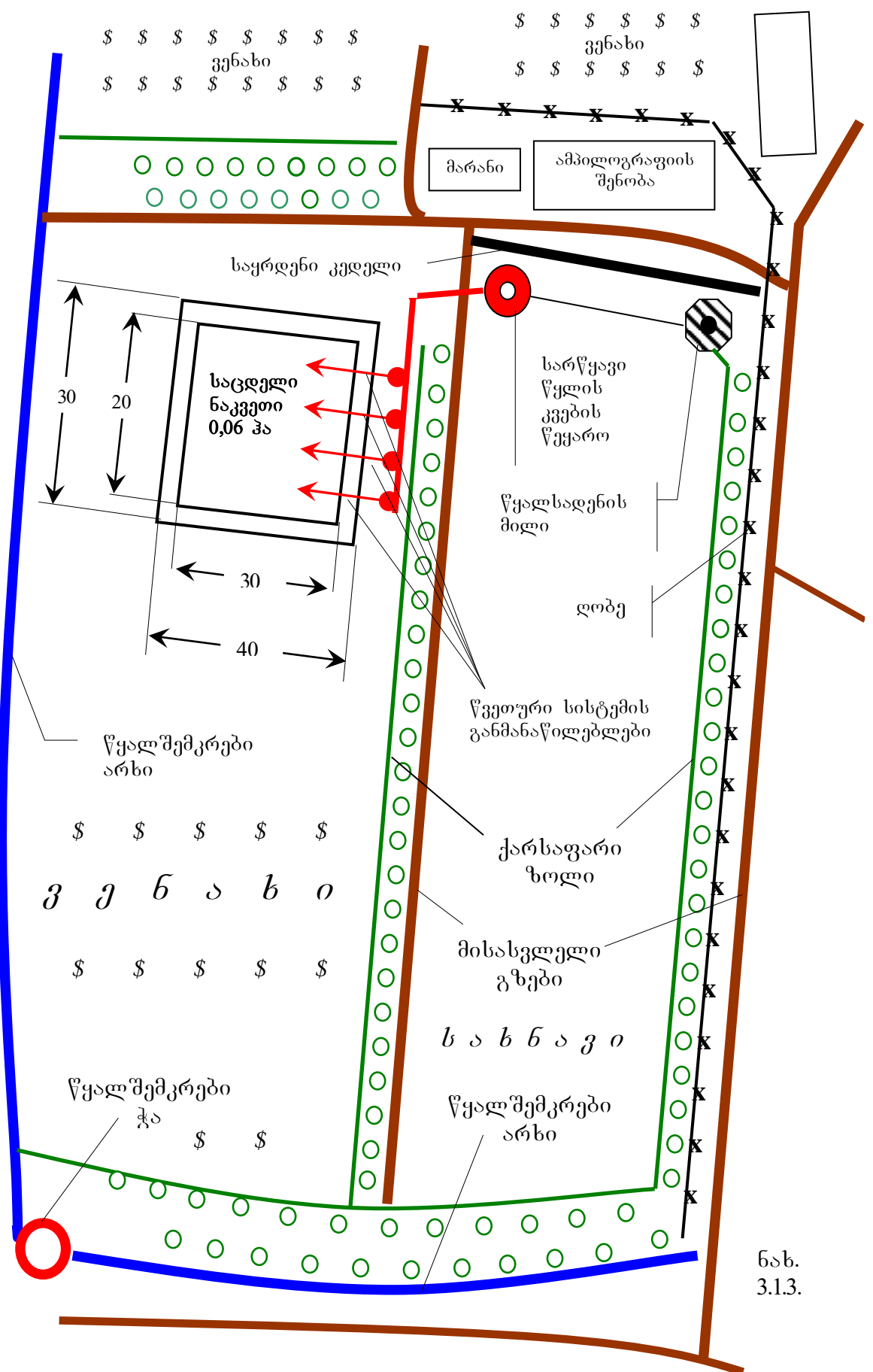
წვეთური მორწყვის სისტემა შედგებოდა მაგისტრალური, განმანაწილებლები და სარწყავი მიღებისგან. სარწყავი სისტემის კვების წყაროდ გამოყენებული იყო მიღების გამავალი ხარჯი.

სარწყავი ქსელის გეგმაში განლაგების მიზანით შერჩეული იქნა ნაკვეთის ადგილმდებარეობა და შესაბამისად ტოპოგრაფიულ გადაღების საფუძველზე დადგენილი იქნა ფართობის რელიეფური პირობები (ნახ. 3.1.3), შესაბამისად ქსელის განლაგების თვალსაზრისით შერჩეული იქნა საპროექტო კულტურები პამიდორისა და ნესვის სახით.

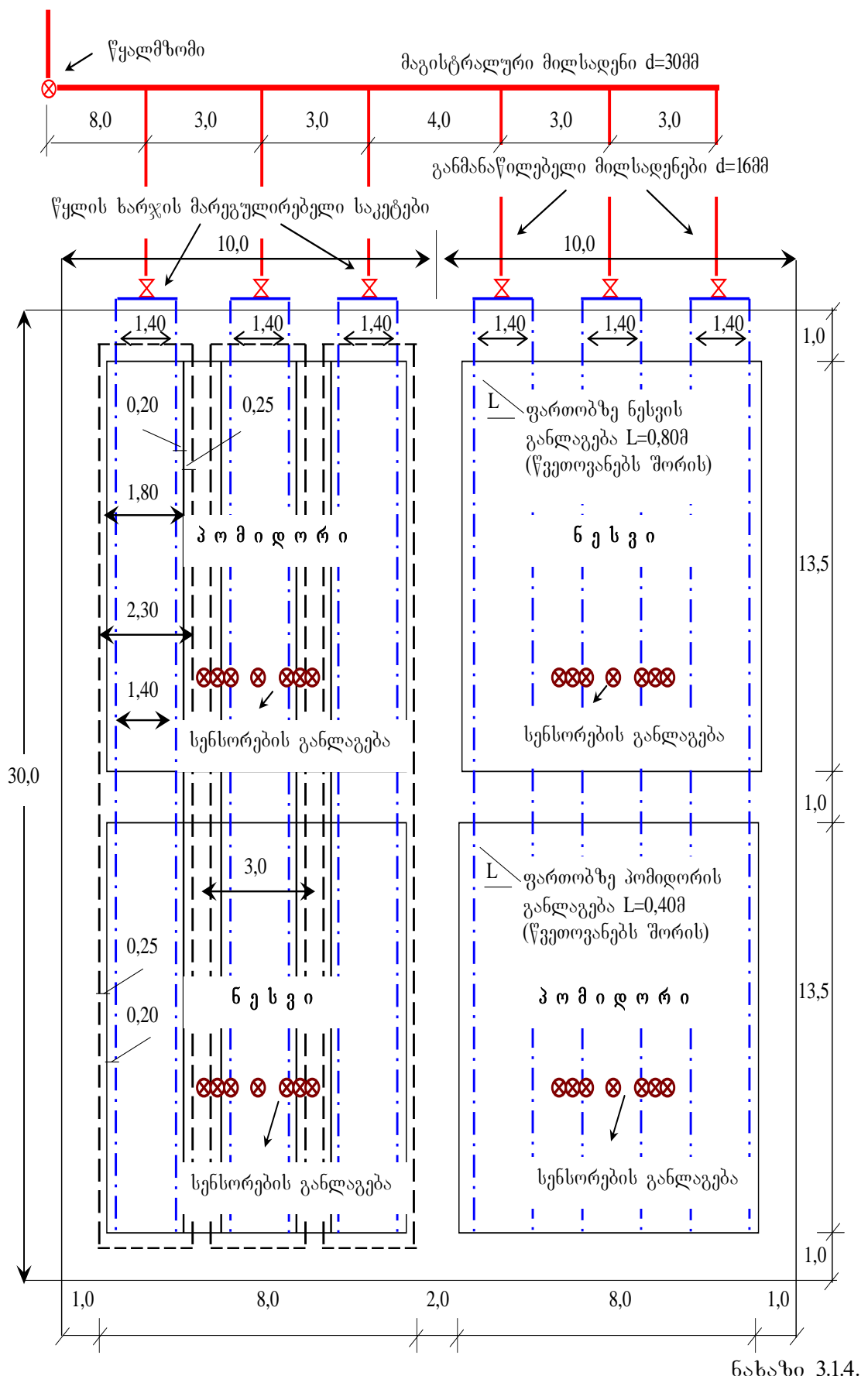
სარწყავი ქსელი წარმოდგენილი იყო ჩიხური სქემით (ნახ. 3.1.4.) ხოლო მაგისტრალური მიღები - პოლიეთილენის მიღებით. იყო წარმოდგენილი.

სარწყავი წყლის ოპტიმალურად გამოყენების მიზნით ექსპერიმენტული პოლიგონის ფართობის გარკვეული ნაწილი დათმობილი იყო რესურსმზოგი ტექნოლოგიებით ნიადაგის პოლიეთილენის აფსკით დაფარვას, რომელთა ნაპირების ფიქსირება ძირითადად ნიადაგის მიყრით იყო გათვალისწინებული, ხოლო პერფორაცია მის ფართობზე განფენის შემდეგ არის გასათვალისწინებელი. მაგისტრალური მიღების სიგრძე, რომლის დიამეტრიც  $50$  მმ-შეადგენდა იყო  $100$  მ-ის ტოლი, ხოლო ქანობა  $i = 0,0768$ . მიღების საწვეთურებით, რომლის დიამეტრიც შეადგენდა  $16$  მმ-ს საცდელ პოლიგონზე  $12$  ზოლით იყო წარმოდგენილი  $L=12 \cdot 30=360$  მ-ს მიღების კედლის სისქე  $0,6$  მმ, ხოლო საწვეთურის ხარჯი  $Q = 1,1$  ლ/სთ. საწვეთურის შორის მანძილი  $0,4$  მ-ს თითოეულ მიღების განლაგებული იყო  $75$  საწვეთური.

ექსპერიმენტული პოლიგონის ადგილმდებარეობის სქემა



# წვეთური მორწყვის სისტემის განლაგება ექსპერიმენტულ პოლიგონზე



მორწევის სისტემით აღჭურვილი იყო 0,06 კა ფართობი, რომელიც დაყოფილი იყო 4 ნაწილად. თითოეული ნაწილი შეადგენდა 0,015 კა-ს. მიღები ერთმანეთიდან დამორებული იყო 1,4 მ-ს მანძილით. პოლიგონის მთლიანი 0,06 კა ფართობიდან შავი პოიეთიენის აფსკით მულტირებული იყო 0,03 კა ფართობი, აქედან პომიდორს ეკავა 0,015 და ნესვს 0,015 კა ფართობი. კულტურებით ასეთივე განლაგებას აღგილი ჰქონდა არამულტირებულ ფართობზე.

კვლევების მიზნებისა და ამოცანების მიხედვით ნიადაგის ტენიანობის განსაზღვრა ხდება სახნავის ფენის სხვადასხვა შრეებზე ან ფესვთა სისტემის განვითარების მთელ სიღრმეზე მცენარეთა განვითარების ფაზების ან აგროტექნიკური დონისძიებების განხორცილების ეტაპების მიხედვით.

არსებობს ნიადაგის ტენის განსზღვრის რამდენიმე მეთოდი, რომელთა შორის საჯმაოდ მარტივი და ხელმისაწვდომი წონითი მეთოდია.

ამ შემთხვევაში ტენიანობის განსაზღვრავად ნიადაგის ნიმუშების ადება ველზე ხდება სპეციალური ნემსა ბურღით, რომლის მეშვეობით აღწევენ ნიადაგის შრის სასურველ სიღრმემდე. ჩაღმავების დონის ფიქსაცია ხდება ბურღის გარე მხარეზე დატანილი ნიშნულებით. ამის შემდეგ ხდება ბურღის 1-2 ჯერ დატრიალება საათის ისრის მიმართულებით და მისი ამოღება ნიადაგიდან მასში მოთავსებული ნიადაგითურთ, რომელსაც ათავსებენ წინასწარ აწონილ ჭიქაში, ახურავენ თავსახურს და წონიან. თუ საველე პირობებში არ არის მისი აწონის საშუალება, მაშინ იგი სასწრაფოთ გადააქვთ ლაბორატორიაში და წონიან სასწორზე 0,01 გრ. სიზუსტით [77, 78].

ამის შემდეგ ჭიქას ხდიან ხუფს და ათავსებენ საშრობ კარადაში გამოსაშრობად. გამოშრობა ხორციელდება  $105^{\circ}\text{C}$ -ზე მუდმივ წონამდე.

ქვიშა ნიადაგების გამოშრობა შეიძლება განხორციელდეს  $150\text{-}160^{\circ}\text{C}$ -ზე. გამოშრობის ხანგრძლივობა დამოკიდებულია ნიადაგის ტენიანობასა და საშრობ კარადაში არსებულ ტემპერატურაზე.

ნიადაგის პირველი აწონვა ხორციელდება 6 საათიანი გამოშრობის შემდეგ. რისთვისაც ჭიქები ნიადაგით გამოაქვთ

საშრობი კარადიდან, ახურებენ სახურავს და ათავსებენ ექსიკატორში გასაცივებლად. როდესაც ჭიქები გაცივდება ოთახის ტემპერატურამდე ხდება მათი აწონვა.

შემდეგ საკონტროლო გაშრობის მიზნით ისევ ათავსებენ საშრობ კარადაში. 1-2 საათის მერე ხდება განმეორებითი აწონვა. პირველ და მეორე აწონვას შორის მასათა სხვაობა არ უნდა აღემატებოდეს 0,05 გრამს.

როდესაც დამყარდება მუდმივი წონა აწონვის პროცესი წყდება.

ნიადაგის წყლის რეჟიმი დიდად არის დამოკიდებული ნიადაგის წყლოვან თვისებებზე: წყალუონვადობაზე, წყალტევადობაზე და წყალაწევაზე. ამ მახასიათებლების სიდიდე განისაზღვრება ნიადაგის მექანიკური და ქიმიური შედგენილობით, მისი სტუქტურობით და სიმკვრივით.

ნიადაგის წყლოვანი თვისებების შესწავლა. როგორც წესი, ხდება საველე პირობებში, თუმცა კვლევების ჩატარება შესაძლებელია ყრილ მიწაზე ლაბორატორიაში.

წყალუონვადობის თვისება, ეს ნიადაგის ის თვისებაა, რომლის მეშვეობითაც იგი ჩაიჭონავს და გაატარებს წყალს. ეს პროცესი ორ ნაწილად იყოფა: შექონვის ფაზა და ფილტრაციის ფაზა.

პირველ ფაზაში ხდება ნიადაგის თავისუფალი ფორების მიმდევრობითი შევსება წყლით სიმძიმის ძალის, დაწნევის და მენისკური ძალების გავლენით რომელიც წარმოიქმნება დასველების ზღვარზე. ამ პროცესის სიჩქარე მკვეთრად იცვლება დროში.

მეორე ფაზაში დაწნევის გრადიენტის გავლენით ხდება წყლის მოძრაობა უპე სრულად საგეს ფორებში. ეს პროცესი მცირედ იცვლება დროში.

წყალუონვადობა განისაზღვრება ორი მახასიათებლით – წყლის რაოდენობა, რომელიც ჩაიჭონება ნიადაგის მოცემულ შრეში და დრო, რომლშიც წყალი გაედინება ნიადაგის გარკვეულ პორიზონტში.

როგორც ცნობილია, ნიადაგის წყლის რეჟიმის რეგულირებისთვის მნიშვნელოვან ნიადაგურ თვისებას წყალტევადობა

წარმოადგენს. ამ თვისების მეშვეობით მას შეუძლია დააკავოს წყლის გარკვეული რაოდენობა. განასხვავებენ რამდენიმე სახის წყალტევადობას: სრული წყალტევადობა – ნიადაგის ფორები სრულადაა შევსებული წყლით; კაპილარული წყალტევადობა – ნიადაგის ტენიანობის ის მდგომარეობაა, როდესაც წყლით არის გავსებული მხოლოდ მცირე ზომის ფორები (კაპილარები); ზღვრული საველე წყალტევადობა – არის წყლის ის მაქსიმალური რაოდენობა, რომლის შეკავების უნარი აქვს ნიადაგს ბუნებრივ პირობებში გრავიტაციული წყლის (თავისუფალი წყალი) მოცილების შემდეგ.

ადსანიშნავია, რომ საველე პირობებში, ხელსაწყოების არქონის დროს, ნიადაგის ტენიანობის განსაზღვრა შესაძლებელია ორგანოლეპტიკური მეთოდით. მაგრამ ეს მეთოდი გამოსადეგია მხოლოდ მაშინ, როდესაც საჭიროა ნიადაგის ტენიანობის ზოგადი მონაცემების განსაზღვრა, მაგალითად ნიადაგის დასამუშავებლად ოპტიმალური პირობების შერჩევის დროს და ა.შ.

ამ მეთოდის მიხედვით განისაზღვრება ნიადაგის ტენიანობის 5 სტადია:

- სველი ნიადაგი – ნიადაგიდან ხელში მოჭერის დროს ჟონავს წყალი;
- ნოტიო ნიადაგი – ნიადაგის ხელში მოჭერის დროს წყალი არ ჟონავს, მაგრამ ხელის გული სველდება, ნიადაგი განიცდის დეფორმაციას, 1 მეტრი სიმაღლიდან ვარდნის დროს ნიადაგის გუნდა არ იშლება;
- ტენიანი ნიადაგი – ფილტრის ქადალდის მიდებისას იგი სველდება, ხოლო 1 მეტრი სიმაღლიდან ვარდნის დროს ნიადაგის გუნდა იშლება მცირე ნაწილებად;
- ნედლი ნიადაგი – ნიადაგი ცივია, 1 მეტრი სიმაღლიდან ვარდნის დროს იგი იშლება მსხვილ ნაწილებად, ხელებზე არ ეკვრის, ხოლო ხელში მოსრესვის დროს არ იმტვერება;
- მშრალი ნიადაგი – გასრესვისას მტვერიანდება.

წვენს შემთხვევაში ნიადაგის ტენიანობის გაზომვა ხორციელდებოდა სპეციალური სენსორებით, რომლებიც მუშაობს ელექტროგამტარობის გაზომვის პრინციპით და საშუალებას იძლევა

აღნიშნული მახასიათებლების სიდიდეები გაზომილ იქნას ნიადაგის 1 მ-მდე სიღრმეში წინასწარ დადგენილი და ექსპერიმენტისთვის შერჩეული ოპტიმალური ბიჯით.

### **3.2. საცდელი პოლიგონის ნიადაგების აგროქიმიური დახასიათება და სასოფლო-სამეურნეო კულტურების განოყიერების სისტემა წვეთური მორწყვის დროს**

წვენს მიერ დიდმის საცდელი პოლიგონის მდელოს ყავისფერი ნიადაგის აგროქიმიური დახასიათებისათვის აღებული იქნა ნიადაგის შერეული ნიმუშები 0-20 და 20-40 სმ-ის სიღრმეზე, რომლებშიც ჩატარდა ლაბორატორიული განსაზღვრებები. ანალიზის შედეგები მოცემულია ცხრილში № 3.2.1.

**დიდმის საცდელი პოლიგონის მდელოს ყავისფერი ნიადაგის აგროქიმიური დახასიათება.**

ცხრილი № 3.2.1.

ნიმუშის №	სიღრმე სმ-ით	pH წყლის გამონაწერში	CaCO <sub>3</sub> %	ჰიდროლიზური აზოტი		მოძრავი ფოსფორი გალიუმი
				მგ-ით	100 გრ ნიადაგში	
1	0-20	7.45	2.95	6.05	4.5	34.2
2	20-40	7.55	3.9	4.25	1.4	29.8

როგორც ცხრილი 3.2.1.-დან ჩანს, მდელოს ყავისფერი ნიადაგი ხასიათდება სუსტი ტუტე არეს რეაქციით. pH მაჩვენებელი 0-20 სმ-იან პორიზონებში 7.45 ც შეადგენს, მისი რაოდენობა ქვედა 20-40 სმ-იან პორიზონებში უმნიშვნელოდ იზრდება.

დიდმის მდელოს ყავისფერი ნიადაგი ჰიდროლიზური აზოტის შემცველობის მიხედვით მცირე უზრუნველყოფის კატეგორიას მიეკუთვნება როგორც ზედა პორიზონებში 6.05 მგ 100 გრ ნიადაგში ისე ქვედა ფენაში 4,25 მგ 100 გრ ნიადაგში. აქედან გამომდინარე, პამიდორის მოსავლის მთავარ მალიმიტირებელ ელემენტს აზოტი წარმოადგენს. მოძრავი ფოსფორის რაოდენობა ამ ნიადაგში

გადიდებული რაოდენობითაა და 4,5 მგ-ს აღწევს. ქვედა პორიზონტში მცირე რაოდენობითაა 1,5 მგ. 100 გრ ნიადაგში. რაც შეეხება გაცვლით კალიუმს, მისი რაოდენობაც გადიდებული შემცველობითაა ნიადაგის ორივე ფენაში და შესაბამისად შეადგენს 34,2 და 29,8 მგ-ს 100 გრ. ნიადაგში.

ნიადაგის ბონიტეტის შეფასების მიზნით გაანგარიშებული იქნა საკვები ელემენტების შესათვისებელი ფორმების მარაგი, რითაც დადგინდა, თუ რა რაოდენობის პამიდორის მოსავლის მოცემა შეუძლია განოყიერების გარეში დიღმის მდელოს ყავისფერ ნიადაგს. საკვები ელემენტების შეასთვისებელი ფორმების მარაგის გაანგარიშების შედეგები მოტანილია ცხრილში №3.1.2.-ში, საიდანაც ჩანს, რომ აზოტის შესათვისებელი ფორმების რაოდენობა მდელოს ყავისფერ ნიადაგში 43 კგ შეადგენს, ფოსფორის 31 კგ-ს, კალიუმის 147 კგ-ს. სასუქების გამოყენების გარეშე ნიადაგში არსებულ აზოტის მარაგს შეუძლია 15,3 ტ პომიდორის მოცემა, ფოსფორის მარაგს 31 ტ პომიდორის, კალიუმს 33 ტონის.

თუ გავაანალიზებთ ცხრილ № 3.2.2.-ში მოყვანილ მონაცემებს, დიღმის მდელოს ყავისფერ ნიადაგში არსებული აზოტის მარაგით 4,5-ჯერ დაბალი მოსავალი მიიღება დაგეგმილ 80 ტონასთან შედარებით. ფოსფორის და კალიუმის მარაგით 2,4-ჯერ ნაკლები პამიდორის მოსავალი მიიღება. რითაც ერთხელ კიდევ დასტურდება პომიდორის მაღალი მოსავლის მისაღებად სასუქების გამოყენების აუცილებლობა.

სასუქებისა და სარწყავი წყლის ერთობლივი ნორმირებული გამოყენება მაღალი და ხარისხიანი სასოფლო-სამეურნეო კულტურების მოყვანის პირობების ოპტიმიზაციის ორგანიზაციულ, ტექნოლოგიურ და ეკოლოგიურ საფუძველს წარმოადგენს და მის რეალიზებას სხვადასხვა მორწყვის სისტემების გამოყენება შეიძლება დაედოს საფუძვლად. ამასთან, სისტემა ირიგაცია-ფერტიგაცია საშუალებას იძლევა შეტანილ იქნას აზოტის, კალიუმის და სხვა ელემენტების დაბალანსებული რაოდენობა მცენრეთა ზრდა-განვითარების ფაზების გათვალისწინებით და დარეგულირებულ იყოს ოპტიმალური ნიადაგის ტენიანობა [79, 80].

**საკვები ელემენტების შესათვისებელი ფორმების მარაგი დიდმის  
საცდელი პოლიგონის მდელოს ყავისფერ ნიადაგში**

ცხრილი № 3.2.2.

№	ადგილმდებარეობა, ნიადაგის ტიპი	სიღრმე სმ-ით	პიდროვლის აზოვი	პრეტიდორის შესაძლო მოსავალი ტიპი	მომრავი ფოს-ი ფორმი	პრეტიდორის შესაძლო მოსავალი ლი ტ-ით	გაცვლითი გადიუქტი	პრეტიდორის შესაძლო მოსავალი ტ-ით
2	ყულარი	0-20	49	17.5	31	31.0	147	33.0

სასუქების ხსნარის მიწოდება, სარწავ წყალთან ერთად, იწვევს მის შედარებით თანაბარ განაწილებას დასატენიანებელ ტერიტორიაზე. ამასთან, ფერტიგაციის დროს წყლის მიწოდება ხდება უშუალოდ ფესვთა სისტემაში, რაც თავის მხრივ, იწვევს სარწყავი წყლის მნიშვნელოვან ეკონომიას და აღმოფხვრავს ქიმიური ნივთიერებების ფართო ტერიტორიაზე გავრცელების რისკს.

აღსანიშნავია, რომ სუფთა წყალთან სასუქების შერევით მატულობს წყლის კონცენტრაცია, რაც თავის მხრივ გავლენას ახდენს როგორც რწყვის ნორმებზე, აგრეთვე სისტემის პარამეტრებზე.

პომიდორი ყველაზე მაღალ მოთხოვნილებას აქვნებს ფოსფორით კვებაზე. გადიდებულ მოთხოვნილებას აზოტზე და კალიუმზე.

როგორც ცნობილია, პომიდორის მიერ ნიადაგიდან საკვები ელემენტების გამოტანა დიდი არ არის და დამოკიდებულია ნიადაგის ნაყოფიერებაზე, მოსავლის დონეზე, კლიმატურ პირობებზე, გამოყენებული სასუქების ფორმებზე, ნორმებზე, შეტანის ვადებზე და სხვა. მის ერთ ცენტრს საშუალოდ გამოაქვს  $0,28\text{g N}, 0,10 \text{ g P}_2\text{O}_5$  და  $0,4 \text{ g K}_2\text{O}$ .

გამოტანილი საკვები ელემენტების კომპენსირება შესაძლებელია მხოლოდ ორგანული და მინერალური და სასუქების რაციონალური გამოყენებით.

პომიდორის ქვეშ შესატანი საკვები ელემენტების ნორმებიც ცვალებადობს ნიადაგის ნაყოფიერების, მოსავლის და

აგროტექნოლოგიური დონისძიების დონის, ნიადაგურ-კლიმატური პირობების მიხედვით.

ჩვენს მიერ გაანგარიშებული წვეთური მორწყვის დროს საჭირო საპვები ელემენტების ნორმები და სასუქების ფიზიკური წონები მდელოს ყავისფერ ნიადაგზე პომიდორის – 80ტ მოსავლის დაგეგმისას მოცემულია ცხრილებში № 3.2.3., 3.2.4., 3.2.5., 3.2.6., 3.2.7.

წვეთური კვების დროს საჭირო საკვები ელემენტების ნორმები და სასუქების ფიზიკური წონები მდელოს ყავისფერ ნიადაგზე  
პომიდორის – 80გ მოსავლის დაგეგმისას დიამოფოსკას შეტანისას

ცხრილი № 3.2.3.

№	საკვები ელემენტების ნორმები		მინერალური სასუქები გბ/კგ									
			ძირითადი განოყიფება						გამოკვება			
			ხენის წინ	დარგვის წინ ღრმა კულტივაციის დროს					I	II	III	IV
	<u>N</u>	<u>P<sub>2</sub>O<sub>5</sub></u> მონა ცემე ბიო	<u>K<sub>2</sub>O</u>	ნაკელი ტ-იო	დიამო ცოსკა <b>N-10</b> <b>P-26</b> <b>K-26</b>	დარჩენილი 20გგ ფოსფორის შესატანად საჭირო ამფოსი	დიამო ცოსკით და ამფოსით შეტანილი <u>N</u>	რამდენი აგ აზოტია შეტანილი	<u>N</u>	ამონიუმის გვარჯილა	<u>N</u> ამონიუმის გვარჯილა	
1	185	170	150	<b>50</b>	<b><u>150</u></b> <b>577</b>	<b><u>20</u></b> <b>40</b>	58+2=60	185-60-80=45	132	<b><u>20</u></b> <b>59</b>	<b><u>20</u></b> <b>59</b>	<b><u>20</u></b> <b>59</b>

მრიცხველში საკვები ელემენტების ნორმები

მნიშვნელში სასუქის ფიზიკური წონები

წვეთური კვების დროს საჭირო საკვები ელემენტების ნორმები და სასუქების ფიზიკური წონები მდელოს ყავისფერ ნიადაგზე  
პომიდორის – 80გ მოსავლის დაგეგმისას დიამოფოსკას შეტანისას

ცხრილი № 3.2.4.

№	საკვები ელემენტების ნორმები		ზონერალური სასუქები გვ/ჰა										
			ძირითადი განვითარება								გამოკვება		
			ხელის წინ	დარგვის წინ დრმა კულტივაციის დროს						I	II	III	IV
№	N	P <sub>2</sub> O <sub>5</sub> მონა ცემე ბიო	K <sub>2</sub> O	ნაკელი ტოთ	დიამო ცოსკა <b>N-10</b> <b>P-26</b> <b>K-26</b>	დარჩენილი 20კგ ოსფორის შესატანად საჭირო ორმაგი სუპერ ფოსფატი	დიამო ცოსკით შეტანილი <b>N</b>	N	ამონიუმის გვარჯილა	N	ამონიუმის გვარჯილა		
1	185	170	150	50	<u>150</u> 577	<u>20</u> 48	58	185-58-80=47	138	<u>20</u> 59	<u>20</u> 59	<u>20</u> 59	<u>20</u> 59

მრიცხველში საკვები ელემენტების ნორმები

მნიშვნელში სასუქის ფიზიკური წონები

წვეთური კვების დროს საჭირო საკვები ელემენტების ნორმები და სასუქების ფიზიკური წონები მდელოს ყავისფერ ნიაღაგზე  
პომიდორის – 80ტ მოსავლის დაგეგმისას (მარტივ სასუქებზე გადაანგარიშებით)

ცხრილი № 3.2.5.

№	ორგანული გ/ჸა ხვნის წინ	სასუქის ნორმა კგ/ჸა		ს ა ს უ ქ ი ს დ თ ზ ა კგ/ჸა							
		მინერალური		ძირითადი განოვერება				გამოკვება			
								ამონიუმის გვარჯილა			
				ხვნის წინ	თესვის წინ						
		<b>N</b> ამონიუმის გვარჯილა	ორმა გი სუპერ	კალიუმის ქლორიდი	ორმა გი ფოსფატი	კალიუმის ქლოროდიდი	<b>N</b> ამონიუმის გვარჯილა	I გაძ.	II გაძ.	III გაძ.	IV გაძ.
2	50	<u>185</u> <b>544</b>	<u>170</u> <b>404</b>	<u>150</u> <b>268</b>	<b>404</b>	<b>268</b>	<u>105</u> <b>309</b>	<u>20</u> <b>59</b>	<u>20</u> <b>59</b>	<u>20</u> <b>59</b>	<u>20</u> <b>59</b>

მრიცხველში საკვები ელემენტების ნორმები

მნიშვნელში სასუქის ფიზიკური წონები

წვეთური კვების დროს საჭირო საკვები ელემენტების ნორმები და სასუქების ფიზიკური წონები მდელოს ყავისფერ ნიადაგზე  
პომიდორის – 80ტ მოსავლის დაგეგმისას ამფოსის შეტანისას

ცხრილი № 3.2.6.

№	საკვები ელემენტების ნორმები			მინერალური სასუქები კგ/კბ									
				ძორითადი განვითარება					გამოკვება				
	ხვნის წინ	დარგვის წინა დრმა კულტივირება				I	II	III	IV				
N	P <sub>2</sub> O <sub>5</sub> მონა ცემე ბიო	K <sub>2</sub> O	K <sub>2</sub> O ნაბეჭ ი ტ-იო	კალი უმის ქლო რიდი	ამო ფოსი N-11 P-50	ამო ფოსი N-11 P-50	ამოფო სით შეტანი ლი	დასამატე ბელი აზოგის რაოდენო ბა	ამონიუმ ის გვარჯი ლა	ამონიუმის გვარჯილა	N		
1	185	170	150	50 $\frac{150}{268}$	$\frac{170}{340}$	$\frac{170}{340}$	64.6	40.4	119	$\frac{20}{59}$	$\frac{20}{59}$	$\frac{20}{59}$	$\frac{20}{59}$

მრიცხველში საკვები ელემენტების ნორმები

მნიშვნელში სასუქის ფიზიკური წონები

წევთური ქვების დროს საჭირო საკვები ელემენტების ნორმები და სასუქების ფიზიკური წონები მდელოს ყავისფერ ნიადაგზე  
პომიდორის – 80ტ მოსავლის დაგეგმისას დიამოფოსის შეტანისას

ცხრილი № 3.2.7.

№	საკვები ელემენტების ნორმები			მ ი ნ ე რ ა ლ უ რ ი ს ა ს უ ქ ე ბ ი კგ/ჰა								
				ძ ი რ ი თ ა დ ი გ ა ნ თ ყ ი ე რ ე ბ ა					გამოკვება			
	ხელის წინ	დარგის წინა ღრმა გულტივაციის დროს	I	II	III	IV						
N	P <sub>2</sub> O <sub>5</sub> მონა ცემე ბით	K <sub>2</sub> O	K <sub>2</sub> O ნაბეჭ ი ტ-ით	ბალი უმის ქლო რიდი	დიამო ფოსი N-11 P-50	ამო ფოსი N-11 P-50	დიამოფ ო სით შეტანი ლი N	ამონიუმ ის გვარჯი ლა	N	ამონიუმის გვარჯილა		
1	185	170	150	50 $\frac{150}{268}$	$\frac{170}{340}$	$\frac{170}{340}$	64.6	40.4	119	$\frac{20}{59}$	$\frac{20}{59}$	$\frac{20}{59}$

მრიცხველში საკვები ელემენტების ნორმები

მნიშვნელში სასუქის ფიზიკური წონები

ნაკელის და ძირითადი საკვები ელემენტების ნორმები პამიდორის  
კულტურისათვის დიღმის საცდელი პოლიგონის მდელოს ყავისფერი ნიადაგზე  
80 ♂ პომიდორის მოსავლის დაგეგმისას

ცხრილი № 3.2.8

ნიადაგის ტიპი	დაგეგმილი მოსავალი ტ/ჰა	ძირითადი საკვები ელემენტების ნორმები კგ-ჰა			ნაკელი ან კომპოსტი სარგავ კვალში ტ/ჰა
		N	P <sub>2</sub> O <sub>5</sub>	K <sub>2</sub> O	
დიღმი. მდელოს ყავისფერი ნიადაგი	80	185	170	150	50

ცხრილში № 3.2.8. მოცემულია პომიდორის ქვეშ შესატანი  
ნაკელისა და ძირითადი საკვები ელემენტების ნორმები.

### 3.3. საველე კვლევების შედეგები და ანალიზი

ჩვენს მიერ ჩატარებული საველე კვლევები მიზნად ისახავდა  
პროგრამული მოსავლის მიღების მაქსიმალური საიმედოობის და  
ეკოლოგიური წონასწორობის მაქსიმალური შენარჩუნების  
გათვალისწინებით, რესურსდამზოგი ტექნოლოგიების გამოყენების  
პირობებში, შექმნილიყო რწყვის რეჟიმის ოპტიმალური მართვის  
ინტეგრირებული მოდელი, რომელიც ასახავს მელიორირებადი მიწების  
სრული გაჯერებისა და აერაციის ზონაში მიმდინარე ყველა პროცესს.

აღნიშნული მიზნის რეალიზაციისთვის საცდელ პოლიგონზე  
ჩატრებულ იქნა შემდეგი სამუშაოები:

- პოლიგონის ტოპოგრაფიული რუკის და გენერალური გეგმის  
შედგენა (ნახ. № 3.1.1. და 3.1.2);
- პოლიგონის სარწყავი წყლით უზრუნველყოფა, წყალმიმდების  
მოწყობა;
- პოლიგონის მოწყობა რესურსდამზოგი ტექნოლოგიებით. კერძოდ,  
შავი პოლიეთილენის მულტისა და წვეთური მორწყვის სისტემის  
პარამეტრების შერჩევა და მონტაჟი (სურ. № 3.3.1. და 3.3.2);

- სასოფლო-სამეურნეო კულტურების შერჩევა – შერჩეული იქნა პომიდორი და ნეხვი (სურ. № 3.3.3 და 3.3.4);
- აგროტექნიკური დონისძიებების ჩატარება;
- კლიმატური პირობების (პაერის ტემპერატურა, ტენიანობა და სხვ.) შესწავლა.
- ნიადაგის ფიზიკური, მექანიკური, ქიმიური და წყლოვანი თვისებების კომპლექსური შესწავლა;
- ნიადაგის ტენიანობის დინამიკის სურათის დადგენა;
- ნიადაგის ფიზიკური და მექანიკური თვისებების ტენიანობასთან კავშირის დადგენა;
- ჯამური წყალმოხმარების (ევაპოტრანსპირაციის) განსაზღვრა ბიოკლიმატური მეთოდით; ბიოკლიმატური კოეფიციენტის განსაზღვრა ვეგეტაციის მოელი პერიოდისთვის (ცხრილი № 3.3.1, 3.3.2. ნახ. № 3.3.1., 3.3.2, 3.3.3., 3.3.4.);
- აგროკლიმატური მახასითებლების (აორთქლების ფონი ამინდის ცვალებადობასთან კავშირში და სხვ.) განსაზღვრა;
- მიღებული ექსპერიმენტული შედეგების შეჯერება და რწყვის რეჟიმის პარამეტრების დაზუსტება;



სურ. № 3.3.1. წვეთური მორწყვის სისტემა.



სურ. № 3.3.2 და 3.3.3 მულჩირება შავი პოლიეთილენის აფსკით.

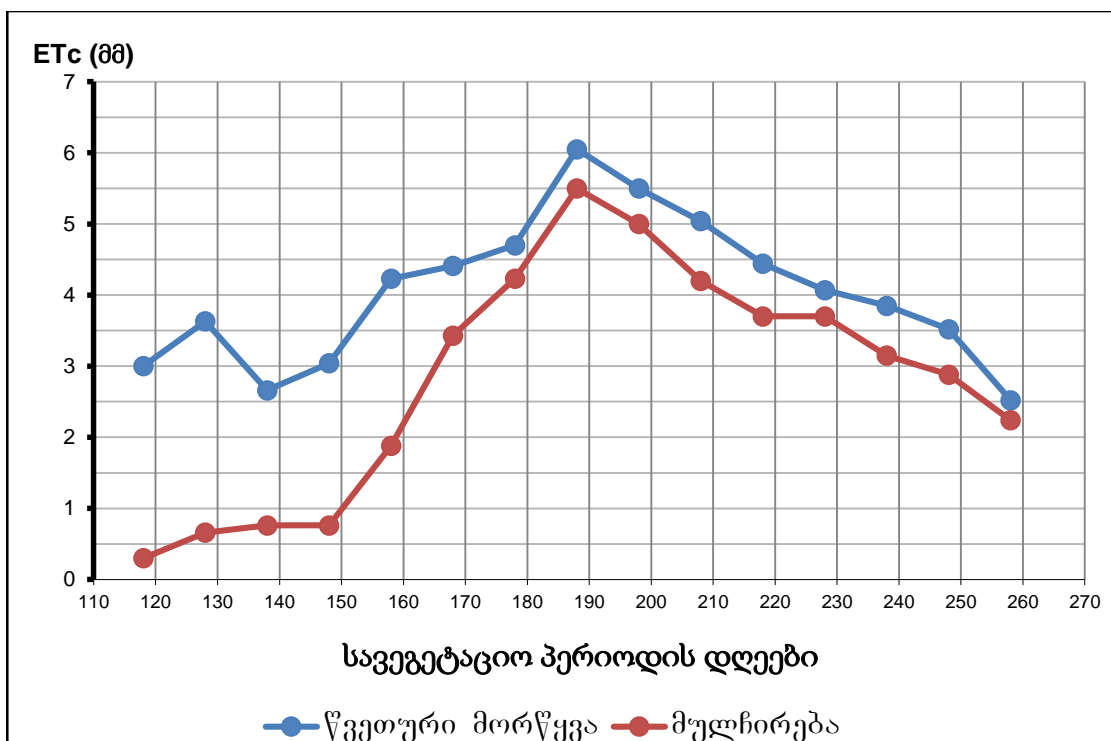


სურ. № 3.3.4 და 3.3.5. შერჩეული კულტურები – პომიდორი და ნესვი  
(საცდელი პოლიგონი 2011 წელი).

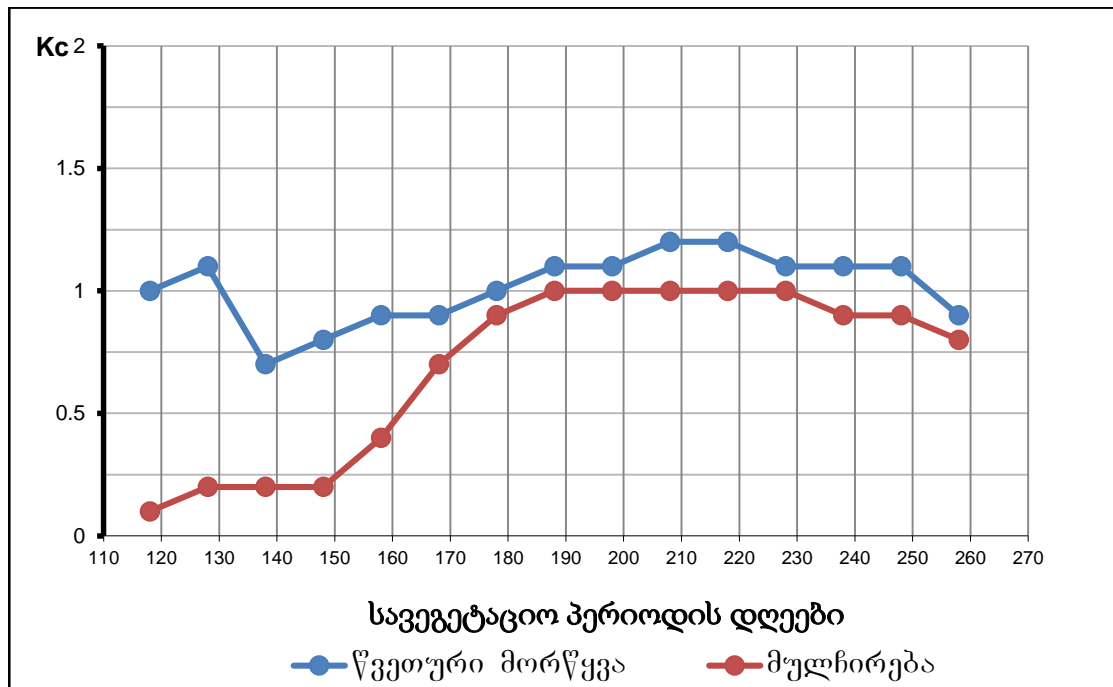
**ევაპოტორანისპირაციის ცხრილი სავეგეტაციო პერიოდისთვის  
(პომიდორი)**

ცხრილი № 3.3.1

პომიდორი							
წვეთური მორწყვა				წვეთური მორწყვა და მულჩირება			
დღეები	ET <sub>0</sub>	Kc	ETc	დღეები	ET <sub>0</sub>	Kc	ETc
118	3,0	1,0	3,0	118	3,0	0,1	0,4
128	3,3	1,1	3,6	128	3,3	0,2	0,5
138	3,8	0,7	2,7	138	3,8	0,2	0,6
148	3,8	0,8	3,3	148	3,8	0,2	0,7
158	4,7	0,9	4,1	158	4,7	0,4	2,0
168	4,9	0,9	4,4	168	4,9	0,7	3,4
178	4,7	1,0	4,9	178	4,7	0,9	4,4
188	5,5	1,1	6,2	188	5,5	1,0	5,6
198	5,0	1,1	5,8	198	5,0	1,0	5,0
208	4,2	1,2	4,8	208	4,2	1,0	4,2
218	3,7	1,2	4,3	218	3,7	1,0	3,7
228	3,7	1,1	4,2	228	3,7	1,0	3,7
238	3,5	1,1	4,0	238	3,5	0,9	3,3
248	3,2	1,1	3,6	248	3,2	0,9	2,8
258	2,8	0,9	2,7	258	2,8	0,8	2,2



ნახ. № 3.3.1.  $ETc = f(t)$  დამოკიდებულების გრაფიკები (პომიდორი).

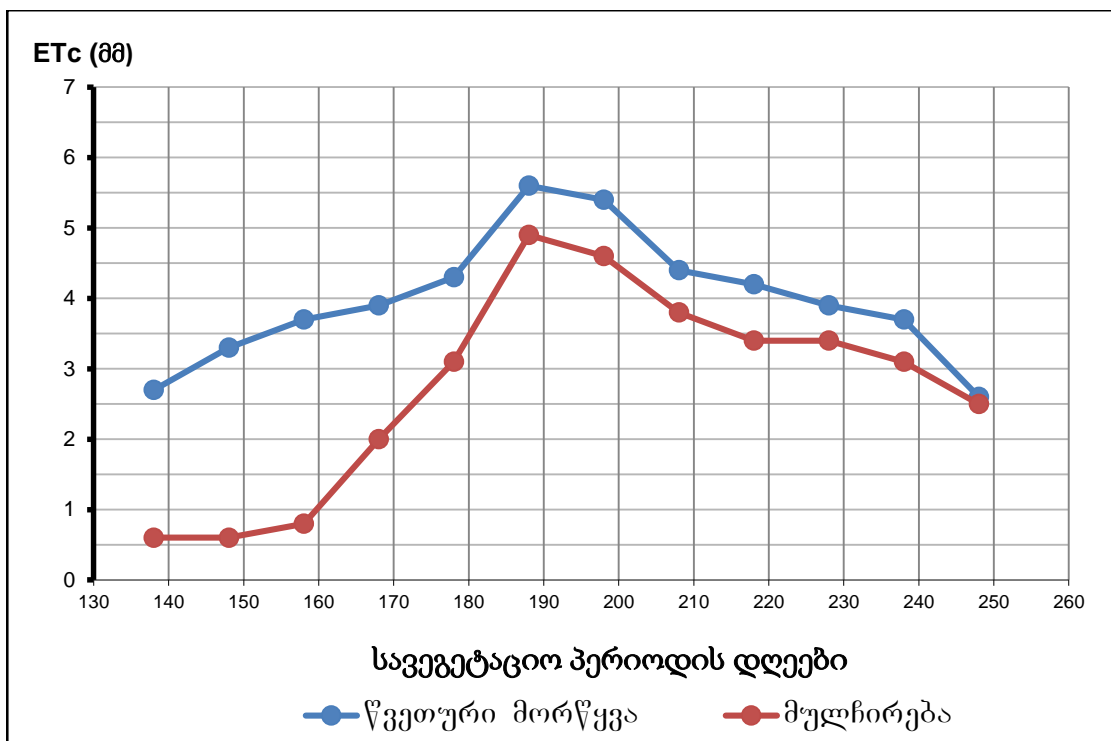


ნახ. № 3.3.2.  $Kc = f(t)$  დამოკიდებულების გრაფიკები (პომიდორი).

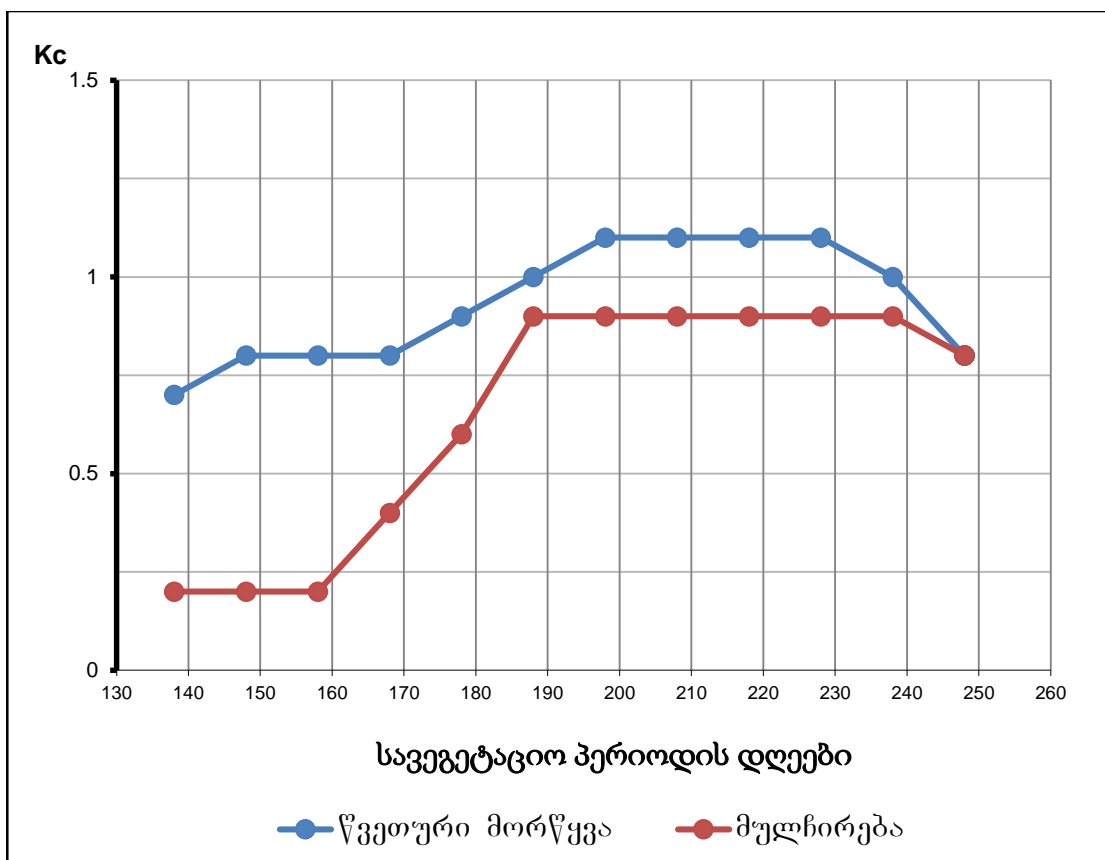
ევაპოტრანსპირაციის ცხრილი სავეგეტაციო პერიოდისთვის  
(ნესვი)

ცხრილი № 3.3.2

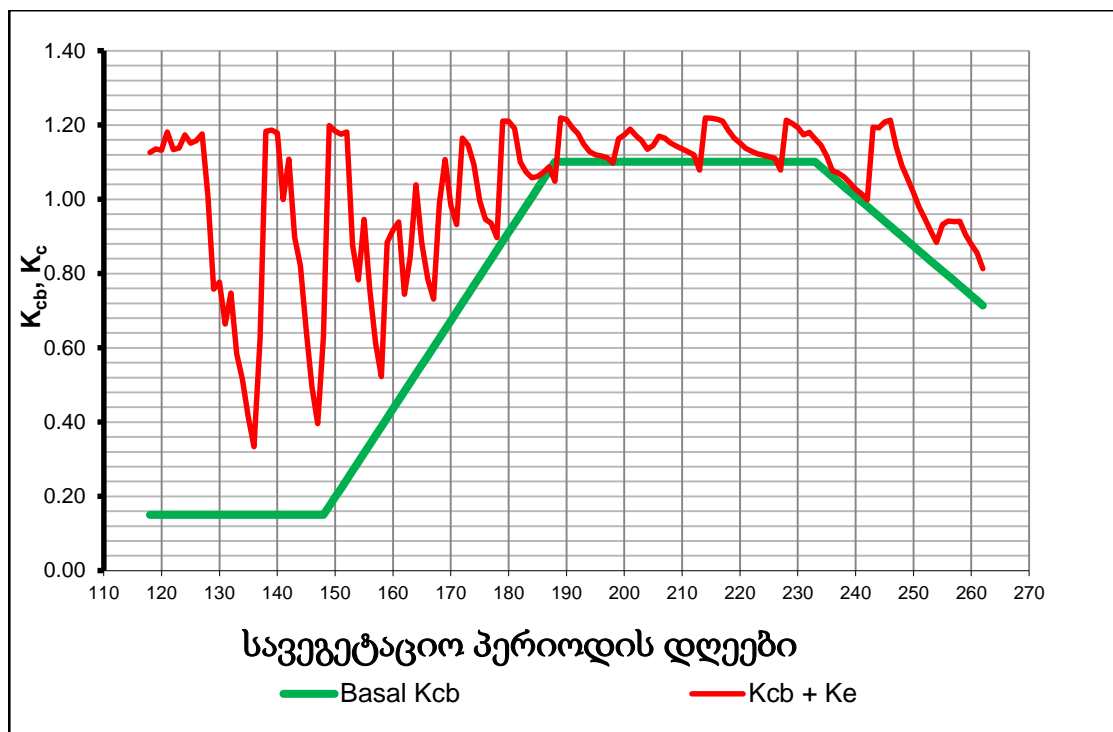
ნესვი							
წვეთური მორწყვა				წვეთური მორწყვა და მულტირება			
დღეები	ET <sub>0</sub>	Kc	ETc	დღეები	ET <sub>0</sub>	Kc	ETc
138	3,8	0,7	2,7	138	3,8	0,2	0,6
148	3,8	0,8	3,3	148	3,8	0,2	0,6
158	4,7	0,8	3,7	158	4,7	0,2	0,8
168	4,9	0,8	3,9	168	4,9	0,4	2,0
178	4,7	0,9	4,3	178	4,7	0,6	3,1
188	5,5	1,0	5,6	188	5,5	0,9	4,9
198	5,0	1,1	5,4	198	5,0	0,9	4,6
208	4,2	1,1	4,4	208	4,2	0,9	3,8
218	3,7	1,1	4,2	218	3,7	0,9	3,4
228	3,7	1,1	3,9	228	3,7	0,9	3,4
238	3,5	1,0	3,7	238	3,5	0,9	3,1
248	3,2	0,8	2,6	248	3,2	0,8	2,5



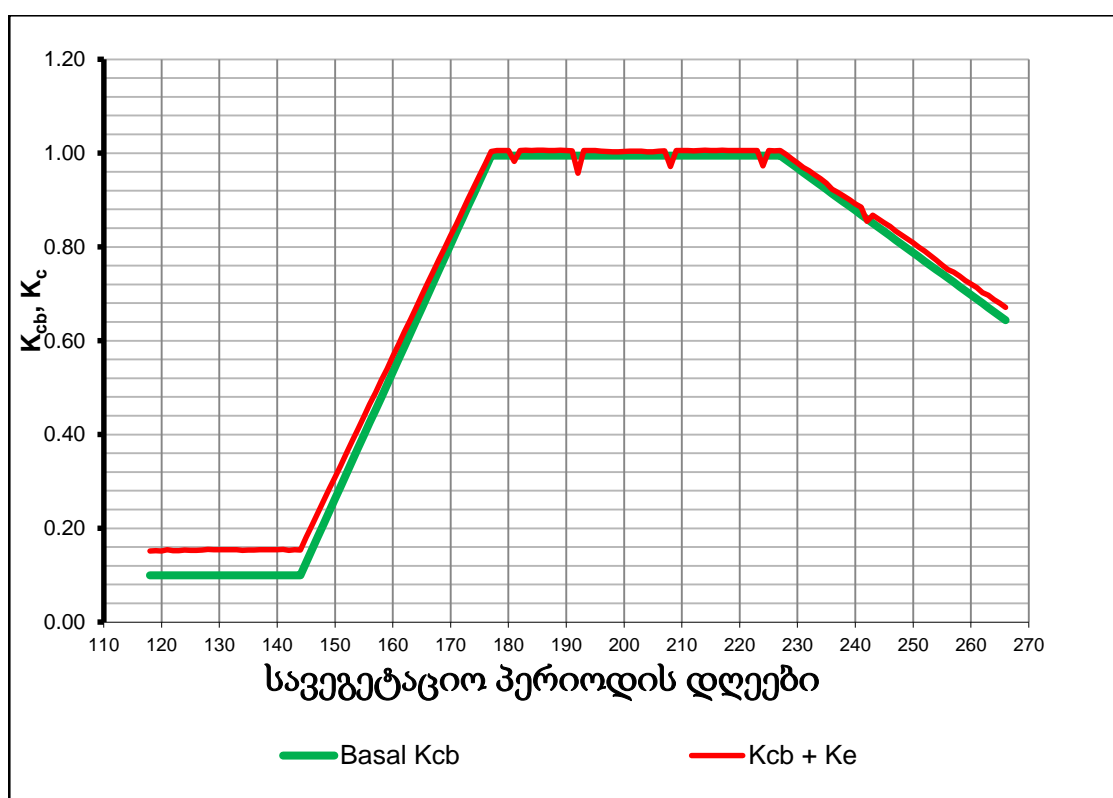
ნახ. № 3.3.3.  $ETc = f(t)$  დამოკიდებულების გრაფიკები (ნესვი).



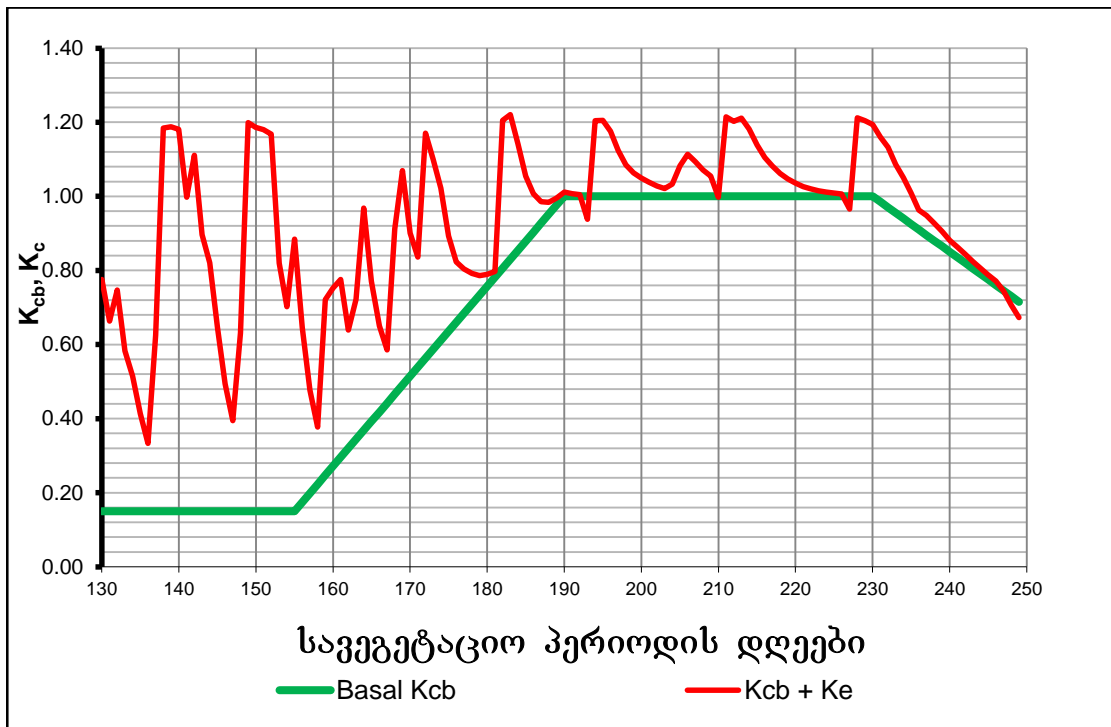
ნახ. № 3.3.4.  $Kc = f(t)$  დამოკიდებულების გრაფიკები (ნესვი).



ნახ. № 3.3.5.  $Kcb = f(t)$  დამოკიდებულების გრაფიკები  
(დია ნიადაგისთვის, პომიდორი)



ნახ. № 3.3.6.  $Kcb = f(t)$  დამოკიდებულების გრაფიკები  
(მულჩირებული ნიადაგისთვის, პომიდორი)



**ნახ. № 3.3.7.  $Kcb = f(t)$  დამოკიდებულების გრაფიკები  
(ლია ნიადაგისთვის, ნესვი)**

ჩატარებული ექსპერიმენტალური კვლევებისა და შესაბამისი ცხრილებისა და გრაფიკების ანალიზის საფუძველზე ვდებულობთ, რომ პომიდორის შემთხვევაში საგეგეტაციო პერიოდში ETc-ის საშუალო მნიშვნელობა 4.04 მმ-ს შეადგენს ლია გრუნტის შემთხვევაში, პოლიეთილენით მულტირების დროს კი იგი 2.83 მმ-ის ტოლია, რაც 29.4 % ნაკლებია.

გამომდინარე აქედან შეგვიძლია დავასკვნათ, რომ პომიდორის გეგმიური მოსავლის მისაღებად მულტირების გამოყენებით სარწყავი წყლის ეკონომია, და შესაბამისად მორწყვის ნორმის შემცირება მთელი გეგეტაციის პერიოდში დაახლოებით 30 %-ს შეადგენს.

ნესვის შემთხვევაში საგეგეტაციო პერიოდში ETc-ის საშუალო მნიშვნელობა 3.98 მმ-ს შეადგენს ლია გრუნტის შემთხვევაში, პოლიეთილენით მულტირების დროს კი იგი 2.73 მმ-ის ტოლია, რაც 31.4 % ნაკლებია.

შესაბამისად ნესვის გეგმიური მოსავლის მისაღებად მულტირების გამოყენებით სარწყავი წყლის ეკონომია, და შესაბამისად მორწყვის ნორმის შემცირება მთელი ვეგეტაციის პერიოდში დაახლოებით 31 %-ს შეადგენს.

## ზოგადი დასკვნები

ნაშრომში წარმოდგენილი თეორიული და ექსპერიმენტული კვლევების შედეგების კრიტიკული ანალიზის საფუძველზე შეიძლება გავაკეთოთ შემდეგი დასკვნები:

- ნიადაგში ტენის მოძრაობის საანგარიშო სქემისა და თეორიული კვლევების საფუძველზე მიღებულია ნიადაგის აქტიური ფორიანობის ოპტიმალური მნიშვნელობების საანგარიშო დამოკიდებულება;
- განსაზღვრულია ნიადაგ-გრუნტებში ტენის გადაადგილების სიჩქარე მულჩირებისა და დია გრუნტის პირობებში;
- მიღებულია ფილტრაციის სიჩქარის წინააღმდეგობის კოეფიციენტის საანგარიშო დამოკიდებულება ფორიანობის გათვალისწინებით;
- განსაზღვრულია ფილტრაციის სიჩქარის საწყისი გრადიენტისა და სრული გრადიენტის ფორიანობასთან ფუნქციონალური კავშირი, რის საფუძველზეც შესაძლებელია ნიადაგის ტენიანობის რეგულირება სარწყავ მიწათმოქმედებაში და რწყვის ოპტიმალური რეჟიმების დადგენა;
- მიღებულია მორწყვის ნორმის საანგარიშო დამოკიდებულება ნიადაგ-გრუნტების ფიზიკურ-მექანიკური მახასიათებლების გათვალისწინებით;
- წვეთური მორწყვის შემთხვევაში შედარებულია მულჩირებული და არამულჩირებული ნიადაგებისთვის მიღებული რწყვის ნორმები;
- მიღებული კლიმატური და ნიადაგური მონაცემთა ანალიზის საფუძველზე შემუშავებლია სასოფლო-სამეურნეო კულტურების რწყვის ოპტიმალური რეჟიმები ნიადაგ-გრუნტების ფილტრაციისა და ევაპოტრანსპირაციის გათვალისწინებით.

## ბაზოზებებული ლიტერატურა

1. **Breman H.** Cisse A.M. Fasture dinamics and forage availability in the Sohel-Israel I. Of Bot. vol. 28. p. 227. 1979.
2. **Панцхава И. Д.** Влияние нового вида мульчи «изола» на урожайность овощных культур. Тезисы докладов XIV науч. конф. аспир. и молодых ученых сотрудников АН Груз ССР, изд-во АН Груз ССР, Тбилиси, 1963.
3. **Панцхава И. Д.** Влияние на урожайность овощных культур нового материала мульч-изолы. Вопросы интродукции и зеленого строительства 1 (70). Изд-во «Мецниереба», Тбилиси, 1965.
4. **Кононова М. М.** Органическое вещество почвы. М., АН СССР, 1963.
5. **Панцхава И. Д.** Роль мульчирования в повышении урожайности огурцов в условиях пригородной зоны г. Тбилиси. Дисс. на соиск уч. степени к.с/х.н. Тбилиси, 1971.
6. **Clayton A.** Plastic mulches: a technique for earlier vegetables. – Hortic. Ind., p. 23, 26, 29. July, 1979.
7. **Розов Н. Ф.** В кн.: Применение полимерных плёнок в овощеводстве. М., Колос, с. 85-97, 1964.
8. **Angus I. F. Mackenzie D. N.** Plasie devolopment in Field crops. 11. Thermal and photoperiodic responses spring wheast-Field Crops Res.4, p. 269-283. 1981.
9. **Вермингхаузен Б.** Применение пластмасс в сельском хозяйстве. Изд.-во В. Кольхаммера, Штутгарт-Берлин-Кельн-Майнц, 202 с.
10. **Генель С. В., Гуль В. Е.** Полимерные плёнки для выращивания и хранения плодов и овощей. Москва, «Химия», 1985г.
11. **Kruashvili I.** Meliorativ action on regulation of water and heat of soil, Annals of Agrarian Science,, # 4, 63-69 pp. 2004 ყ.
12. **Kruashvili I., Bziava K., Inashvili I., Loria M.** Mathematical model for definition of heat conductivity of soil for achieving the harvest of early agricultural crops. Annals of Agrarian Science. т 4 №2 pp. 98-103, 2006.,
13. ბზიავა ქ., ინაშვილი ი., ლორია გ. მულჩირებული ნიადაგის ტემპერატურის და ტენის განსაზღვრის ექსპერიმენტული გამოკვლევა. აგრარულ მეცნიერებათა პრობლემები. სამეცნიერო შრომათა კრებული, ტომი XXXVI, გვ. 208-211, 2006.

14. გაფრინდაშვილი ი. ს. ნიადაგის სითბური მელიორაცია. ქურნალი საქართველოს სოფლის მეურნეობა, № 5, 1968.
15. Блох А. Г. Основы теплообмена излучением. Госэнергоиздат, Л. 1962.
16. Димо В. Н. Тепловой режим почв СССР. М., «Колос», 1972.
17. Панцхава И. Д. Влияние Мульчирования на температурный режим, влажность и агрохимические показатели почвы. Вопросы интродукции и зеленого строительства 6 (75). Изд-во «Мецниереба», Тбилиси, 1971.
18. Шульгин А. М. Климат почвы и его регулирование. Л., Гидрометеоиздат, 1967.
19. Kruashvili I., Bziava K., Inashvili I., Loria M. Математическая модель определения почвенной влаги при мульчировании. Известия Аграрной Науки. т 4 №3, 104-108. 2006.
20. BERRY, W.A.I., MALLETT, J.B. & JOHNSTON, M.A., Soil water conservation as affected by primary tillage practices. S. Afr. J. Plant Soil. 2, 21-26, 1985.
21. Аверьянов С. Ф. Зависимость водопроницаемости почво-грунтов от содержания в них воздуха. Докл. АН СССР, 69, №2, 1949, с. 141-144.
22. ESPREY, LJ. & DOVEY, S., A review of the most commonly used instrumentation to measure soil water and physiological parameters at the ICFR. ICFR BulJetin Series: 10/2001.
23. Алпатиев А. М. Влагооборот культурных растений. Л.: Гидрометиздат. 1954 с. 248.
24. BOTHA, J.J., VAN RENSBURG, L.D., ANDERSON, J.J., HENSLEY, M., MACHELI, M.S., VAN STADEN, P.P., KUNDHLANDE, G., GROENEWALD, D.C. & BAIPHETHI, M.N., Water conservation techniques on small plots in semi-arid areas to enhance rainfall use efficiency, food security, and sustainable crop production. Water Research Commission report no. 1176/1/03, Pretoria, South Africa. 2003.
25. Долгов С. И. Исследования почвенной влаги и доступность ее растениям. М.-Л., АН СССР, 1949.
26. Роде А. А. Почвенная влага. 1952.
27. Роде А. А. Основы учения о почвенной влаге. Л., Гидрометеоиздат, 1954.
28. Столяров А. И. Некоторые вопросы оптимизации водораспределения на орошаемых землях. Автореф. канд. дисс. М.: с. 25. 1976.

29. **Хубларян М. Г.** О моделировании переноса влаги и питательных веществ в системе почва-растение. Сб. Научн. трудов, вопросы управления комплексной факторов жизни растений. М. 65-76. 1978 с.
30. **Лысенко М. П.** Состав и физико - механические свойства грунтов. -М.: Недра 1980, 272 с.
31. **Мамаев З. М., Ворожцова Е. Л., Хамза А.** Техногенное уплотнение и технология оструктуривания почв // МиВХ, 2001. - № 3. – С. 33 - 34.
32. **Попов И. В.** Механика грунтов ОТНИ, М., -Л., 1937.
33. **Терцаги К.** Теория механики грунтов. Пер. с немецкого под ред. Н.А. Цытовича. Изд. М.госстайиздат, 482 с. 1961.
34. **Baier W.** Crop-Weether analisis model. I. Sammari – Int, Biometer. vol. 17. №4. p. 313. 1973.
35. **VAN DEVENTER, P.W., BENNIE, A.T.P. & HATTING, J.M.**, Hydraulic properties of stone soils. "WRC Report No. 725/ 1/02. Water Research Commission, Pretoria. 2002.
36. **Вершинин П. В.** Почвенная структура и условия ее формирования. М.-Л., АН СССР. 1958.
37. **Воробьев С. А., Карташев А. Н., Лыков А. М., Макаров И. П.** Под ред. Воробьева С. А./ Земледелие – М.: Агропромиздат, 527 с. 1991.
38. გულისაშვილი ვ. ზ. მცენარეთა ეკოლოგია. თბილისის სახელმწიფო უნივერსიტეტის გამომცემლობა. 327 გვ. 1960.
39. **Рассел Э.** Почвенные условия и рост растений, 1957.
40. **Сабинин Д. А.** Физиологические основы питания растений. 1955.
41. **Brouwer R.** Some aspects of the equilibrium between over ground and underground plant parts. Tarboek institut voor biologisch en Seheikundig onderzoek (IBS). p. 31-39. 1963.
42. **BOTHA, 1.1., ANDERSON, 1.1., VAN STADEN, P.P., VAN RENSBURG, L.D., BEUKES, DJ. & HENSLEY, M.** Quantifying and modeling the influence of different mulches on evaporation from the soil surface. ARC-ISCW Report No. GW/ A1/05. Pretoria 43pp., 2001.
43. **FAO** Irrigation and Drainage Paper No. 56 Crop Evapotranspiration (guidelines for computing crop water requirements). 174 pp., 2006.
44. **Константинов А. Р.** Испарение в природе. Л.: Гидрометиздат. с. 532. 1968.

45. **HENSLEY, M., BOTHA, J.J., ANDERSON, J.J., VAN STADEN, P.P. & DU TOIT, A.**, Optimizing rainfall use efficiency for developing farmers with limited access to irrigation water. Water Research Commission report no. 878/1/00, Pretoria, South Africa. 2000.
46. **Берия** и др. Физико-математические основы фильтрации. М.: Мир. 1971 с. 452.
47. ირაკლი ყრუაშვილი, ედუარდ გუხალაშვილი, ირმა ინაშვილი, ქონსტანტინე ბზიავა, გიორგი ნატროშვილი. ფილტრაციის თავისებურების ნიადაგ-გრუნტებში. საქ. განათლ. და მეცნ. სამ., სტუ, წყალთა მეურნეობის ინსტიტუტი, სამეცნ. შრომათა კრებული №67.გვ. 226-230. 2012.
48. **Цытович Н. А.** Механика грунтов.- М.: Высшая школа, 1979.
49. **Васильев А. М.** Физические константы глинистых грунтов. Гидрология. сборник статей №4, 1963.
50. **Великанов В. В.** Теория фильтрации и её применение в области ирригации и дренажа.-М.-Л. : Госстройиздат, 248 с. 1939.
51. **Истомина В. С.** Фильтрационная устойчивость грунтов. Государственное издательство литературы по строительству и архитектуре, 1957.
52. **Wolters N, Hantke H.** Experiments with infiltration methods in the hessian ried area. DVWK-Bulletin. 14:97–118. 1982.
53. **Schmidt H.** Groundwater Recharge and Water Production. Zbl. Bakt. Hyg. I, Abt. Orig. B. pp. 134–155. 1980.
54. **Remmler F, Schulte-Ebbert U.** Development of understanding the process of self-purification of groundwater. Vom Wasser. 101:77–90. 2003.
55. ირაკლი ყრუაშვილი, ედუარდ გუხალაშვილი, ირმა ინაშვილი, ქონსტანტინე ბზიავა, გიორგი ნატროშვილი. ნიადაგ-გრუნტებში. წყლის ფილტრაციის ანომალიებთან დაკავშირებული საკითხების შესწავლა. საქ. განათლ. და მეცნ. სამ., სტუ, წყალთა მეურნეობის ინსტიტუტი, სამეცნ. შრომათა კრებული №67. გვ. 231-236. 2012.
56. ანჯაფარიძე ი. მელიორაციული ნიადაგმცოდნება. განათლება. თბილისი, 310 გვ. 1977.
57. **Levan Klimiashvili, Aleksandre Davitashvili, Irma Inashvili, Giorgi Natroshvili.** Determination of water movement velocity in a soil. The Ministry of Education and Science, Water Management Institute, Scientific papers #68, 2014.

58. **Костяков А. Н.** Основы Мелиорации. Сельхозиздат., М.:1951.
59. **Марков Е. С.** Сельскохозяйственные гидротехнические мелиорации. М.: Колос. с. 376. 1981.
60. **Панников В. Д., Минеев В. Г.** Почва, климат, удобрение и урожай. Москва.:Колос. с. 358, 1977.
61. **TANNER, C.B. & SINCLAIR, T.R.**, Efficient Water Use in Crop Production: Research or Re-search?, Chapter 1A In: H.M. Taylor, W.R. Jordan T.R. Sinclair (Eds). Limitations to Efficient Water Use in Crop Production. Am. Soc. of Agron., Madison. Wisconsin. 1983.
62. **Balke KD.** Investigation of the Groundwater Resources in the Irrigation Area West of Ismailia/Egypt. Part I. Vol. 4. Stuttgart: 1990.
63. **Preu G, Schulte-Ebbert U.** Artificial Groundwater Recharge and Bank filtration. In: Rehm HJ, Reed G, editors. Biotechnology. Vol. 11c. Weinheim: Wiley-VCH; pp. 425–444. 2000.
64. **Irakli Kruashvili, Aleksandre Davitashvili, Irma Inashvili, Giorgi Natroshvili.** Regulation of soil moisture in irrigated agriculture. The Ministry of Education and Science, Water Management Institute, Scientific papers #68, 2014.
65. **Абрамович И. Г., Левин В. И.** Уравнения математической физики. М., Наука, 1984 г.
66. **Баграмян Г. А.** Об эффективности использования ограниченных водных ресурсов на орошение. Журн. «Гидротехника и мелиорация». 1970 №2, с. 24-30.
67. **Будаговский А .И.** Испарение почвенной влаги. М.: Наука, 1964. с. 244.
68. **Дубровский З. М.** Математическая модель оптимального управления влажности в корнеобитаемой зоне растения Сб. научн. трудов. вопросы управления комплексом факторов жизни растения. ВНИИГИМ. М. с.27-41. 1978.
69. **Кобаков М. М.** и др. Влагообеспеченность и урожай. Вопросы водного хозяйства, Фрунзе. 29-36. 1972 с.
70. **Кулешов Н.Н.** Агрономическое семеноведение. Москва. с 15-17. 1963.
71. **Лебедев С .И.** Физиология растений. М.: Колос. 463 с. 1982.
72. საბაშვილი გ. საქართველოს სკოლის ნადაგები. გამომცემლობა “გეცნიერება”, თბილისი, 549 გვ. 1965.

73. Климат и климатические ресурсы Грузии. Гидрометеоиздат. Л.: 450 с. 1971.
74. გაფრინდაშვილი ი., გორდეზიანი ქ., გორდეზიანი გ. სინათლე, სითბო, ნიადაგი, მცენარე. თბილისი, გამომცემლობა “საბჭოთა საქართველო”, 220 გვ., 1969.
75. ჩხერიძე ი. გ. სასოფლო-სამეურნეო მელიორაცია. გამომცემლობა “განათლება”, თბილისი 277 გვ. 1970წ.
76. **Безднина С. Я.** Экология мелиорации и водного хозяйства //МиВХ, – № 2. – С. 30-31. 2001.
77. **Кауричев И. С** Почвоведение. М. Колос. 495 с., 1975.
78. **WALKER, S., OGINDO, H. & HENSLEY, M.** Measurement of a transpiration efficiency coefficient for common beans using a lysimeter. Annual congress of the American Society of Agronomy, Crop Science Society of America and Soil Science Society of America, Charlotte, North Carolina. 2001.
79. **Ягодин Б. А.** Агрохимия. М.: Агропромиздат, с. 655. 1989.
80. **Домрачева Е. А.** Физико-механический и химический анализ почвы. Л. Сельхозиздат. 266 с., 1939.